

## 1. OBSAH

1. Obsah .....	1
2. Identifikačné údaje mosta .....	4
3. základné údaje o moste (podľa STN 73 6200:1975) .....	5
4. Úvod .....	6
4.1 Súčasný stav .....	8
4.2 Ostatné dotknuté objekty .....	9
4.3 Použité normy a predpisy .....	9
4.4 Technické podmienky .....	11
4.5 Použité programy .....	11
5. Použité materiály .....	11
5.1 Betón – vopred predpätý nosník – nový betón .....	11
5.2 Betón – spriahajúca doska – nový betón .....	11
5.3 Betón – podpery – pôvodný betón .....	12
5.4 Betonárska výstuž .....	12
5.5 Predpínacia výstuž .....	12
5.6 Konštrukčná oceľ .....	12
6. Statická schéma .....	13
6.1 Statická schéma mosta .....	13
7. Model nosnej konštrukcie .....	13
7.1 Prierezové charakteristiky .....	15
7.1.1 Nosná konštrukcia mosta SO 201-00 .....	15
7.1.2 Spodná stavba mosta SO 201-00 .....	15
7.2 Časová analýza .....	18
8. Výpočet zaťaženia .....	18
8.1 Stále zaťaženia .....	18
8.1.1 Vlastná tiaž .....	18
8.1.2 Ostatné stále zaťaženie - zvršok .....	18
8.1.2.1 Mokry betón (C35/45) .....	18
8.1.2.2 Mostné betónové zvodidlá H3 .....	19
8.1.2.3 Vozovka .....	19
8.1.2.4 Zábradlie na moste .....	19
8.1.2.5 Proti dotyková ochrana .....	19
8.1.2.6 Odvodnenie mosta .....	19
8.1.2.7 Inžinierske siete na moste .....	19
8.2 Zaťaženie cestnou dopravou .....	20

8.2.1	Zaťažovací model LM1 .....	20
8.2.2	Zaťažovací model LM2 .....	21
8.2.3	Zaťažovací model LM3 .....	21
8.2.4	Zaťažovací model LM4 .....	22
8.2.5	Brzdne a rozjazdové sily .....	22
8.2.6	Zaťaženie od odstredivej sily a iných priečnych zaťažení .....	23
8.2.7	Zaťažovacie skupiny od cestnej dopravy .....	23
8.2.8	Únavový zaťažovací model .....	23
8.2.8.1	Zaťažovací model – Výhradná zaťažiteľnosť .....	24
8.2.9	Mimoriadne návrhové situácie .....	24
8.3	Zaťaženie od teploty .....	24
8.3.1	Zložka rovnomernej teploty .....	25
8.3.2	Zložka lineárne sa meniaceho teplotného spádu okolo osi z-z .....	25
8.4	Zaťaženie od vetra .....	26
9.	Návrhové kritéria .....	26
9.1	Medzné stavy používateľnosti (MSP) .....	26
9.1.1	Medzné stavy používateľnosti – kontrola napätí .....	26
9.1.2	Medzné stavy používateľnosti – kontrola trhlin v betóne .....	26
9.2	Medzné stavy únosnosti (MSÚ) .....	26
10.	Kombinácie zaťažení .....	27
10.1	Kombinačné pravidlá .....	27
10.1.1	STN EN 1990 .....	27
10.1.2	STN EN 1998-2 .....	27
10.1.3	Hodnoty súčiniteľov $\psi$ .....	27
10.2	Kombinácie zaťažení pre MSP .....	28
10.3	Mimoriadne návrhové situácie .....	29
10.4	Kombinácie zaťažení pre MSU .....	29
10.5	Kombinácie .....	30
11.	Účinky jednotlivých zaťažení .....	31
11.1	Etapa – štádium koniec životnosti .....	32
12.	Medzné stavy používateľnosti .....	36
12.1	Kontrola napätí v predpínacej výstuži nosnej konštrukcie .....	36
12.1.1	Stredná hodnota napätia v predpínacích jednotkách .....	36
12.2	Kontrola tlakových napätí v betóne .....	37
12.2.1	Kontrola tlakových napätí v betóne – nosník .....	37
12.2.2	Kontrola tlakových napätí v betóne – spriahajúca doska .....	38
13.	Medzné stavy únosnosti .....	38

13.1	Štádium výstavby .....	39
13.2	Koniec životnosti .....	39
13.2.1	Ohybový moment .....	39
13.2.2	Posúvajúca sila .....	40
13.2.3	Krútenie .....	40
13.2.4	Krútenie a posúvajúca sila .....	40
14.	Stanovenie zaťažiteľnosti .....	41
14.1	Normálna zaťažiteľnosť .....	41
14.1.1	Výhradná zaťažiteľnosť .....	41
14.1.2	Výnimočná zaťažiteľnosť .....	42
14.2	Posúdenie na únavu .....	43
14.2.1	Medzipodperový prierez .....	43
15.	Posúdenie spodnej stavby .....	44
15.1	Model spodnej stavby .....	44
15.2	Statická schéma .....	44
15.3	Diagnostika spodnej stavby .....	45
15.4	Posúdenie spodnej stavby .....	46
15.4.1	Rez: A-A .....	46
15.4.2	Rez: B-B .....	47
15.4.3	Rez: C-C .....	48
15.4.4	Rez: D-D .....	49
16.	Posúdenie zakladania mosta .....	50
17.	Posúdenie odvodňujúceho žľabu .....	51
18.	Stanovenie posunov mostných ložísk .....	55
19.	Stanovenie posunov mostných záverov .....	56
20.	Nadvýšenie nosníkov .....	57
21.	Posúdenie odvodnenia mosta .....	58
22.	Posúdenie stĺpov verejného osvetlenia .....	58
23.	Prehľad zaťažiteľnosti .....	59
24.	Záver .....	59

## 2. IDENTIFIKAČNÉ ÚDAJE MOSTA

### Stavba

Objekt číslo:	201-00
Názov mosta	Most č. 5850 na ceste II/547 Hlinkova ulica
Katastrálne územie	Brody
Okres	Košice
Budúci správca	Mesto Košice
Druh stavby	Rekonštrukcia / výmena nosnej konštrukcie

### Projektant

TUNROAD Engineering, s.r.o.  
Somolického 1/B  
811 06 Bratislava – Palisády  
IČO: 46014454  
DIČ: 2023192391  
Tel. +421 2 5930 8261  
Fax. +421 2 5930 8260

**Body križenia s:** miestna komunikácia (ulica Dopravná)  
otvorený odpadný kanál  
železničná trať Kysak – Košice (číslo trate 180)  
miestna komunikácia (ulica Pri Hati)

### Miestna komunikácia (ulica Dopravná)

Staničenie na ceste II/547: km 0,824 800  
Staničenie na prekážke: -  
Uhol križenia: ~ 94,000<sup>g</sup>  
Voľná výška pod mostom: 4,8 + 0,15m

### Otvorený odpadný kanál

Staničenie na ceste II/547: km 0,844 800

### Železničná trať Kysak – Košice (číslo trate 180)

#### Koľaj 1

Staničenie na ceste II/547: km 0,905 740  
Staničenie na prekážke: žkm 100,981 80  
Uhol križenia: ~ 98,000<sup>g</sup>  
Voľná výška pod mostom: 6,2 + 0,03m

### Železničná trať Kysak – Košice (číslo trate 180)

#### Koľaj 2

Staničenie na ceste II/547: km 0,901 500  
Staničenie na prekážke: žkm 100,981 80  
Uhol križenia: ~ 98,000<sup>g</sup>  
Voľná výška pod mostom: 6,2 + 0,05m



## ŽSR - Vlečka

### Vlečka

Staničenie na ceste II/547: km 0,896 610  
 Staničenie na prekážke: vkm 0,503 00  
 Uhol kríženia: ~ 98,000°  
 Voľná výška pod mostom: 6,2 + 0,84m

### Miestna komunikácia (ulica Pri hati)

Staničenie na ceste II/547: km 0,938 800  
 Staničenie na prekážke: -  
 Uhol kríženia: ~ 100,000°  
 Voľná výška pod mostom: 4,8 + 0,15m

## 3. ZÁKLADNÉ ÚDAJE O MOSTE (PODĽA STN 73 6200:1975)

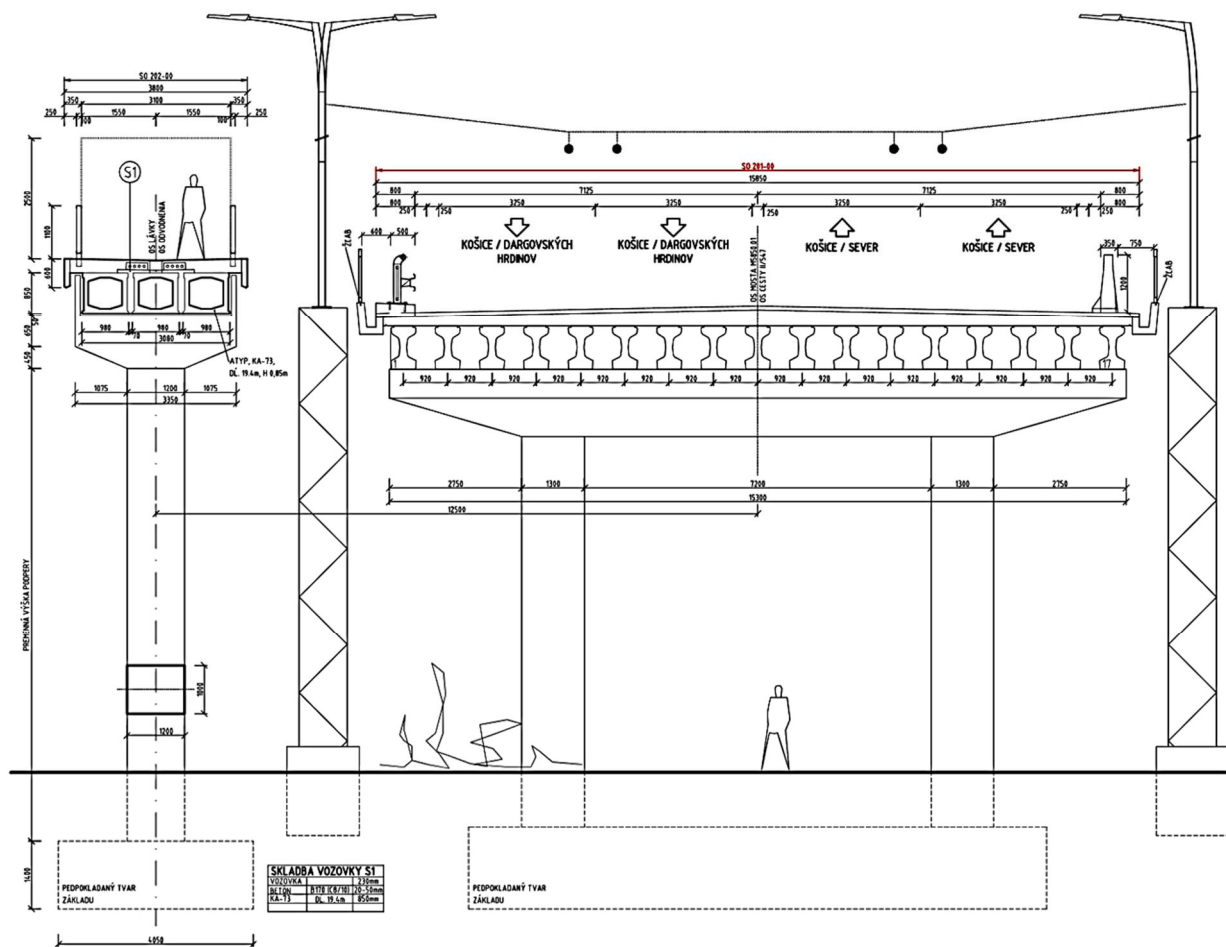
Charakteristika mosta (II. Triedenie mostov):		
	a)	na pozemnej komunikácii
	b)	-
	c)	most ponad železničnú trať a cestné komunikácie
	d)	most s ôsmimi otvormi
	e)	trvalý
	f)	výškovo v oblúku, smerovo v priamej a prechodnici
	g)	s normovou zaťažiteľnosťou
	h)	masívny
	i)	plnostenný
	j)	trámový
	k)	otvorene usporiadaný
	l)	s obmedzenou voľnou výškou (trakcia trolejbusu 5,36m)

Dĺžka premostenia (čl. 60):	153,810 m
Dĺžka nosnej konštrukcie:	155,200 m
Dĺžka mosta (čl. 65):	162,210 m
Šikmosť mosta (čl. 65):	-
Šírka vozovky medzi obrubníkmi (čl. 69):	14,250 m
Šírka chodníka služobného:	-
Šírka chodníka verejného:	-
Šírka mosta medzi zábradlami (čl. 71):	14,250 m
Výška mosta (čl. 74):	~ 10,65 m
Stavebná výška (čl. 75):	1,425 m
Plocha mosta (dĺžka premostenia x šírka mosta):	153,810 x 15,850 = 2437,89 m <sup>2</sup>
Zaťaženie mosta:	podľa STN EN 1990, STN EN 1991 (kategorizačné zatriedenie - cesty II. triedy)
Zaťaženie mosta dopravou:	ZM1, ZM2, ZM3, ZM4

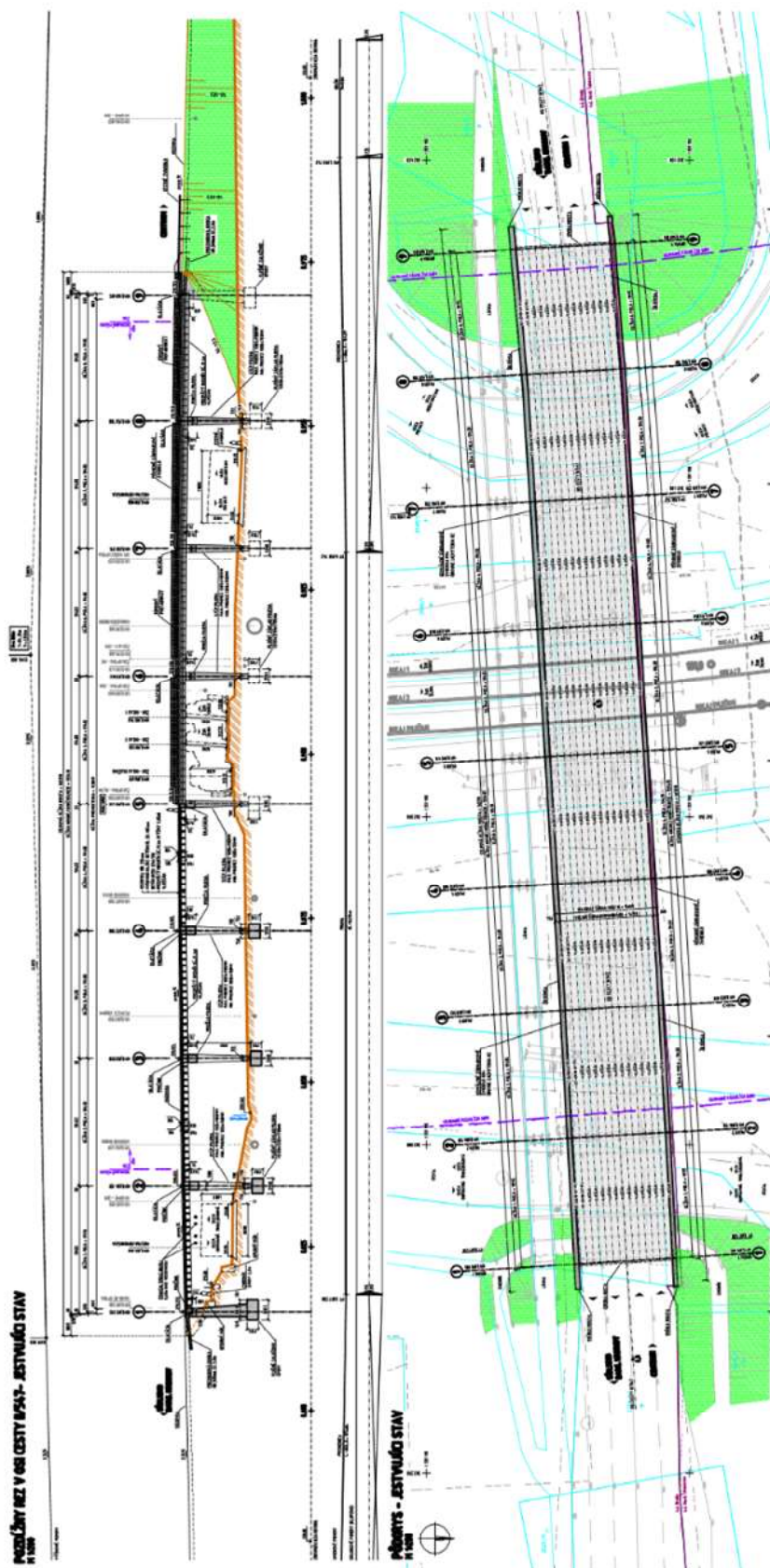
## 4. ÚVOD

Mostný objekt M5850.01 zabezpečuje premostenie cesty II/547 ponad miestnu komunikáciu (ulica Dopravná), otvorený odpadný kanál, železničnú trať 180 Kysak – Košice a miestnu komunikáciu (ulica Pri hati). V mieste mosta je trasa cesty II/547 vedená smerovo v priamej a v posledných dvoch poliach v prechodnici. Výškovno je vedená vo výškovom oblúku  $R = 4000\text{m}$ .

Komunikácia vedená na moste je štvorpruhová obojsmerná cesta s voľnou šírkou 14,25m. Pričný sklon na moste je strechovitý 2,5%. Na časti mosta dochádza ku klopeniu vozovky.



Obr. 1 Pričný rez – novo navrhovaný stav



Obr. 2 Pozdĺžny rez / pohľad a pôdorys



#### 4.1 Súčasný stav



Obr. 3 Súčasný stav mosta pred rekonštrukciou

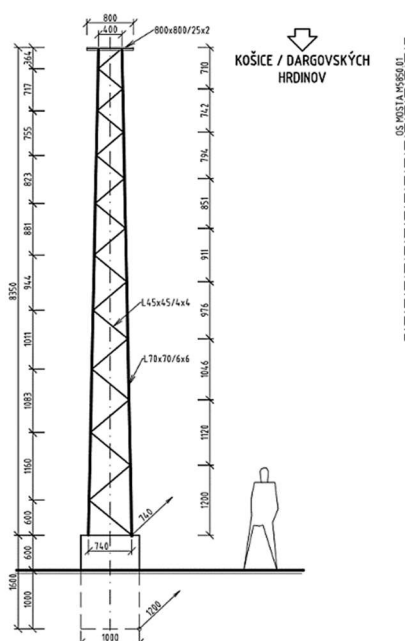
## 4.2 Ostatné dotknuté objekty

Súčasťou rekonštrukcie mosta SO 201-00 sú aj podpory verejného osvetlenia. Podpory sú tvorené priestorovou, oceľovou priehradovou konštrukciou. Podpory sa nachádzajú na vonkajších stranách mosta SO 201-00 a okrem zaťaženia stĺpom osvetlenia prenášajú aj zaťaženie trolejovým vedením.

**Technickým stavom ako aj rozmerovo sú dané objekty nevyhovujúce a budú počas rekonštrukcie mosta odstránené!**

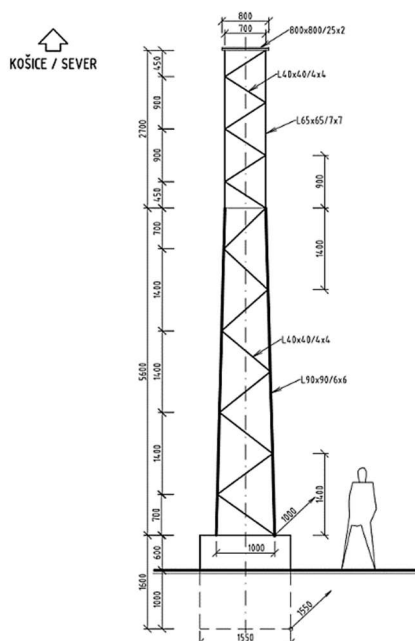
STĹPY "KOŠICE"

MIERKA, M= 1:50



STĹPY "PREŠOV"

MIERKA, M= 1:50



## 4.3 Použité normy a predpisy

Konštrukcia sa navrhla na zaťažovacie modely LM1a LM2 pre cestné mosty. Výpočet sa vypracoval v súlade s normami:

STN 73 1001	Geotechnické konštrukcie. Zakladanie stavieb	1.4.2010
STN 73 1002	Pilotové základy	26.10.1987
STN 73 1002/Z1		1.7.2003
STN 73 0037	Zemný tlak na stavebné konštrukcie	16.11.1990
STN 73 3050	Zemné práce. Všeobecné ustanovenia	11.8.1986
STN 73 3050/a		1.5.1991
STN 73 3050/Z2		1.12.1999
STN 73 6200	Mostné názvoslovie	15.1.1975
STN 73 6200/a		1.5.1977
STN 73 6200/b		1.4.1983
STN 73 6201	Projektovanie mostných objektov	1.9.1999
STN 73 6201/O1		1.11.1999
STN 73 6201/Z1		1.10.2001
STN 73 6209	Zaťažovacie skúšky mostov	12.4.1979
STN 73 6209/a		1.6.1990
STN EN 206-1	Betón. Časť 1: Špecifikácia, vlastnosti, výroba a zhoda	1.4.2002
STN EN 206-1/A1		1.12.2004
STN EN 206-1/A2		1.10.2005
STN EN 206-1/NA		1.6.2009
STN EN 206-1/NA/O1		1.10.2011

STN EN 1990		1.8.2009
STN EN 1990/A1		1.9.2006
STN EN 1990/A1/AC2	Eurokód. Zásady navrhovania konštrukcií	1.11.2010
STN EN 1990/A1/NA		1.2.2007
STN EN 1990/A1/O1		1.3.2011
STN EN 1990/A1/NA1		1.8.2009
STN EN 1991-1-1	Eurokód 1. Zaťaženia konštrukcií. Časť 1-1: Všeobecné zaťaženia. Objemová tiaž, vlastná tiaž a úžitkové zaťaženia budov	1.5.2007
STN EN 1991-1-1/AC		1.6.2009
STN EN 1991-1-1/NA		1.12.2004
STN EN 1991-1-1/NA/1		1.4.2010
STN EN 1991-1-4	Eurokód 1. Zaťaženia konštrukcií. Časť 1-4: Všeobecné zaťaženia. Zaťaženie vetrom	1.4.2007
STN EN 1991-1-4/A1		1.7.2010
STN EN 1991-1-4/AC		1.1.2010
STN EN 1991-1-4/AC2		1.5.2010
STN EN 1991-1-4/NA		1.7.2008
STN EN 1991-1-4/NA/1		1.4.2010
STN EN 1991-1-5	Eurokód 1. Zaťaženia konštrukcií. Časť 1-5: Všeobecné zaťaženia. Zaťaženia účinkami teploty	1.3.2008
STN EN 1991-1-5/AC		1.6.2009
STN EN 1991-1-5/NA		1.10.2008
STN EN 1991-1-6	Eurokód 1. Zaťaženia konštrukcií. Časť 1-6: Všeobecné zaťaženia. Zaťaženia počas výstavby	1.3.2008
STN EN 1991-1-6/AC		1.12.2008
STN EN 1991-1-6/NA		1.10.2008
STN EN 1991-1-6/NA/1		1.4.2010
STN EN 1991-1-7	Eurokód 1. Zaťaženia konštrukcií. Časť 1-7: Všeobecné zaťaženia. Mimoriadne zaťaženia	1.10.2008
STN EN 1991-1-7/AC		1.5.2010
STN EN 1991-1-7/NA		1.10.2008
STN EN 1991-1-7/O1		1.10.2010
STN EN 1991-2	Eurokód 1. Zaťaženia konštrukcií. Časť 2: Zaťaženia mostov dopravou	1.5.2006
STN EN 1991-2/AC		1.5.2010
STN EN 1991-2/NA		1.12.2007
STN EN 1991-2/NA/O1		1.3.2011
STN EN 1992-1-1	Eurokód 2. Navrhovanie betónových konštrukcií. Časť 1-1: Všeobecné pravidlá a pravidlá pre budovy	1.7.2006
STN EN 1992-1-1/AC		1.6.2008
STN EN 1992-1-1/AC2		1.2.2011
STN EN 1992-1-1/NA		1.4.2007
STN EN 1992-2	Eurokód 2. Navrhovanie betónových konštrukcií. Časť 2: Betónové mosty. Navrhovanie a konštruovanie	1.5.2007
STN EN 1992-2/AC		1.12.2008
STN EN 1992-2/NA		1.7.2008
STN EN 1997-1	Eurokód 7. Navrhovanie geotechnických konštrukcií. Časť 1: Všeobecné pravidlá	1.10.2005
STN EN 1997-1/AC		1.9.2009
STN EN 1997-1/NA		1.4.2010
STN EN 1997-2	Eurokód 7. Navrhovanie geotechnických konštrukcií. Časť 2: Prieskum a skúšanie horninového prostredia	1.6.2008
STN EN 1997-2/AC		1.12.2010
STN EN 1997-2/NA		1.4.2010
STN EN 1536	Vykonávanie špeciálnych geotechnických prác. Vŕtané pilóty	1.4.2011
STN EN 14199	Vykonávanie špeciálnych geotechnických prác. Mikropilóty	1.9.2005
STN EN 14490	Vykonávanie špeciálnych geotechnických prác. Klincovanie zemín	1.12.2010
STN EN 1998-1	Eurokód 8. Navrhovanie konštrukcií na seizmickú odolnosť. Časť 1: Všeobecné pravidlá, seizmické zaťaženia a pravidlá pre budovy	1.12.2005
STN EN 1998-1/AC		1.11.2009
STN EN 1998-1/NA		1.4.2009
STN EN 1998-1/NA/1		1.4.2010
STN EN 1998-1/O1		1.8.2006
STN EN 1998-1/NA/2		1.3.2012
STN EN 1998-1/NA/3		1.10.2012
STN EN 1998-2	Navrhovanie konštrukcií na seizmickú odolnosť. Časť 2: Mosty	1.5.2008
STN EN 1998-2/A1		1.8.2009
STN EN 1998-2/AC		1.5.2010
STN EN 1998-2/NA		1.4.2009
STN EN 1998-2/A2		1.6.2012



#### 4.4 Technické podmienky

- Vzorové listy stavieb pozemných komunikácií, VL 4 – Mosty
- Ostatné súvisiace STN EN a Technicko-kvalitatívne podmienky.

#### 4.5 Použité programy

Na vypracovanie statického výpočtu a grafickej časti sa použili nasledujúce programy:

- Midas Civil
- FIN EC 2018
- AutoCAD Civil 2013 a staršie verzie programu AutoCAD
- balík programov Microsoft Office

V statickom výpočte sú pre svoju obsahlosť uvedené iba základné vstupy výsledky z výpočtových programov. Všetky podklady, podrobné vstupy a výsledky sú archivované u spracovateľa projektovej dokumentácie.

### 5. POUŽITÉ MATERIÁLY

#### 5.1 Betón – vopred predpätý nosník – nový betón

Nosná konštrukcia, betón C45/55		
Charakteristická valcová pevnosť betónu v tlaku vo veku 28 dní	$f_{ck}$ [ MPa ]	45,0
Charakteristická kocková pevnosť betónu v tlaku vo veku 28 dní	$f_{ck, cube}$ [ MPa ]	55,0
Stredná hodnota valcovej pevnosti betónu v tlaku	$f_{cm}$ [ MPa ]	53,0
Stredná hodnota pevnosti betónu v centrickom ťahu	$f_{ctm}$ [ MPa ]	3,8
Charakteristická pevnosť betónu v centrickom ťahu, 5 %-ný fraktíl	$f_{ctk, 0,05}$ [ MPa ]	2,7
Charakteristická pevnosť betónu v centrickom ťahu, 95 %-ný fraktíl	$f_{ctk, 0,95}$ [ MPa ]	4,9
Sečnicový modul pružnosti betónu	$E_{cm}$ [ GPa ]	36,0

Hodnota návrhovej pevnosti betónu C45/45 v tlaku:

$$f_{cd} = \alpha_{cc} \cdot f_{ck} / \gamma_{cc} = 0,85 \cdot 35 / 1,5 = 25,5 \text{ MPa.}$$

#### 5.2 Betón – spriahajúca doska – nový betón

Nosná konštrukcia, betón C35/45		
Charakteristická valcová pevnosť betónu v tlaku vo veku 28 dní	$f_{ck}$ [ MPa ]	35,0
Charakteristická kocková pevnosť betónu v tlaku vo veku 28 dní	$f_{ck, cube}$ [ MPa ]	45,0
Stredná hodnota valcovej pevnosti betónu v tlaku	$f_{cm}$ [ MPa ]	43,0
Stredná hodnota pevnosti betónu v centrickom ťahu	$f_{ctm}$ [ MPa ]	3,2
Charakteristická pevnosť betónu v centrickom ťahu, 5 %-ný fraktíl	$f_{ctk, 0,05}$ [ MPa ]	2,2
Charakteristická pevnosť betónu v centrickom ťahu, 95 %-ný fraktíl	$f_{ctk, 0,95}$ [ MPa ]	4,2
Sečnicový modul pružnosti betónu	$E_{cm}$ [ GPa ]	34,0

Hodnota návrhovej pevnosti betónu C35/45 v tlaku:

$$f_{cd} = \alpha_{cc} \cdot f_{ck} / \gamma_{cc} = 0,85 \cdot 35 / 1,5 = 19,83 \text{ MPa.}$$

### 5.3 Betón – podpery – pôvodný betón

Podpery, betón C30/37		
Charakteristická valcová pevnosť betónu v tlaku vo veku 28 dní	$f_{ck}$ [ MPa ]	30,0
Charakteristická kocková pevnosť betónu v tlaku vo veku 28 dní	$f_{ck, cube}$ [ MPa ]	37,0
Stredná hodnota valcovej pevnosti betónu v tlaku	$f_{cm}$ [ MPa ]	37,0
Stredná hodnota pevnosti betónu v centrickom ťahu	$f_{ctm}$ [ MPa ]	2,9
Charakteristická pevnosť betónu v centrickom ťahu, 5 %-ný fraktil	$f_{ctk, 0,05}$ [ MPa ]	2,0
Charakteristická pevnosť betónu v centrickom ťahu, 95 %-ný fraktil	$f_{ctk, 0,95}$ [ MPa ]	3,8
Sečnicový modul pružnosti betónu	$E_{cm}$ [ GPa ]	33,0

Hodnota návrhovej pevnosti betónu C30/37 v tlaku:

$$f_{cd} = \alpha_{cc} \cdot f_{ck} / \gamma_{cc} = 0,85 \cdot 30 / 1,5 = 17,0 \text{ MPa.}$$

### 5.4 Betonárska výstuž

Betonárska výstuž B500B		
Charakteristická pevnosť betonárskej výstuže v ťahu	$f_{tk}$ [ MPa ]	550
Charakteristická medza klzu betonárskej výstuže	$f_{yk}$ [ MPa ]	500
Návrhová medza klzu betonárskej výstuže	$f_{yd}$ [ MPa ]	434
Modul pružnosti betonárskej výstuže	$E_s$ [ GPa ]	200

Návrhová medza klzu betonárskej výstuže B500B:

$$f_{yd} = f_{yk} / \gamma_s = 500 / 1,15 = 434 \text{ MPa.}$$

Betonárska výstuž 10 400		
Charakteristická pevnosť betonárskej výstuže v ťahu	$f_{tk}$ [ MPa ]	550
Charakteristická medza klzu betonárskej výstuže	$f_{yk}$ [ MPa ]	400
Návrhová medza klzu betonárskej výstuže	$f_{yd}$ [ MPa ]	348
Modul pružnosti betonárskej výstuže	$E_s$ [ GPa ]	200

Návrhová medza klzu betonárskej výstuže B500B:

$$f_{yd} = f_{yk} / \gamma_s = 400 / 1,15 = 348 \text{ MPa.}$$

### 5.5 Predpínacia výstuž

Vopred predpínané káble, monostrand Ø Ls 15,7/1860		
Charakteristická pevnosť predpínacej ocele v ťahu	$f_{pk}$ [ MPa ]	1860
Charakteristická dohodnutá medza 0,1 % predpínacej ocele	$f_{p0,1k}$ [ MPa ]	1640
Návrhová hodnota napätia v predpínacej oceli	$f_{pd}$ [ MPa ]	1420
Nominálny priemer	$\varnothing$ [ mm ]	15,7
Nominálny prierez	$A_p$ [ mm <sup>2</sup> ]	150
Nominálna hmotnosť	$m$ [ kg/m ]	1,18
Modul pružnosti predpínacej ocele	$E_p$ [ GPa ]	195

### 5.6 Konštrukčná oceľ

Konštrukčná oceľ, S235		
Nominálna hodnota medze klzu ( $t \leq 40$ mm)	$f_y$ [ MPa ]	235
Nominálna hodnota pevnosti v ťahu ( $t \leq 40$ mm)	$f_u$ [ MPa ]	360
Modul pružnosti	$E$ [ GPa ]	210
Poissonov pomer v pružnom stave	$\nu$ [ MPa ]	0,3
Modul pružnosti v šmyku	$G$ [ GPa ]	80,77
Parciálny súčiniteľ spoľahlivosti	$\gamma_{M0}$	1,00



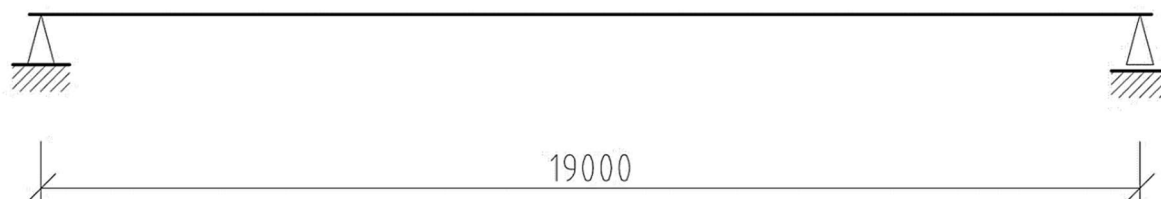
## 6. STATICKÁ SCHÉMA

### 6.1 Statická schéma mosta

Statická schéma mosta je tvorená ôsmimi prostými poľami rovnakej dĺžky 19m.

#### STATICKÁ SCHÉMA

PROSTÉ POLE



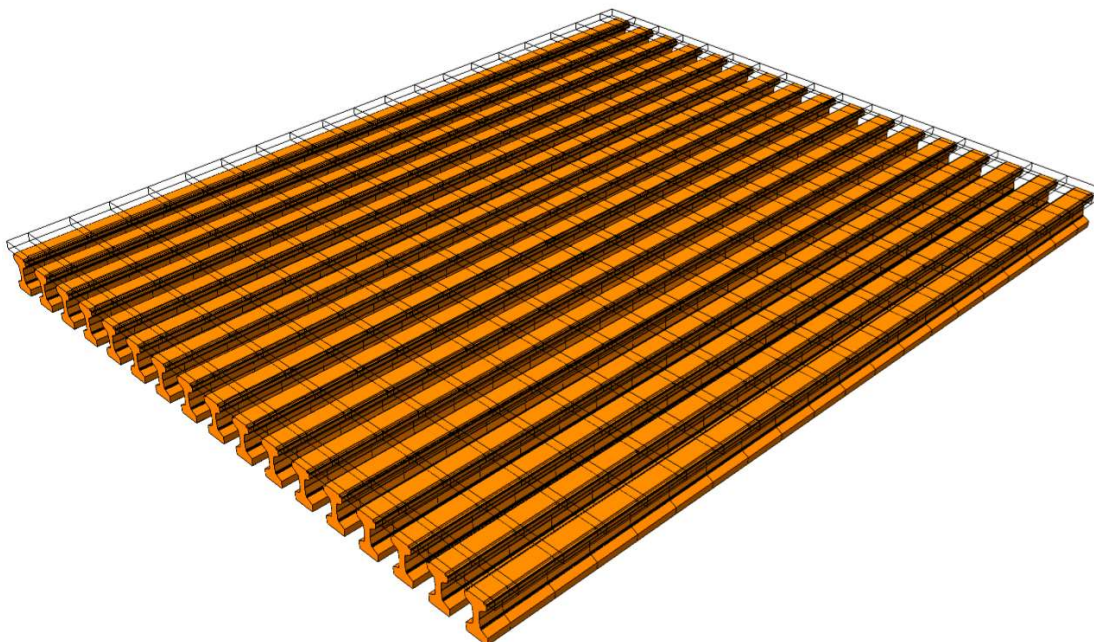
Obr. 4 Statická schéma jedného poľa



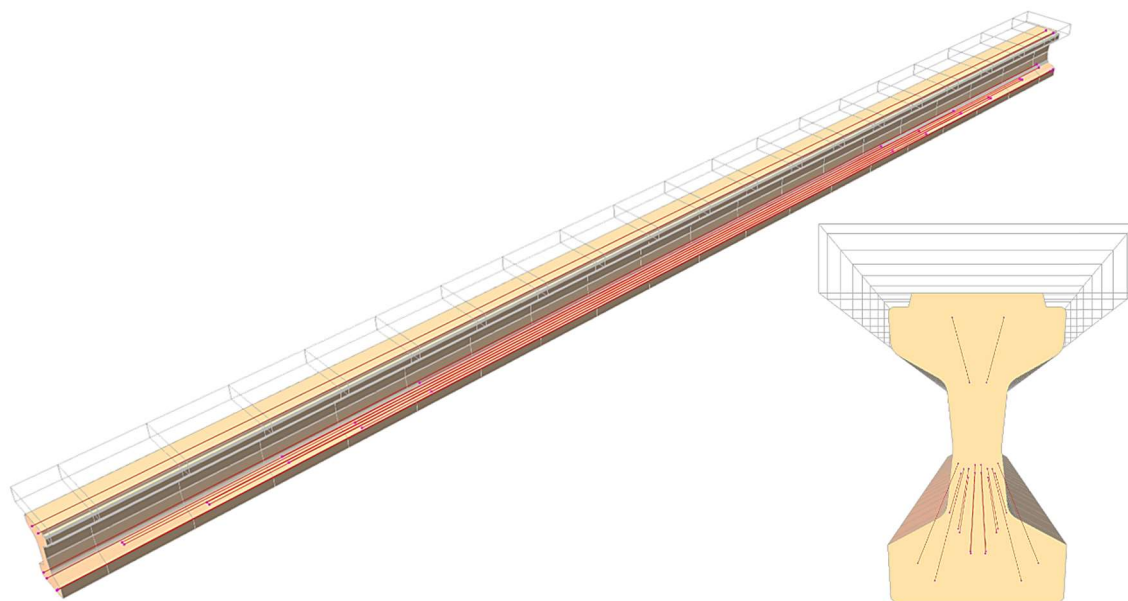
Obr. 5 Statická schéma celého mosta SO 201-00

## 7. MODEL NOSNEJ KONŠTRUKCIE

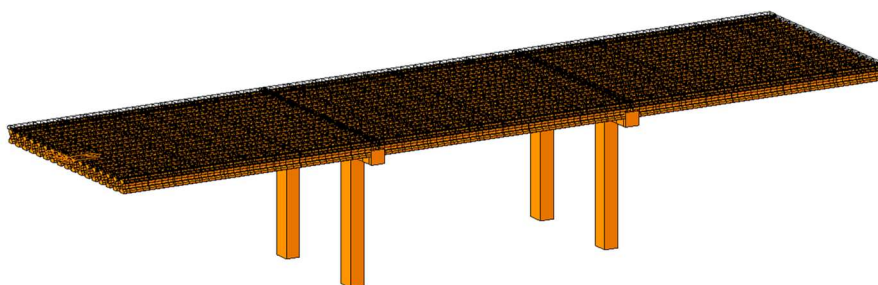
Model nosnej konštrukcie bol vytvorený v programe Midas Civil.



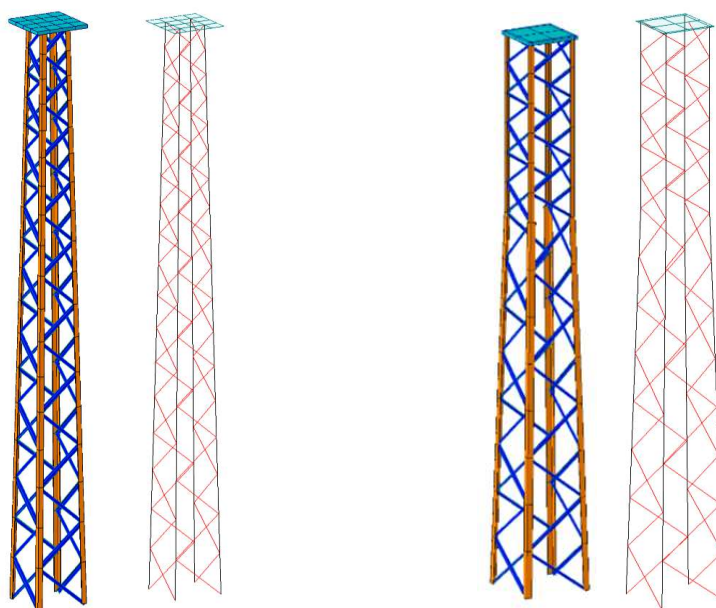
Obr. 6 Model jedného prostého poľa SO 201-00



Obr. 7 Uvažované vedenie lán vo vopred predpätých nosníkoch



Obr. 8 Model SO 201-00 pre stanovenie účinkov na spodnú stavbu mosta

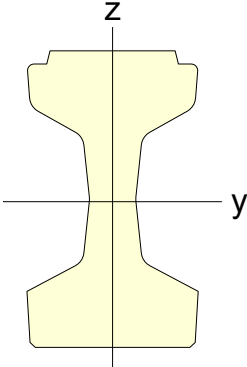
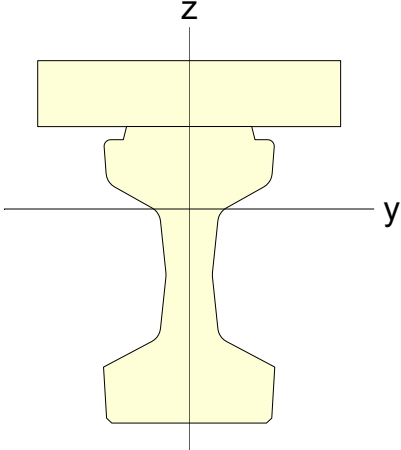


Obr. 9 Model oceľových stožiarov pod osvetlením

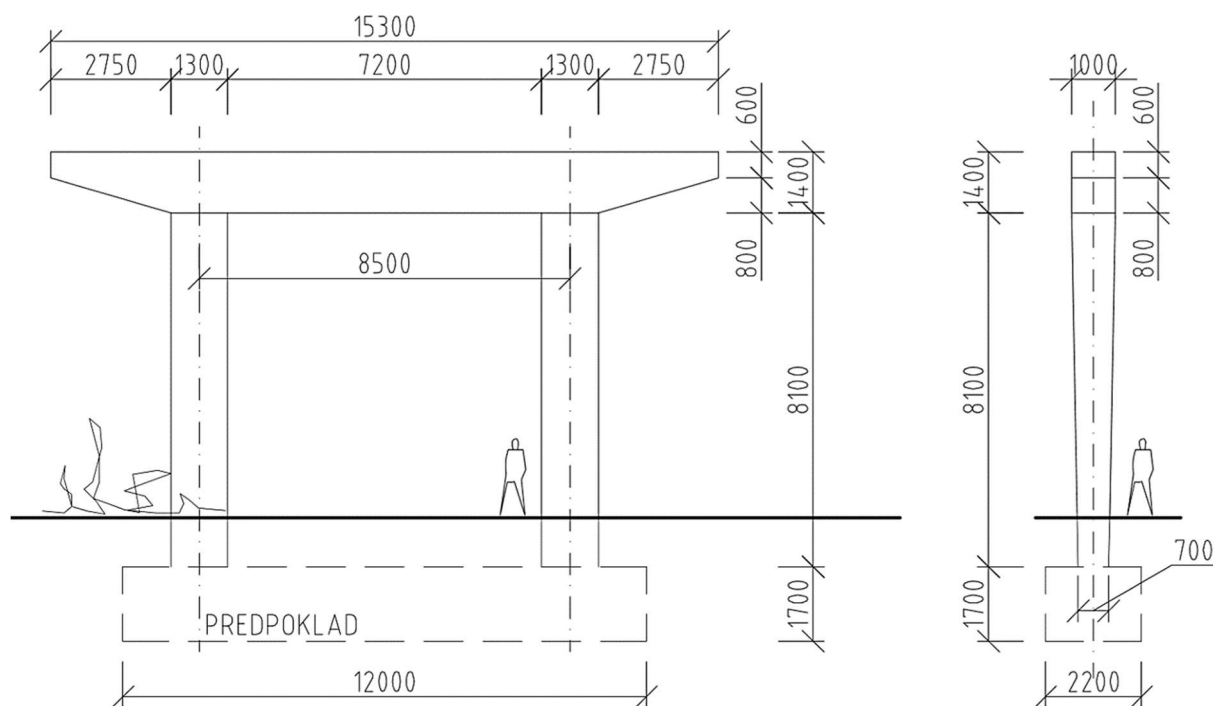
## 7.1 Prierezové charakteristiky

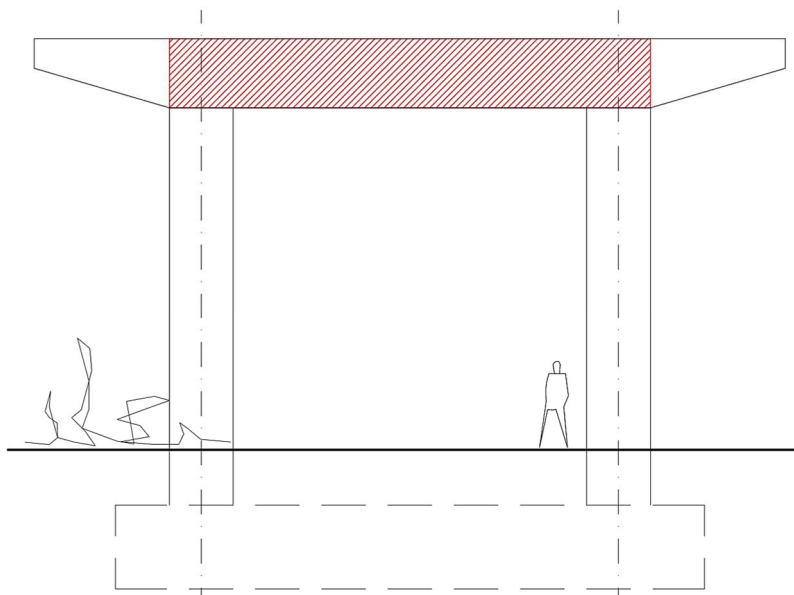
### 7.1.1 Nosná konštrukcia mosta SO 201-00

Tabuľka 1 Prierezové charakteristiky SO 201-00

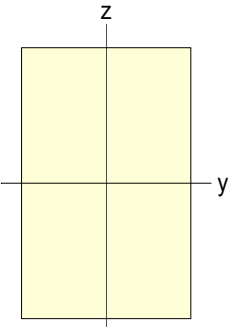
Before Composite					After Composite				
									
A(m <sup>2</sup> )	Asy(m <sup>2</sup> )	Asz(m <sup>2</sup> )	z(+)(m)	z(-)(m)	A(m <sup>2</sup> )	Asy(m <sup>2</sup> )	Asz(m <sup>2</sup> )	z(+)(m)	z(-)(m)
0.291	0.324	0.290	0.458	0.442	0.464	0.320	0.288	0.250	0.650
Ixx(m <sup>4</sup> )	Iyy(m <sup>4</sup> )	Izz(m <sup>4</sup> )	y(+)(m)	y(-)(m)	Ixx(m <sup>4</sup> )	Iyy(m <sup>4</sup> )	Izz(m <sup>4</sup> )	y(+)(m)	y(-)(m)
0.005	0.027	0.004	0.260	0.260	0.006	0.061	0.017	0.260	0.260
-	-	-	-	-	Es/Ec	Gs/Gc	Ds/Dc	Ps	Pc
-	-	-	-	-	1.065	1.065	1.000	0.200	0.200

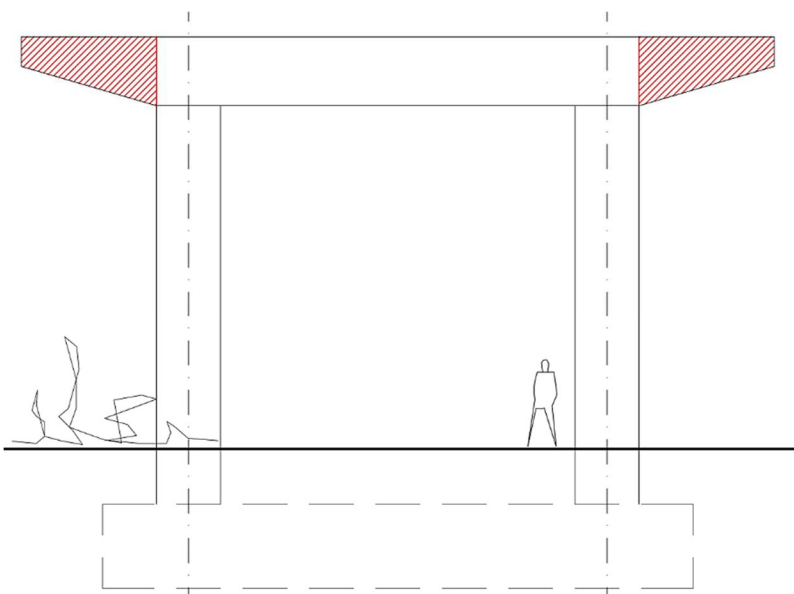
### 7.1.2 Spodná stavba mosta SO 201-00



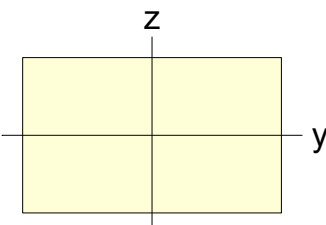
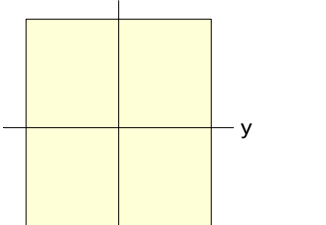


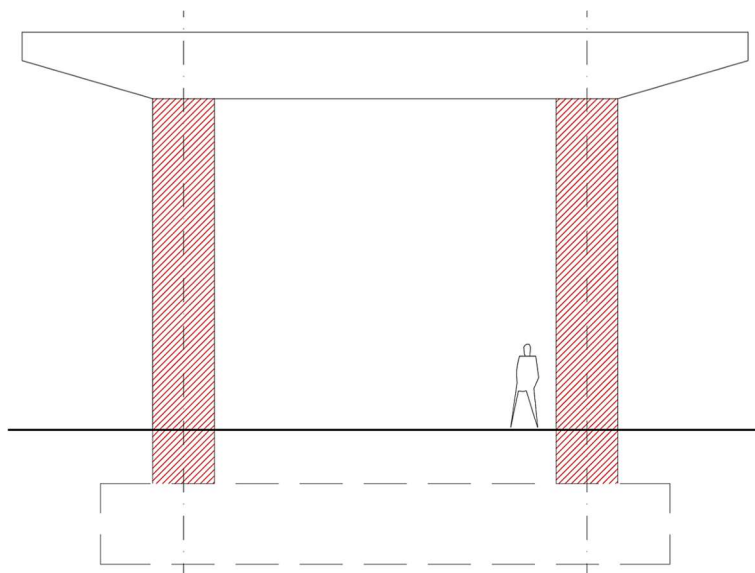
Tabuľka 2 1,4x1,0

				
$A(m^2)$	$Asy(m^2)$	$Asz(m^2)$	$z(+)(m)$	$z(-)(m)$
1.400	1.167	1.167	0.700	0.700
$I_{xx}(m^4)$	$I_{yy}(m^4)$	$I_{zz}(m^4)$	$y(+)(m)$	$y(-)(m)$
0.261	0.229	0.117	0.500	0.500

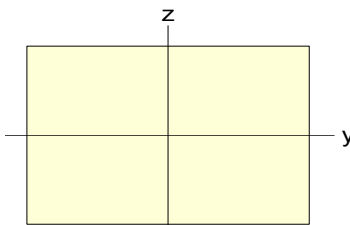
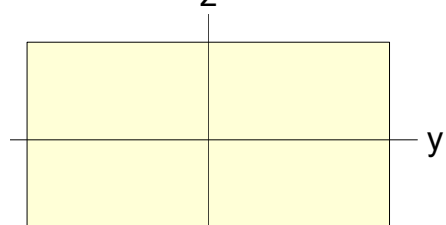


**Tabuľka 3 0,6 to 1,4 x 1,0**

I-End					J-End				
									
A(m <sup>2</sup> )	Asy(m <sup>2</sup> )	Asz(m <sup>2</sup> )	z(+)(m)	z(-)(m)	A(m <sup>2</sup> )	Asy(m <sup>2</sup> )	Asz(m <sup>2</sup> )	z(+)(m)	z(-)(m)
0.600	0.500	0.500	0.300	0.300	1.400	1.167	1.167	0.700	0.700
Ixx(m <sup>4</sup> )	Iyy(m <sup>4</sup> )	Izz(m <sup>4</sup> )	y(+)(m)	y(-)(m)	Ixx(m <sup>4</sup> )	Iyy(m <sup>4</sup> )	Izz(m <sup>4</sup> )	y(+)(m)	y(-)(m)
0.045	0.018	0.050	0.500	0.500	0.261	0.229	0.117	0.500	0.500



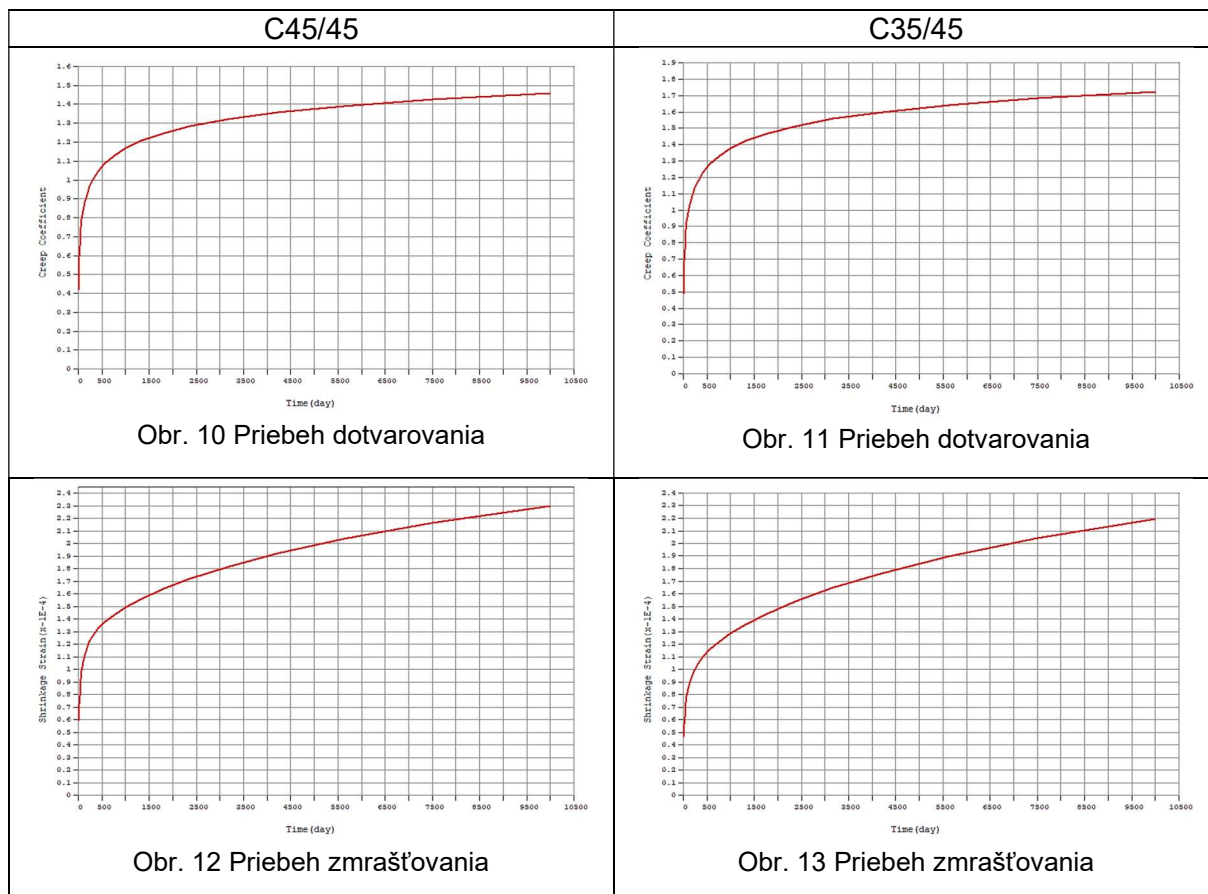
**Tabuľka 4 Pilier 0,7to1,0x1,0**

I-End					J-End				
									
A(m <sup>2</sup> )	Asy(m <sup>2</sup> )	Asz(m <sup>2</sup> )	z(+)(m)	z(-)(m)	A(m <sup>2</sup> )	Asy(m <sup>2</sup> )	Asz(m <sup>2</sup> )	z(+)(m)	z(-)(m)
1.300	1.083	1.083	0.500	0.500	0.910	0.758	0.758	0.350	0.350
Ixx(m <sup>4</sup> )	Iyy(m <sup>4</sup> )	Izz(m <sup>4</sup> )	y(+)(m)	y(-)(m)	Ixx(m <sup>4</sup> )	Iyy(m <sup>4</sup> )	Izz(m <sup>4</sup> )	y(+)(m)	y(-)(m)
0.229	0.108	0.183	0.650	0.650	0.099	0.037	0.128	0.650	0.650

## 7.2 Časová analýza

Účinky dotvarovania a zmrašťovania betónu sa modelovali priamo v programe Midas Civil.

- Vek zaťaženia betónu sa uvažovalo 21 dní.
- Ošetrovanie betónu sa uvažovalo 7 dní.



## 8. VÝPOČET ZAŤAŽENIA

### 8.1 Stále zaťaženia

#### 8.1.1 Vlastná tiaž

Účinky vlastnej tiaže sa automaticky generovali softvérom Midas Civil na základe zadanej geometrie prierezov a zadanej objemovej tiaže použitého betónu C45/55 a C35/45.

$$\gamma_{CON} = 25,0 \text{ kN} \cdot \text{m}^{-3}$$

#### 8.1.2 Ostatné stále zaťaženie - zvršok

Ostatné stále zaťaženie z celej šírky sa uvažovalo po dĺžke mostnej konštrukcie

##### 8.1.2.1 Mokrý betón (C35/45)

$$g_{11m} = \gamma_{wet,con} \cdot h_{wet,con} = 26,0 \text{ kN} \cdot \text{m}^{-3} \cdot 0,20 \text{ m} = 5,20 \text{ kN} \cdot \text{m}^{-2}$$

$$g_{11m} = g_{11,inf} = g_{11,sup}$$

### 8.1.2.2 Mostné betónové zvodidlá H3

$$g_{12m} = \gamma_{rim} \cdot A_{rim,nom} = 25,0kN \cdot m^{-3} \cdot 0,51m^2 = 12,75kN \cdot m^{-1}$$

$$g_{12m} = g_{12,inf} = g_{12,sup}$$

### 8.1.2.3 Vozovka

$$h_{voz} = 0,090m$$

$$\gamma_{voz} = 25,0kN \cdot m^{-3}$$

$$g_{13m} = \gamma_{voz} \cdot h_{voz} = 25,0kN \cdot m^{-3} \cdot 0,09m = 2,25kN \cdot m^{-2}$$

$$g_{13,inf} = 0,8 \cdot \gamma_{voz} \cdot h_{voz} \cdot b_{voz} = 0,8 \cdot 25,0kN \cdot m^{-3} \cdot 0,09m = 1,8kN \cdot m^{-2}$$

$$g_{13,sup} = 1,4 \cdot \gamma_{voz} \cdot h_{voz} \cdot b_{voz} = 1,4 \cdot 25,0kN \cdot m^{-3} \cdot 0,09m = 3,15kN \cdot m^{-2}$$

### 8.1.2.4 Zábradlie na moste

$$g_{zvod,nom} = 0,35kN \cdot m^{-1}$$

$$g_{14m} = \sum g_{zvod,nom} = 0,35kN \cdot m^{-1} + 0,35kN \cdot m^{-1}$$

$$g_{14m} = g_{14,inf} = g_{14,sup}$$

### 8.1.2.5 Proti dotyková ochrana

Umiestnená na dĺžke 10m v poli.

$$g_{IS,nom} = 0,35kN \cdot m^{-1}$$

$$g_{15m} = 0,35kN \cdot m^{-1}$$

$$g_{15m} = g_{15,inf} = g_{15,sup}$$

### 8.1.2.6 Odvodnenie mosta

$$g_{IS,nom} = 0,78kN \cdot m^{-1}$$

$$g_{16m} = 0,78kN \cdot m^{-1}$$

$$g_{16m} = g_{16,inf} = g_{16,sup}$$

### 8.1.2.7 Inžinierske siete na moste

$$g_{IS,nom} = 0,5kN \cdot m^{-1}$$

$$g_{17m} = 0,50kN \cdot m^{-1}$$

$$g_{17m} = g_{17,inf} = g_{17,sup}$$

Tiaž ostatného stálego zaťaženia a zvršku celkom:

$$g_{1m} = g_{11} + g_{12m} + g_{13m} + g_{14} + g_{15m} + g_{16m} + g_{17m}$$



$$g_{1,inf} = g_{11,inf} + g_{12,inf} + g_{13,inf} + g_{14,inf} + g_{15,inf} + g_{16,inf} + g_{17,inf}$$

$$g_{1,sup} = g_{11,sup} + g_{12,sup} + g_{13,sup} + g_{14,sup} + g_{15,sup} + g_{16,sup} + g_{17,sup}$$

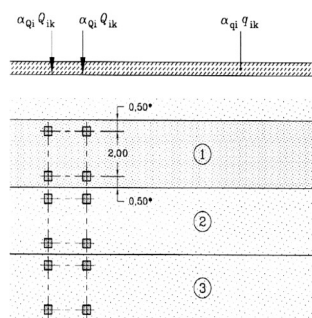
## 8.2 Zaťaženie cestnou dopravou

Zaťaženie mosta cestnou dopravou sa zohľadnilo podľa STN EN 1991-2 Eurokód 1, Zaťaženia konštrukcií, Časť 2 Zaťaženie mostov dopravou. Zo zaťaženia sa analyzoval vplyv zaťažovacích modelov LM1, LM2, LM3 a LM4 reprezentujúci dav ľudí na moste.

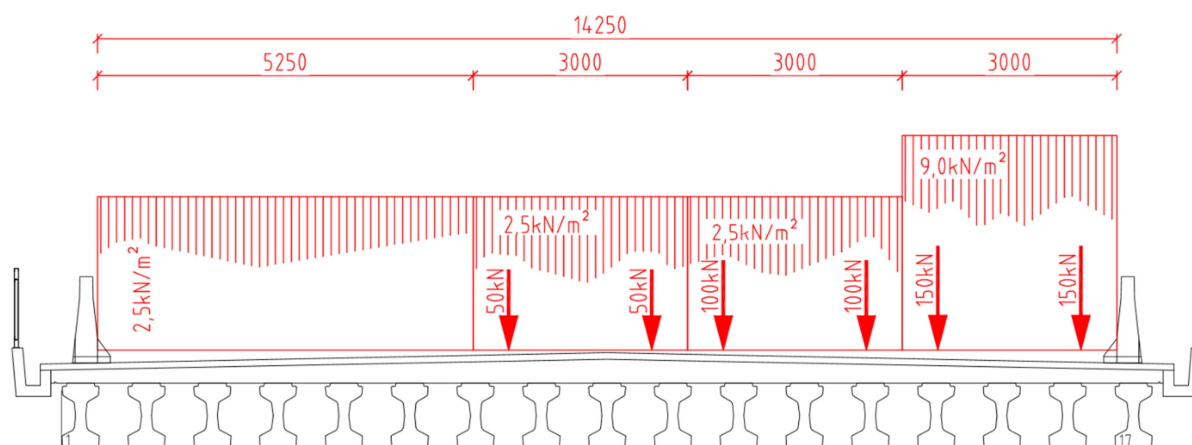
### 8.2.1 Zaťažovací model LM1

Zaťažovací model LM1 tvoria 2 čiastkové systémy:

- sústredené zaťaženie od dvojnápravového vozidla, tandemový systém (TS) s tiažou každej nápravy  $\alpha_{Qi} \cdot Q_{ik}$ , kde  $\alpha_{Qi}$  je kategorizačný súčiniteľ zaťaženia
- rovnomerné spojité zaťaženie (RSZ) s intenzitou tiaže  $\alpha_{qi} \cdot q_{ik}$  ( $\alpha_{qr} \cdot q_{rk}$ ) na jednotku plochy, kde  $\alpha_{qi}$  ( $\alpha_{qr}$ ) je kategorizačný súčiniteľ zaťaženia.



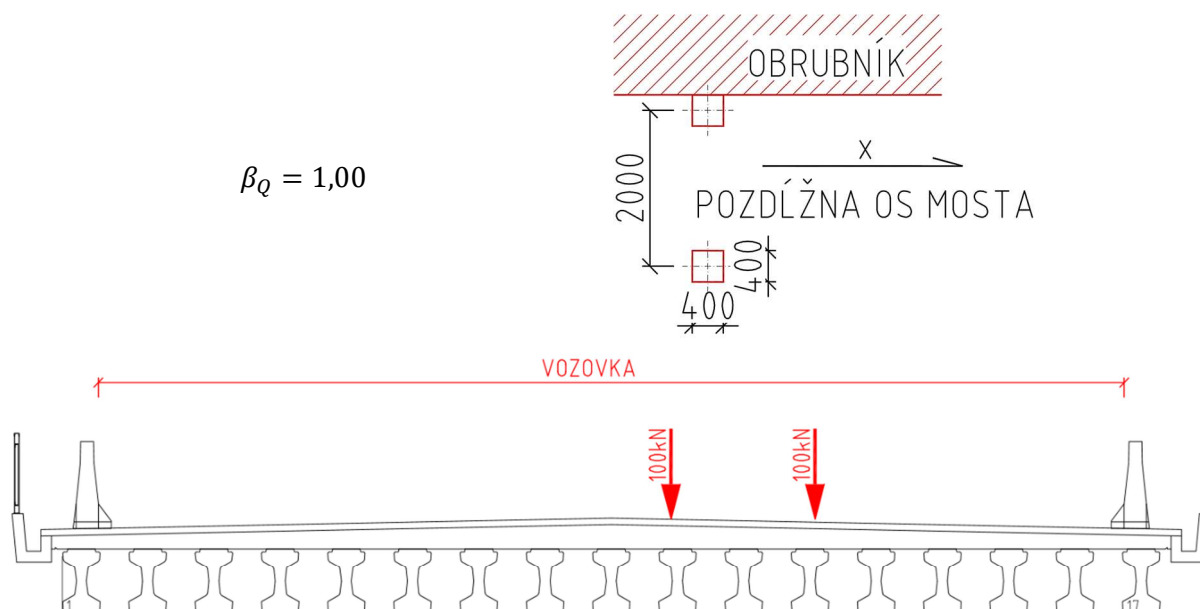
Poloha a šírka pruhu	Dvojnáprava (TS)			Rovnomerné zaťaženie (RSZ)		
	$\alpha_{Qi}$ [-]	$Q_{ik}$ [kN]	$\alpha_{Qi} \cdot Q_{ik}$ [kN]	$\alpha_{qi} (\alpha_{qr})$ [-]	$q_{ik} (q_{rk})$ [kNm <sup>-2</sup> ]	$\alpha_{qi} \cdot q_{ik} (\alpha_{qr} \cdot q_{rk})$ [kNm <sup>-2</sup> ]
Pruh č. 1, w1=3,0 m	1,0	300,0	300,0	1,0	9,0	9,0
Pruh č. 2, w2=3,0 m	1,0	200,0	200,0	1,0	2,5	2,5
Pruh č. 3, w3=0,0 m	1,0	100,0	100,0	1,0	2,5	2,5
Zvyšná zať. plocha, w=5,25 m	-	-	-	1,0	2,5	2,5





### 8.2.2 Zaťažovací model LM2

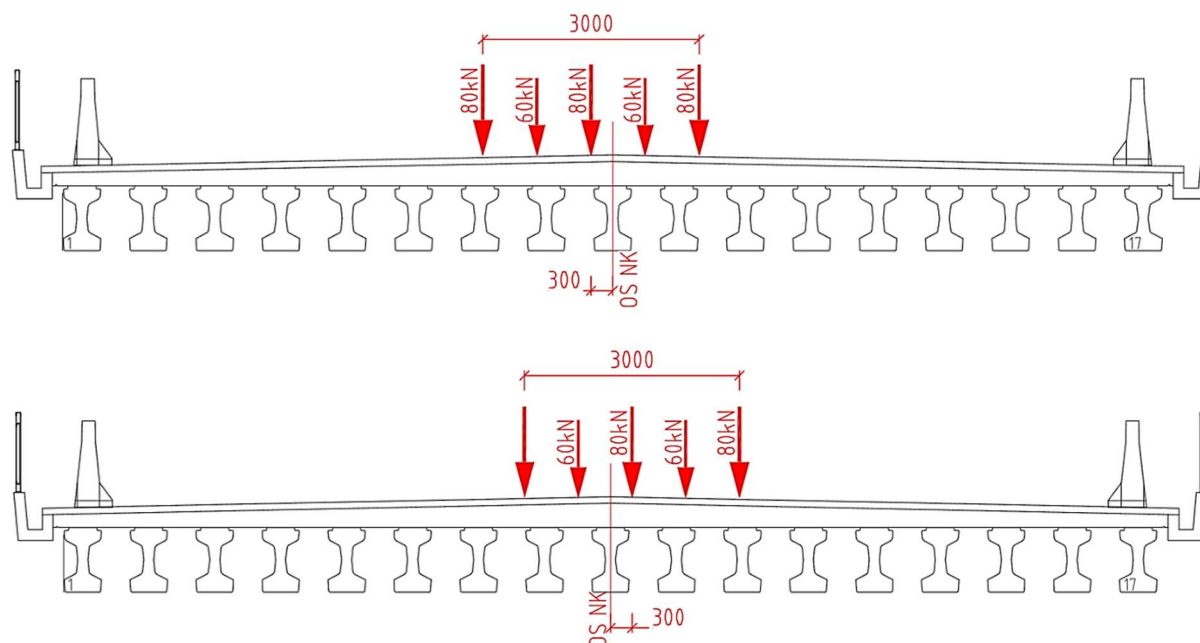
Model zložený z jednonápravového zaťaženia s tiažou rovnou 400kN vrátane dynamických prírastkov. Zaťaženie sa používa v ľubovoľnej polohe na vozovke.



### 8.2.3 Zaťažovací model LM3

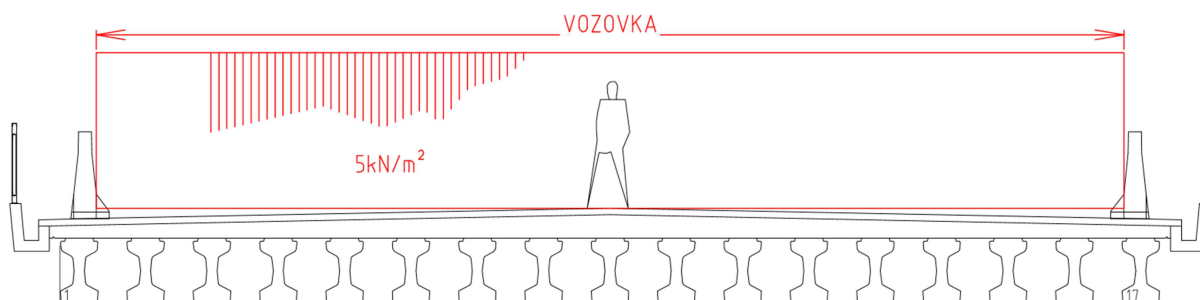
Špeciálne vozidlo 3000/240 sa na moste umiestňuje do dvoch susedných zaťažovacích pruhov a považuje sa za jediné vozidlo na moste. Tieto zaťažovacie pruhy sa majú na vozovke uvažovať v najpriaznivejšej polohe s prípustnou kolmou odchýlkou od vytýčenej polohy (os nosnej konštrukcie)  $\pm 0,30\text{m}$ .

Špeciálne vozidlo 3000/240 sa pohybuje po moste pomalou rýchlosťou do 5km/h, pričom musí byť po celej dĺžke mosta vylúčená ostatná doprava.




### 8.2.4 Zaťažovací model LM4

V zaťažovacom modeli LM4 je vyjadrené rovnomerným spojitým zaťažením rovným  $5\text{kN/m}^2$ . Zaťaženie zahrňuje dynamické prírastky.



### 8.2.5 Brzdné a rozjzdové sily

Rozjzdové sily majú rovnakú veľkosť ako brzdné sily, sú opačne orientované. Pôsobia na úrovni vozovky. Dĺžka nosnej konštrukcie jedného poľa mosta je 19,4 m. Brzdné a rozjzdové sily sú vypočítané zo zaťažovacieho modelu LM1:

Rozmery mosta					
L=	19,4	m	dĺžka nosnej konštrukcie		
b=	14,25	m	šírka vozovky		
r=	0	m	polomer zakrivenia osi vozovky		
kategória cesty		Cesty I., II. a III. Triedy			
$\alpha_{Q1}$	$\alpha_{Q2}$	$\alpha_{Q3}$	$\alpha_{q1}$	$\alpha_{q1 \ i>2}$	
1	1	1	1	1	
$Q_{1k}=$	300	kN		$q_{1k}=$	9 kN/m^2
$Q_{2k}=$	200	kN		$q_{2k}=$	2,5 kN/m^2
$Q_{31k}=$	100	kN		$q_{3k}=$	2,5 kN/m^2
				$q_{wk}=$	2,5 kN/m^2
n	3		počet jazdných pruhov		
w	5.25	m	zvyšná plocha		

Brzdné a rozjazdové sily			
w=	3	m	šírka pruhu
Qk=	412,4	kN	
Qik=	412,4	kN	brzdná sila

### 8.2.6 Zaťaženie od odstredivej sily a iných priečných zaťažení

Most sa nachádza smerovo v oblúku polomeru  $R = 0,0\text{m}$ .

Odstredivé sily		
$\Sigma \alpha \cdot 2 \cdot Q =$	1080	kN
$Q_{tk} =$	0,00	kN

### 8.2.7 Zaťažovacie skupiny od cestnej dopravy

Tab. 1 4.4a - Zaťažovacie skupiny od cestnej dopravy

		Vozovka						Chodníky pre chodcov a cyklistov
Typ zaťaženia		Zvislé sily				Vodorovné sily		Výlučne zvislé zaťaženie
Číslo článku		4.3.2	4.3.3	4.3.4	4.3.5	4.4.1	4.4.2	5.2.1-(1)
Zaťažovací systém		LM1	LM2	LM3	LM4	Brzdne a rozjazdové sily <sup>(a)</sup>	Odstredivé sily <sup>(a)</sup>	Rovnomerné spojité zaťaženie
		TS+RSZ	Jednonápravové vozidlá	Zvláštne vozidlá	Zaťaženie davom ľudí			
Zaťažovacie skupiny	sk1a	Charakter. hodnoty						Kombinačná hodnota <sup>(b)</sup>
	sk1b		Charakter. hodnoty					
	sk2	Časté hodnoty				Charakter. hodnoty	Charakter. hodnoty	
	sk3 <sup>(d)</sup>							Charakter. Hodnoty <sup>(c)</sup>
	sk4				Charakter. hodnoty			
	sk5	Pozri prílohu A		Charakter. hodnoty				
Dominantná zložka zaťaženia (označená ako zložka súvisiaca so skupinou)								

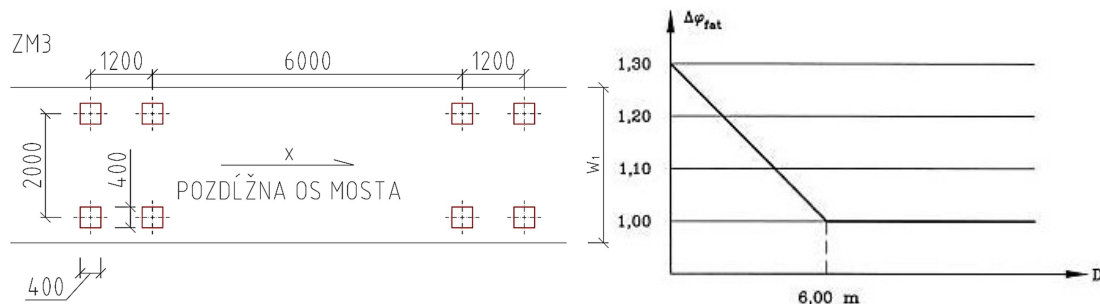
- (a) Môžu byť definované v národnej prílohe (pre uvedené prípady)  
 (b) Môžu byť definované v národnej prílohe. Odporúčaná hodnota je  $3\text{kN/m}^2$   
 (c) Pozri 5.3.2.1-(2) Iba jeden zaťažený chodník sa má uvažovať len v prípade, že to vyvolá nepriaznivejší účinok, ako keď sú zaťažené oba chodníky  
 (d) Táto skupina sa neuvažuje, ak sa uvažuje skupina sk.4

### 8.2.8 Únavový zaťažovací model

STN EN 1991-2, čl. 4.6.4

Zaťaženie na nápravu: 120kN

Kontaktná plocha:  $0,4\text{m} \times 0,4\text{m} = 0,15\text{m}^2$

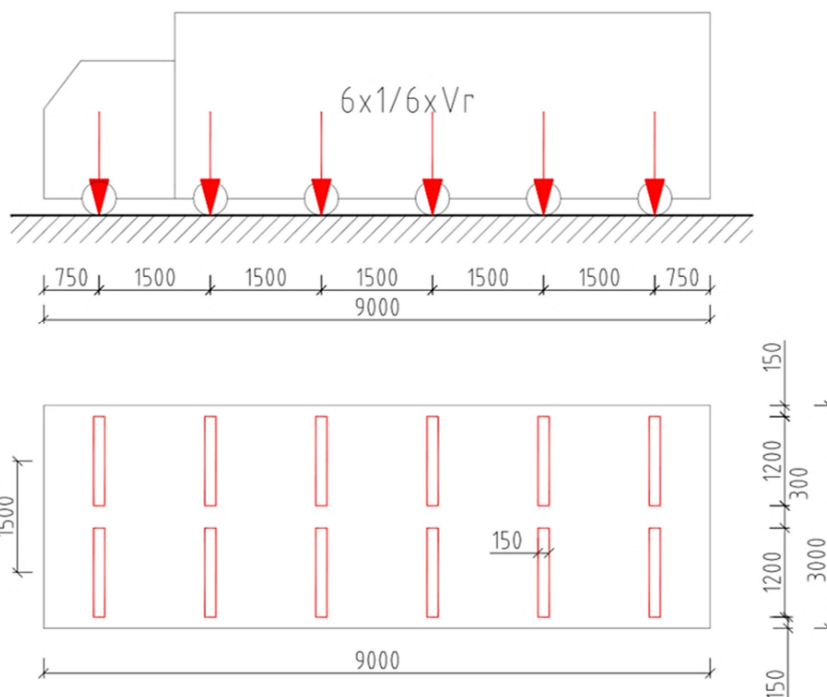


### 8.2.8.1 Zaťažovací model – Výhradná zaťažiteľnosť

Model vozidla pre výhradnú zaťažiteľnosť zodpovedá triede zvláštnych vozidiel 900/150 podľa STN EN 1991-2, čl. A.2(1). Výhradné zaťaženie sa kombinuje s ostatnými dopravnými zaťažzeniami podľa tabuľky.

$$\varphi = 1,4 - \frac{L}{500}; \varphi > 1,0$$

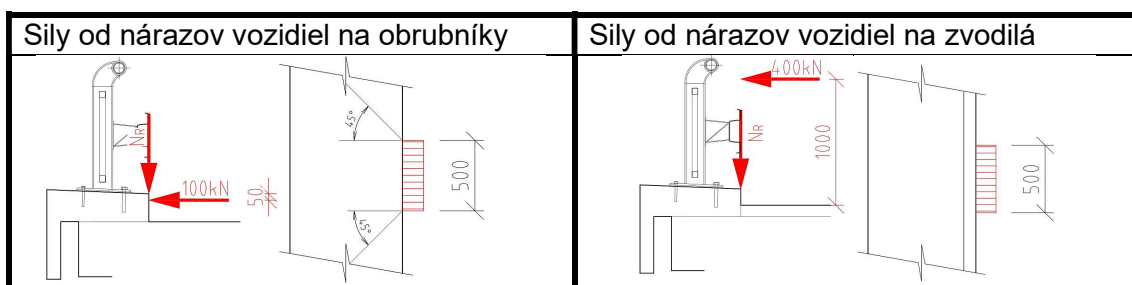
$$\varphi = 1,360$$



### 8.2.9 Mimoriadne návrhové situácie

Zvislá sila:  $0,75 \cdot \alpha_{Q1} \cdot Q_{Q1} = 202,5 \text{ kN}$

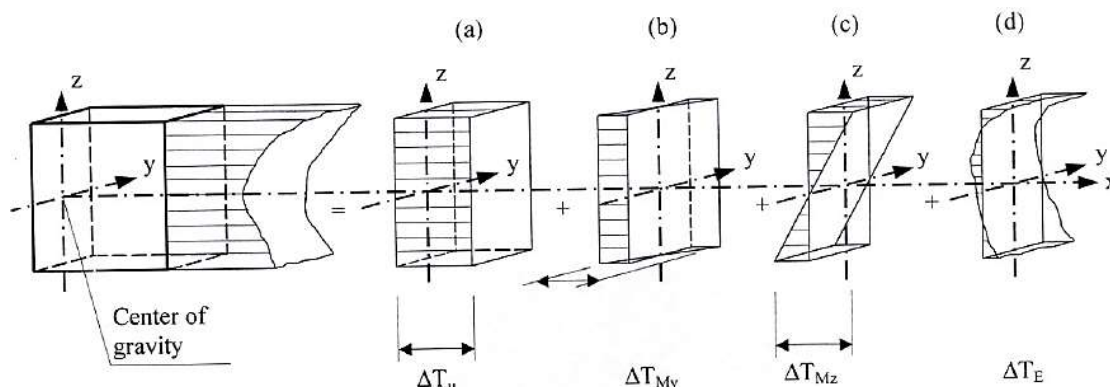
Sily od nárazov vozidiel na obrubníky			Sily od nárazov vozidiel na zvodilá		
Vodorovná sila	(kN)	100	Vodorovná sila	(kN)	400
Zvislá sila	(kN)	202,5	Zvislá sila	(kN)	202,5



### 8.3 Zaťaženie od teploty

Rozdelenie teploty v samostatnom konštrukčnom prvku možno rozčleniť do štyroch nasledujúcich hlavných základných zložiek (STN EN 1991-1-5, kapitola 4 (3)).

- a) Zložka rovnomernej teploty
- b) Zložka lineárne sa meniaceho teplotného spádu okolo osi z-z
- c) Zložka lineárne sa meniaceho teplotného spádu okolo osi y-y.
- d) Nelineárna zložka teplotného spádu.



### 8.3.1 Zložka rovnomernej teploty

Typ konštrukcie: 3 Betónová nosná konštrukcia-betónový nosník

$$T_0 = +10,0^\circ\text{C}$$

$$T_{max} = +39,0^\circ\text{C}$$

$$T_{e,max} = +41,0^\circ\text{C}$$

$$\Delta T_{N,exp} = +31,0^\circ\text{C}$$

$$T_{min} = -28,0^\circ\text{C}$$

$$T_{e,min} = -20,0^\circ\text{C}$$

$$\Delta T_{N,con} = -30^\circ\text{C}$$

### 8.3.2 Zložka lineárne sa meniaceho teplotného spádu okolo osi z-z

Pre kombináciu rovnomernej a lineárnej zložky teploty platí:

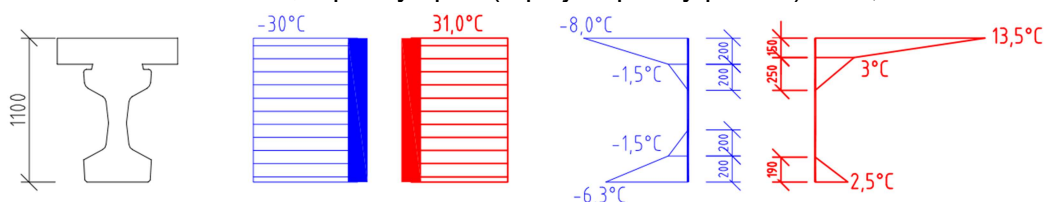
- Oteplenie:  $(\Delta T_{M,heat} + 0,35 \cdot \Delta T_{N,exp}; 0,75 \cdot \Delta T_{M,heat} + \Delta T_{N,exp})$
- Oteplenie:  $(\Delta T_{M,cool} + 0,35 \cdot \Delta T_{N,con}; 0,75 \cdot \Delta T_{M,cool} + \Delta T_{N,con})$

Pôsobenie vplyvu teploty sa uvažovalo podľa STN EN 1991-1-5 Eurokód 1. Zaťaženia konštrukcií, Časť 1-5: Všeobecné zaťaženia, Zaťaženia účinkami teploty.

$$h = 1,10\text{m}$$

Vo výpočte sa zohľadnili nasledujúce vplyvy: Typ konštrukcie 3.

- nerovnomerné oteplenie, teplotný spád (teplejší horný povrch):  $\Delta T_{M,heat}$
- nerovnomerné ochladenie, teplotný spád (teplejší spodný povrch):  $\Delta T_{M,cool}$



TYP 3.			LOŽISKÁ/MZ
$T_{min.} = -28^\circ\text{C}$	$T_{e,min} = -28^\circ\text{C} + 8^\circ\text{C} = -20^\circ\text{C}$	$\Delta T_{n,con} = T_0 - T_{e,min} = 10 - (-20) = 30^\circ\text{C}$	$\Delta T_{n,con} = T_0 - T_{e,min} = 10 - (-30) = 40^\circ\text{C}$
$T_{max.} = +39^\circ\text{C}$	$T_{e,max} = 39^\circ\text{C} + 2^\circ\text{C} = 41^\circ\text{C}$	$\Delta T_{n,exp} = T_{e,max} - T_0 = 41 - 10 = 31^\circ\text{C}$	$\Delta T_{n,exp} = T_{e,max} - T_0 = 51 - 10 = 41^\circ\text{C}$

## 8.4 Zaťaženie od vetra

základná rýchlosť vetra	24m/s	
výška z	10	m
b	15,3	m
d tot	2	m
b/d tot	7,650	
výška NK	1,1	m
	13,9091	
<b>Priečný tlak vetra na nosnú konštrukciu</b>		
b) s parapetmi alebo s protihlukovými bariérami na oddelenie doj		
cfx	1,000	
priečný tlak vetra	$1/2 \cdot \rho \cdot v_b^2 \cdot c_e(z) \cdot c_{fx}$	
q <sub>w,x</sub>	0,85	kPa
<b>Zvislý tlak vetra na nosnú konštrukciu</b>		
- STN EN uvažuje iba výšku nosnej konštrukcie bez dopravy a mostného vybavenia		
d tot		
θ	7°	
cfz	0,869	
zvislý tlak vetra	$1/2 \cdot \rho \cdot v_b^2 \cdot c_e(z) \cdot c_{fz}$	
q <sub>w,z</sub>	0,74	kPa
e	3,825	m
<b>Pozdĺžny tlak vetra na nosnú konštrukciu</b>		
plnostenný most NA 2.53, STN EN 1991-1-4		
pozdĺžny tlak vetra		
q <sub>w,y</sub>	0,21	kPa

## 9. NÁVRHOVÉ KRITÉRIA

### 9.1 Medzné stavy používateľnosti (MSP)

#### 9.1.1 Medzné stavy používateľnosti – kontrola napätí

Podľa STN EN 1992-2, čl. 7.2 pri charakteristickej kombinácii zaťažení:

– nesmú tlakové napätia v betóne prekročiť hodnotu  $k_1 \cdot f_{ck}(t)$ , pričom  $k_1 = 0,6$

Ťahové napätia v priereze spĺňajú podmienku STN EN 1992-1-1, čl. 7.1 (neprekročia hodnotu  $f_{ct,eff}$  alebo  $f_{ctm}$ ).

#### 9.1.2 Medzné stavy používateľnosti – kontrola trhlin v betóne

Pre častú kombináciu zaťažení nesmie nastať dekompresia – vyčerpanie tlakovej rezervy. Pre prvky predpäté súdržnou predpínacou výstužou to znamená, že okraj tejto výstuže musí ležať aspoň 100 mm vo vnútri tlačeneho prierezu (STN EN 1992-2, čl. 7.3).

### 9.2 Medzné stavy únosnosti (MSÚ)

Pri trvalých a dočasných návrhových situáciách nesmie nastať ohrozenie bezpečnosti osôb alebo ohrozenie bezpečnosti konštrukcie prekročením únosnosti najviac namáhaných prierezov konštrukcie.

## 10. KOMBINÁCIE ZAŤAŽENÍ

Kombinácie zaťaženie boli uvažované podľa STN EN 1990

### 10.1 Kombinačné pravidlá

#### 10.1.1 STN EN 1990

(2) Zaťažovací model 2, (alebo pridružená skupina zaťaženie gr 1b) a sústredené zaťaženie  $Q_{fwk}$  na chodníkoch sa nemusia kombinovať s akýmkoľvek iným premenným nedopravným zaťažením.

(3) Zaťaženia snehom a vetrom sa nemusia kombinovať s:

- brzdnými a rozjazdovými silami, odstredivými silami alebo s pridruženou zaťažovacou skupinou gr 2,
- zaťažením chodníkov a cyklistických trás alebo s pridruženou zaťažovacou skupinou gr 3,
- zaťažením davom ľudí (LM4) alebo pridruženou zaťažovacou skupinou gr 4.

(4) Zaťaženia snehom sa nemusia kombinovať so zaťažovacím modelom 1 a 2 alebo pridruženou zaťažovacou skupinou gr1a a gr1b, ak to nie je stanovené inak pre určité zemepisné oblasti.

#### NA.2.6 A2.2.2(6)

Na mostoch pozemných komunikácií zaťaženie vetrom spolu so zaťažením účinkami teploty sa nepovažujú za súčasne pôsobiace zaťaženia.

#### 10.1.2 STN EN 1998-2

STN EN 1998-2, čl. 2.2.2

Ak návrhové seizmické zaťaženie má malú pravdepodobnosť prekročenia počas návrhovej životnosti mosta, seizmické zaťaženie možno uvažovať ako mimoriadne zaťaženie podľa EN 1990:2002, 1.5.3.5 a 4.1.1(2). V takom prípade sa požiadavky (3) a (4) môžu zmierniť.

#### NA.2.6 2.2.2(5)

Pre mosty sa seizmické zaťaženie nerieši ako mimoriadne zaťaženie. Zmiernenie požiadaviek 2.2.2(3) a 2.2.2(4) sa neuvádzajú.

STN EN 1998-2, čl. 5.5

(2)P Účinky seizmického zaťaženia sa nemusia kombinovať s účinkami zaťaženia v dôsledku vnútených deformácií (od zmeny teploty, zmrašťovania, sadania podpier, zvyškové posuny podložia v dôsledku seizmických zlomov)

(4)P Zaťaženie vetrom a zaťaženie snehom sa zanedbajú v návrhovej hodnote  $E_d$  účinkov zaťaženie v seizmickej návrhovej situácii (vzťah (5.4)).

#### 10.1.3 Hodnoty súčiniteľov $\psi$

Tab. 2 Odporúčané hodnoty súčiniteľov  $\psi$  pre mosty pozemných komunikácií (Tab. A2.1, STN EN 1990/A1)



Zaťaženie	Označenie		$\psi_0$	$\psi_1$	$\psi_2$
Zaťaženie dopravou	gr 1a <sup>1)</sup>	TS	0,75	0,75	0
		UDL	0,4	0,4	0
		Zaťaženie chodcami <sup>2)</sup>	0,4	0,4	0
	gr 1b (jednonápravové vozidlo)		0	0,75	0
	gr 2 (vodorovné sily)		0	0	0
	gr 3 (zaťaženie chodcami)		0	0,4	0
	gr 4 (LM4 – zaťaženie davom ľudí)		0	0,75	0
	gr 5 (LM3 – zvláštne vozidlá)		0	0	0
Zaťaženie vetrom	Fwk Trvalé návrhové situácie		0,6	0,2	0
	Fwk Počas výstavby		0,8	-	0
	Fw*		1,0	-	-
Zaťaženie účinkami teploty	T <sub>k</sub>		0,6 <sup>3)</sup>	0,6	0,5
Zaťaženie snehom	Q <sub>Sn,k</sub> (počas výstavby)		0,8	-	-
Zaťaženie počas výstavby			1,0	-	1,0

1. Odporúčané hodnoty súčiniteľov  $\psi_0$ ,  $\psi_1$ ,  $\psi_2$  pre gr 1a a gr 1b sú uvedené pre cesty s dopravou zodpovedajúcou kategorizačným súčiniteľom  $\alpha_{cl}$ ,  $\alpha_{qf}$ ,  $\alpha_{qr}$  a  $\beta_{cl}$  rovným 1. Ich hodnoty týkajúce sa UDL zodpovedajú bežným dopravným scenárom, v ktorých môže nastať zriedkavá kumulácia nákladných vozidiel. Pre iné triedy ciest alebo inú predpokladanú prevádzku súvisiacu s výberom zodpovedajúcich súčiniteľov  $\alpha$  sa smú uvažovať iné hodnoty. Napríklad hodnota súčiniteľa  $\psi_2$  iná ako nulová môže byť uvažovaná pre UDL zaťažovacieho modelu LM1 pri mostoch so spojitou ťažkou dopravou. Pozri aj EN 1998.
2. Kombinačná hodnota zaťaženia lávok pre chodcov alebo cyklistických trás uvedená v tabuľke 4.4a EN 1991-2 je „redukovaná“ hodnota. Súčinitele  $\psi_0$  a  $\psi_1$  sa použijú s touto hodnotou.
3. Odporúčaná hodnota súčiniteľa kombinácie zaťaženia  $\psi_0$  pre zaťaženie účinkami teploty sa smie vo väčšine prípadov redukovať na nulovú hodnotu pre medzné stavy únosnosti EQU, STR a GEO. Pozri aj návrhové eurokódy.

## 10.2 Kombinácie zaťaženií pre MSP

Pre medzné stavy použiteľnosti (MSP) sa uvažovali nasledujúce kombinácie zaťaženií:

- charakteristická kombinácia
- častá kombinácia
- kvazistála kombinácia.

Tab. 3 Návrhové hodnoty zaťaženií na použitie v kombináciách zaťaženií (Tab. A2.6, STN EN 1990/A1)

Kombinácia	Stále zaťaženie G <sub>d</sub>		Predpätie	Premenné zaťaženia Q <sub>d</sub>	
	Nepriaznivé	Priaznivé		Hlavné	Ostatné
Charakteristická	G <sub>kj, sup</sub>	G <sub>kj, inf</sub>	P	Q <sub>k,1</sub>	$\psi_{0,i}$ Q <sub>k,i</sub>
Častá	G <sub>kj, sup</sub>	G <sub>kj, inf</sub>	P	$\psi_{1,1}$ Q <sub>k,1</sub>	$\psi_{2,i}$ Q <sub>k,i</sub>
Kvázi - stála	G <sub>kj, sup</sub>	G <sub>kj, inf</sub>	P	$\psi_{2,1}$ Q <sub>k,1</sub>	$\psi_{2,i}$ Q <sub>k,i</sub>



Charakteristická kombinácia zaťažení:

$$\sum_j G_{k,j,\text{sup}} + \sum_j G_{k,j,\text{inf}} + P_k + Q_{k,1} + \sum_{i \geq 2} \psi_{0,i} \cdot Q_{k,i}$$

Častá kombinácia zaťažení:

$$\sum_j G_{k,j,\text{sup}} + \sum_j G_{k,j,\text{inf}} + P_k + \psi_{1,1} \cdot Q_{k,1} + \sum_{i \geq 2} \psi_{2,i} \cdot Q_{k,i}$$

Kvazistála kombinácia zaťažení:

$$\sum_j G_{k,j,\text{sup}} + \sum_j G_{k,j,\text{inf}} + P_k + \psi_{2,1} \cdot Q_{k,1} + \sum_{i \geq 2} \psi_{2,i} \cdot Q_{k,i}$$

Menej častá (zriedkavá) kombinácia zaťažení:

$$\sum_j G_{k,j,\text{sup}} + \sum_j G_{k,j,\text{inf}} + P_k + \psi_{1,\text{inf}q} \cdot Q_{k,1} + \sum_{i \geq 1} \psi_{1,i} \cdot Q_{k,i}$$

Na výpočet v medznom stave používateľnosti (a únavy) sa musia používať povolené maximálne možných zmien v predpätí (STN EN 1992-1-1, čl. 5.10.9). Charakteristické hodnoty predpínacej sily sa určujú ako:

- horná charakteristická hodnota  $P_{k,\text{sup}} = r_{\text{sup}} \cdot P_{m,t}(x)$
- spodná charakteristická hodnota  $P_{k,\text{inf}} = r_{\text{inf}} \cdot P_{m,t}(x)$

Pre dodatočne predpätú výstuž  $r_{\text{sup}} = 1,10$  a  $r_{\text{inf}} = 0,90$ .

Pre vopred predpätú výstuž  $r_{\text{sup}} = 1,05$  a  $r_{\text{inf}} = 0,95$ .

### 10.3 Mimoriadne návrhové situácie

**Tab. 4 Návrhové hodnoty zaťaženia pri mimoriadnych a seizmických kombináciách zaťaženia (Tab. A2.5, STN EN 1990/A1)**

Návrhová situácia	Stále zaťaženie		Predpätie	Mimoriadne / Seizmické zaťaženie	Sprievodné premenné zaťaženie**	
	Nepriaznivé	Priaznivé			Podstatné	Ostatné
Mimoriadna*	$G_{k,j,\text{sup}}$	$G_{k,j,\text{inf}}$	P	$A_d$	$\psi_{1,1} Q_{k,1}$ alebo $\psi_{2,1} Q_{k,1}$	$\psi_{2,i} Q_{k,i}$
Seizmická***	$G_{k,j,\text{sup}}$	$G_{k,j,\text{inf}}$	P	$A_{Ed} = \gamma_I A_{Ek}$		$\psi_{2,i} Q_{k,i}$

\* V prípade mimoriadnych návrhových situácií sa smie podstatné premenné zaťaženie uvažovať jeho častou, alebo ako v seizmických kombináciách jeho kvázi – stálou hodnotou.

\*\* Premenné zaťaženia sú tie, ktoré sú uvedené v tab. A2.1 až A2.3

\*\*\* NA alebo individuálny projekt smú špecifikovať príslušné seizmické návrhové situácie.

### 10.4 Kombinácie zaťaženia pre MSU

Pre medzné stavy únosnosti (MSU) sa uvažovali nasledujúce kombinácie zaťaženia:

Tab. 5 návrhové hodnoty zaťaženia (STR/GEO) (Sk.B) (Tab. A2.4, STN EN 1990/A1)

Trvalé a dočasné návrhové situácie	Stále zaťaženie		Predpätie	Hlavné premenné zaťaženie	Sprievodné zaťaženie	
	Nepriaznivé	Priaznivé			Podstatné (ak existuje)	Ostatné
(6.10)	$\gamma_{G,j,sup} G_{k,j,sup}$	$\gamma_{G,j,inf} G_{k,j,inf}$	$\gamma_P P$	$\gamma_{Q,1} Q_{k,1}$		$\gamma_{Q,i} \psi_{0,i} Q_{k,i}$
$\gamma_{G, sup}$	1,35					
$\gamma_{G, inf}$	1,00					
$\gamma_Q$	1,35	Nepriaznivé zaťaženie cestnou dopravou (0, ak je priaznivé)				
$\gamma_Q$	1,50	Ostatné zaťaženie dopravou a ďalšie premenné zaťaženia				
$\gamma_{G, set}$	1,20	Nerovnomerné sadanie – lineárny pružnostný výpočet				
$\gamma_P$	1,00					

(6.10)

$$\sum_{j \geq 1} \gamma_{G,j} \cdot G_{k,j} + \gamma_P \cdot P + \gamma_{Q,1} \cdot Q_{k,1} + \sum_{i > 1} \gamma_{Q,i} \psi_{0,i} \cdot Q_{k,i}$$

(6.10a)

$$\sum_{j \geq 1} \gamma_{G,j} \cdot G_{k,j} + \gamma_P \cdot P + \gamma_{Q,1} \cdot \psi_{0,1} \cdot Q_{k,1} + \sum_{i > 1} \gamma_{Q,i} \psi_{0,i} \cdot Q_{k,i}$$

(6.10b)

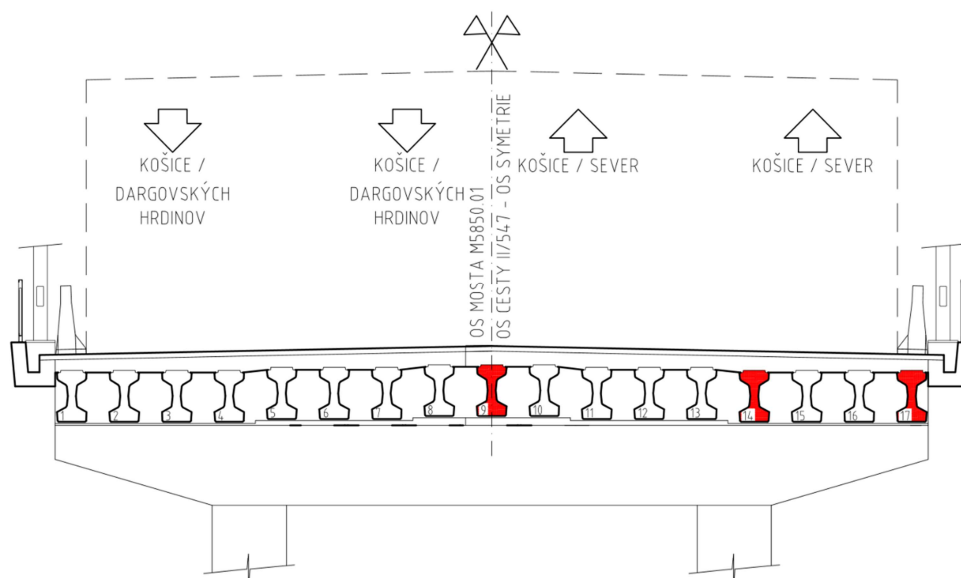
$$\sum_{j \geq 1} \xi_j \gamma_{G,j} \cdot G_{k,j} + \gamma_P \cdot P + \gamma_{Q,1} \cdot Q_{k,1} + \sum_{i > 1} \gamma_{Q,i} \psi_{0,i} \cdot Q_{k,i}$$

## 10.5 Kombinácie

LIST OF LOAD COMBINATIONS						
NUM	NAME	ACTIVE	TYPE	LOADCASE(FACTOR) +	LOADCASE(FACTOR) +	LOADCASE(FACTOR)
=====						
1	Temp	Inactive	Envelope	-T_Spad( 1.000) +	-T_Rov( 1.000) +	+T_Rov( 1.000)
		+T_Spad( 1.000)				
2	msu01	Strength/Stress	Add	Self_weight( 1.350) +	Zvršok( 1.350) +	Tendon Secondary( 1.000)
		Creep Secondary( 1.350) +		Shrinkage Secondary( 1.200) +		Temp( 0.900)
		LM1_NoPsi( 1.350)				
3	msu02	Strength/Stress	Add	Self_weight( 1.350) +	Zvršok( 1.350) +	Tendon Secondary( 1.000)
		Creep Secondary( 1.350) +		Shrinkage Secondary( 1.200) +		Temp( 0.900)
		LM3( 1.350)				
4	msu03	Strength/Stress	Add	Self_weight( 1.350) +	Zvršok( 1.350) +	Tendon Secondary( 1.000)
		Creep Secondary( 1.350) +		Shrinkage Secondary( 1.200) +		Temp( 0.900)
		LM4( 1.350)				
5	msu04	Strength/Stress	Add	Self_weight( 1.350) +	Zvršok( 1.350) +	Tendon Secondary( 1.000)
		Creep Secondary( 1.350) +		Shrinkage Secondary( 1.200) +		Temp( 1.500)
		LM1_Psi( 1.350)				
6	cha01	Serviceability	Add	Self_weight( 1.000) +	Zvršok( 1.000) +	Tendon Secondary( 0.950)
		Creep Secondary( 1.000) +		Shrinkage Secondary( 1.000) +		Temp( 0.600)
		LM1_NoPsi( 1.000) +		Tendon Primary( 0.950)		
7	cha02	Serviceability	Add	Self_weight( 1.000) +	Zvršok( 1.000) +	Tendon Secondary( 1.050)
		Creep Secondary( 1.000) +		Shrinkage Secondary( 1.000) +		Temp( 0.600)
		LM1_NoPsi( 1.000) +		Tendon Primary( 1.050)		

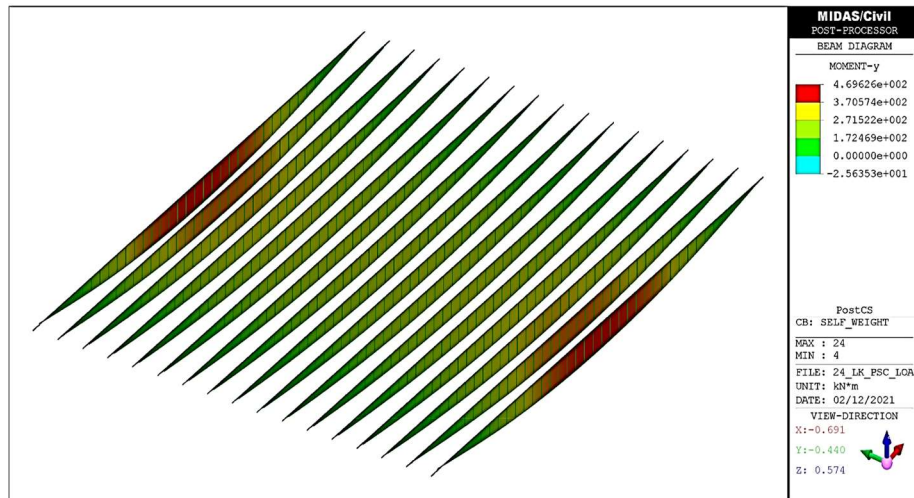
8	cha03	Serviceability	Add		
		Self_weight( 1.000) +	Zvršok( 1.000) +	Tendon Secondary( 0.950)	
+		Creep Secondary( 1.000) +	Shrinkage Secondary( 1.000) +	Temp( 0.600)	
+		LM3( 1.000) +	Tendon Primary( 0.950)		
9	cha04	Serviceability	Add		
		Self_weight( 1.000) +	Zvršok( 1.000) +	Tendon Secondary( 1.050)	
+		Creep Secondary( 1.000) +	Shrinkage Secondary( 1.000) +	Temp( 0.600)	
+		LM3( 1.000) +	Tendon Primary( 1.050)		
10	cha05	Serviceability	Add		
		Self_weight( 1.000) +	Zvršok( 1.000) +	Tendon Secondary( 0.950)	
+		Creep Secondary( 1.000) +	Shrinkage Secondary( 1.000) +	Temp( 0.600)	
+		LM4( 1.000) +	Tendon Primary( 0.950)		
11	cha06	Serviceability	Add		
		Self_weight( 1.000) +	Zvršok( 1.000) +	Tendon Secondary( 1.050)	
+		Creep Secondary( 1.000) +	Shrinkage Secondary( 1.000) +	Temp( 0.600)	
+		LM4( 1.000) +	Tendon Primary( 1.050)		
12	cha07	Serviceability	Add		
		Self_weight( 1.000) +	Zvršok( 1.000) +	Tendon Secondary( 0.950)	
+		Creep Secondary( 1.000) +	Shrinkage Secondary( 1.000) +	Temp( 1.000)	
+		LM1_Psi( 1.000) +	Tendon Primary( 0.950)		
13	cha08	Serviceability	Add		
		Self_weight( 1.000) +	Zvršok( 1.000) +	Tendon Secondary( 1.050)	
+		Creep Secondary( 1.000) +	Shrinkage Secondary( 1.000) +	Temp( 1.000)	
+		LM1_Psi( 1.000) +	Tendon Primary( 1.050)		
14	frek01	Serviceability	Add		
		Self_weight( 1.000) +	Zvršok( 1.000) +	Tendon Secondary( 0.950)	
+		Creep Secondary( 1.000) +	Shrinkage Secondary( 1.000) +	Temp( 0.500)	
+		LM1_Psi( 1.000) +	Tendon Primary( 0.950)		
15	frek02	Serviceability	Add		
		Self_weight( 1.000) +	Zvršok( 1.000) +	Tendon Secondary( 1.050)	
+		Creep Secondary( 1.000) +	Shrinkage Secondary( 1.000) +	Temp( 0.500)	
+		LM1_Psi( 1.000) +	Tendon Primary( 1.050)		
16	k-p01	Serviceability	Add		
		Self_weight( 1.000) +	Zvršok( 1.000) +	Tendon Secondary( 0.950)	
+		Creep Secondary( 1.000) +	Shrinkage Secondary( 1.000) +	Temp( 0.500)	
+		Tendon Primary( 0.950)			
17	k-p02	Serviceability	Add		
		Self_weight( 1.000) +	Zvršok( 1.000) +	Tendon Secondary( 1.050)	
+		Creep Secondary( 1.000) +	Shrinkage Secondary( 1.000) +	Temp( 0.500)	
+		Tendon Primary( 1.050)			

## 11. ÚČINKY JEDNOTLIVÝCH ZAŤAŽENÍ

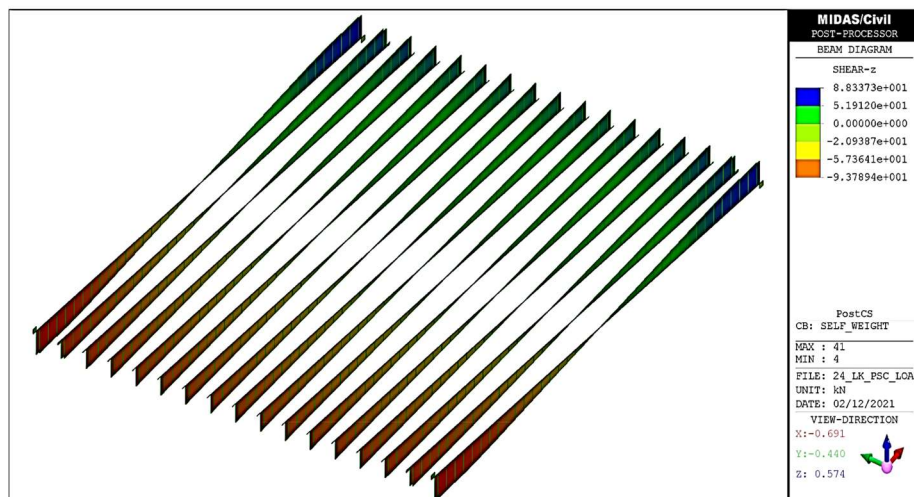


Obr. 14 Sledované nosníky v priečnom smere č. 9, 14, 17

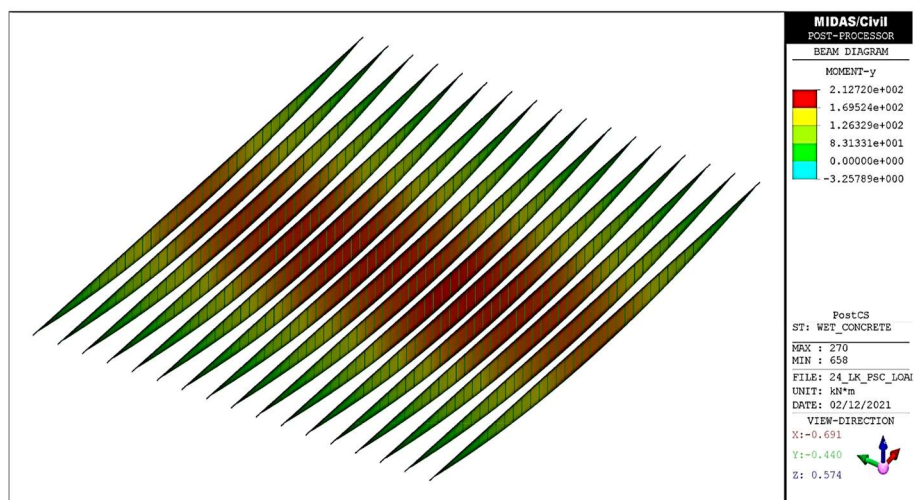
## 11.1 Etapa – štádium koniec životnosti



Obr. 15 Priebek ohybových momentov od vlastnej tiaže (kNm)

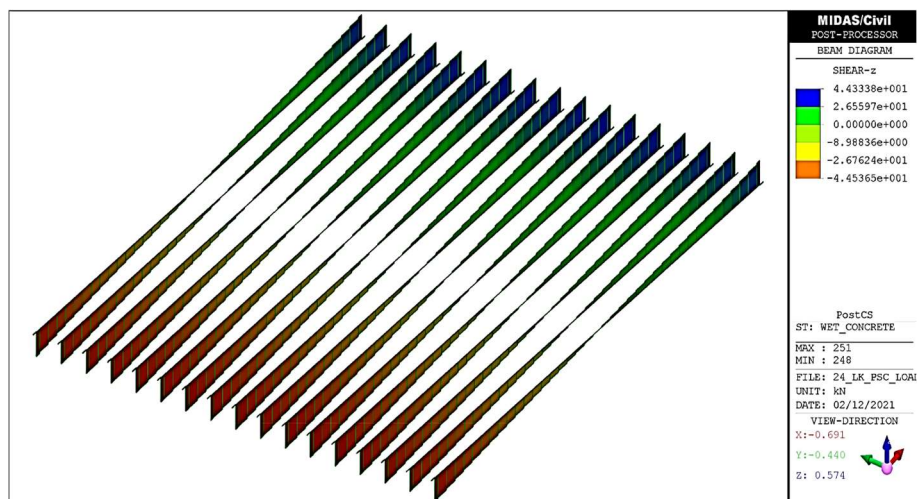


Obr. 16 Priebek posúvajúcich síl od vlastnej tiaže (kN)

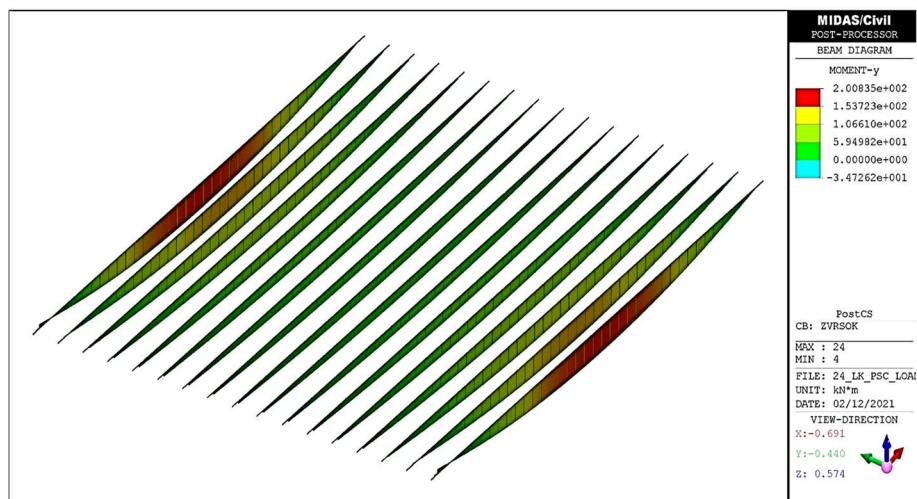


Obr. 17 Priebek ohybových momentov od tiaže mokrého betónu (kNm)

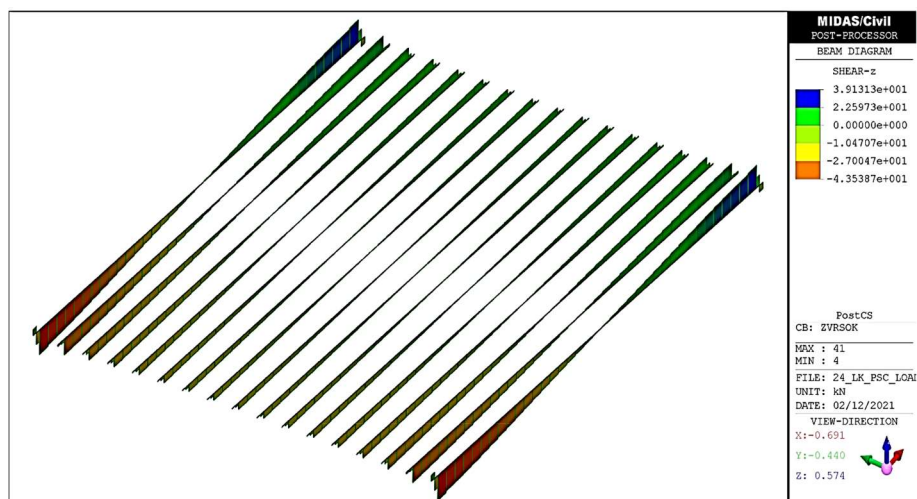




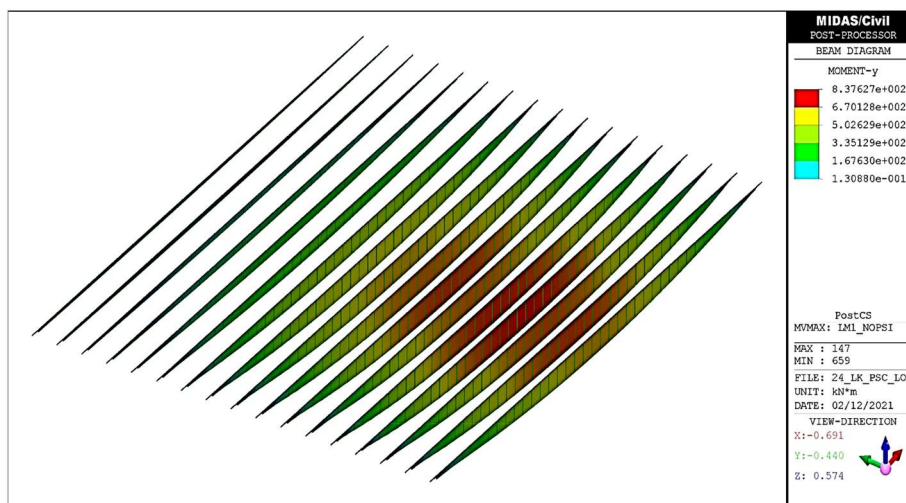
Obr. 18 Priebeh posúvajúcich síl od tiaže mokrého betónu (kN)



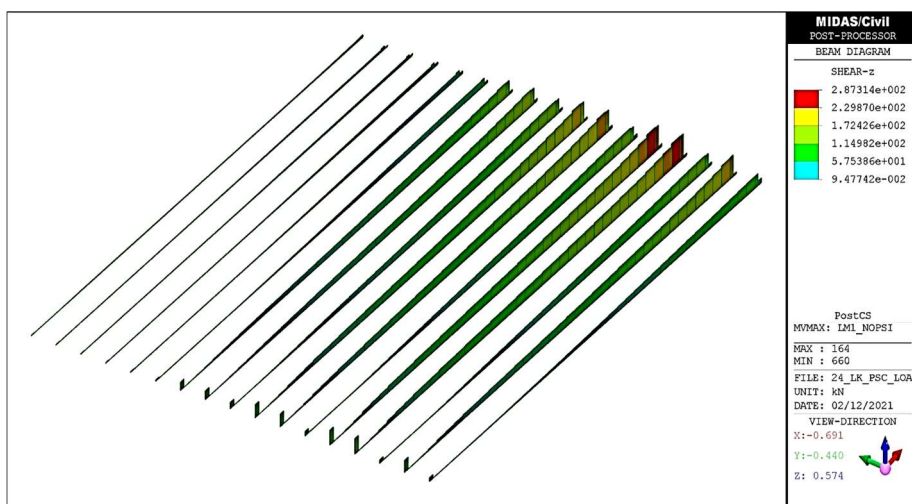
Obr. 19 Priebeh ohybových momentov od tiaže zvršku (kNm)



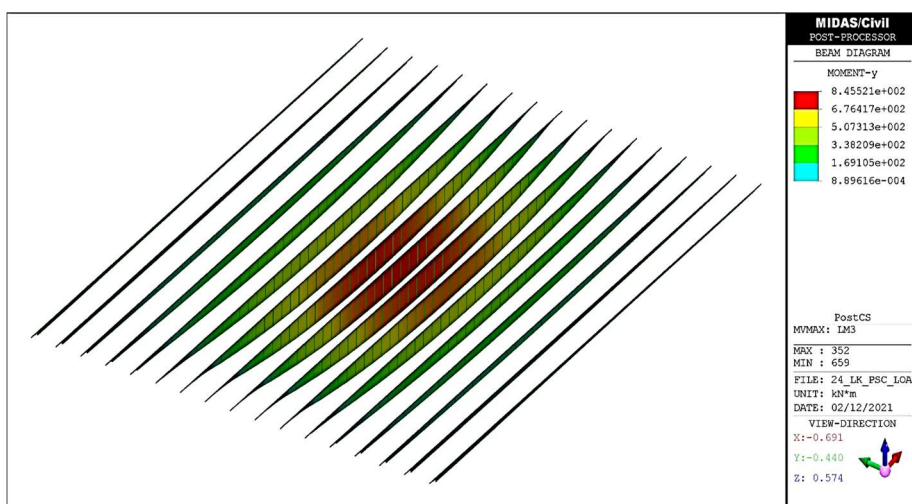
Obr. 20 Priebeh posúvajúcich síl od tiaže zvršku (kN)



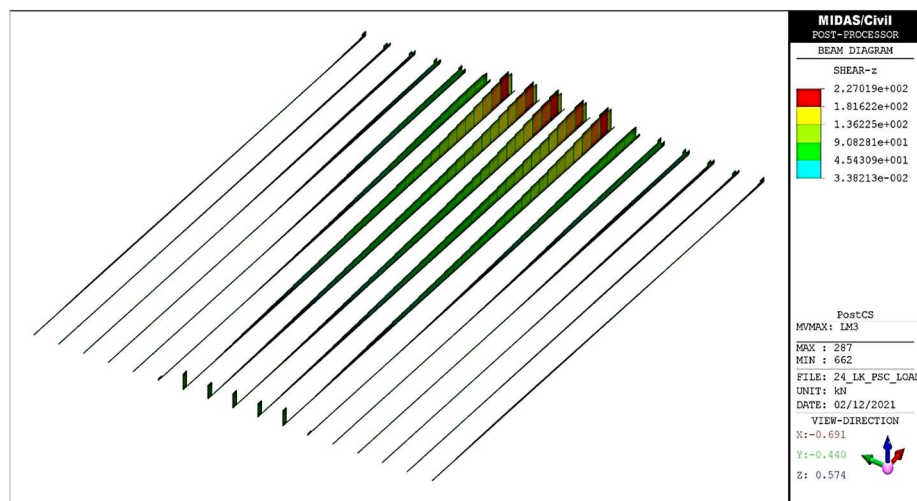
Obr. 21 Obálka ohybových momentov od LM1 NoPsi (kNm)



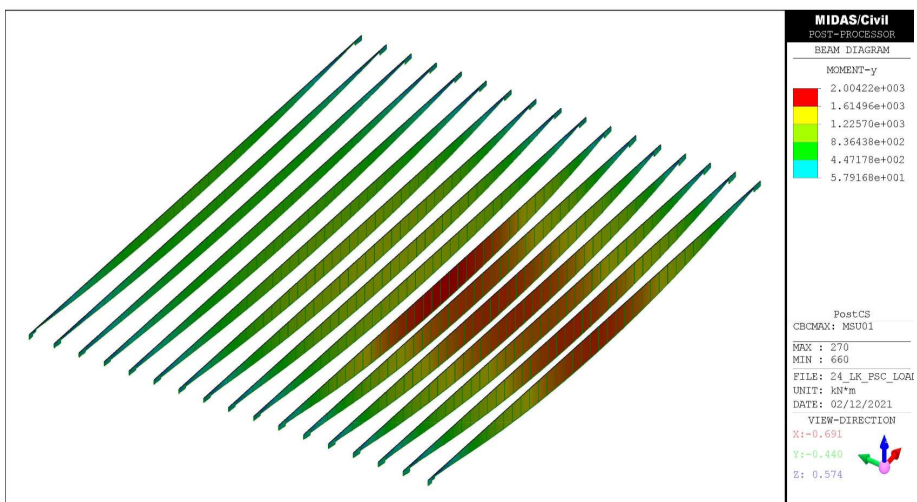
Obr. 22 Obálka posúvajúcich síl od LM1 NoPsi (kN)



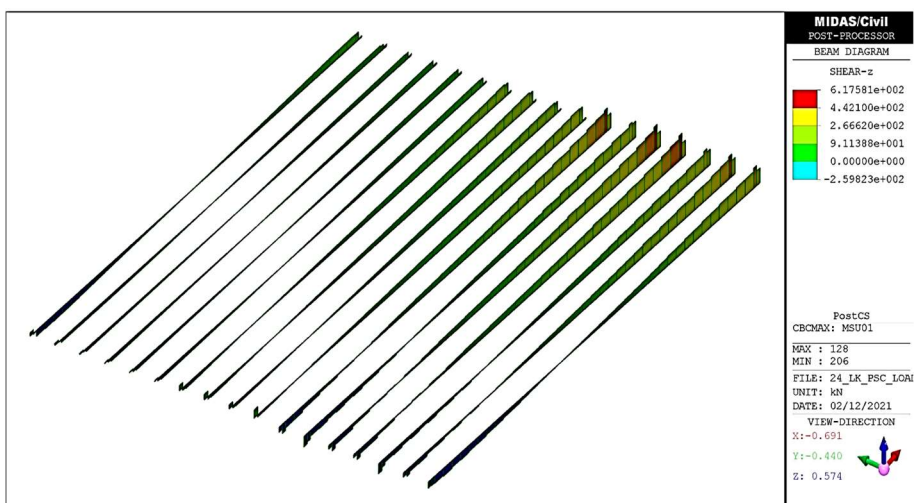
Obr. 23 Obálka ohybových momentov od LM3 (kNm)



Obr. 24 Obálka posuvajících síl od LM3 (kN)



Obr. 25 Obálka ohybových momentov od kombinácie zaťaženií msu 1 (kNm)



Obr. 26 Obálka posuvajících síl od kombinácie zaťaženií ms 1 (kN)

Charakteristické účinky zaťaženia		MEd			VEd		
		No. 9	No. 14	No. 17	No. 9	No. 14	No. 17
		(kNm)	(kNm)	(kNm)	(kN)	(kN)	(kN)
Stále zaťaženie	Vlastná tiaž	321,00	351,20	441,50	69,80	72,50	93,80
	Zvršok	612,00	682,00	863,00	12,50	18,00	43,50
	Pohyblivý zložka stál. zaťa.	53,20	49,20	38,40	11,10	10,50	8,50
	Dotvarovanie/ Zmrašťovanie	-95,00	84,00	40,00	27,10	244,70	224,20
	Štádium výstavby-mokrý betón	206,40	204,30	191,60	43,20	42,90	43,00
	Sekundárne účinky predpätia	28,3	28,3	28,3	163,1	96,3	79
Charakteristické účinky zaťaženia		MEd			VEd		
		/max./	/max./	/max./	/max./	/max./	/max./
		(kNm)	(kNm)	(kNm)	(kN)	(kN)	(kN)
Premenné zaťaženie	LM1 No Psi	710,80	837,60	714,10	169,70	287,30	138,10
	LM1 Psi	460,70	555,30	459,80	109,70	198,70	88,90
	LM2 No Psi	261,20	329,20	305,00	64,40	184,80	56,70
	LM3	845,50	314,10	132,30	244,50	75,00	38,10
	LM4	196,90	182,30	142,10	41,20	38,90	31,50
	Vyhradna zatazitelnost(max)	416,30	457,20	545,40	120,70	165,60	123,70
	LM_fat_3 - únavový model	184,60	217,40	242,30	58,30	101,20	61,00
	Oteplenie	85,00	46,00	28,50	3,00	24,00	55,00
	Ochladenie	82,00	45,00	19,00	3,00	23,20	53,50
Mimoriadne situácie							
	Náraz na obrubník	12,00	74,40	343,30	2,00	19,00	86,40
	Náraz do zvodidiel	11,2	74,5	338,5	1,9	19	84,2

## 12. MEDZNÉ STAVY POUŽÍVATEĽNOSTI

### 12.1 Kontrola napätí v predpínacej výstuži nosnej konštrukcie

Vopred predpínané: laná Ø Ls 15,7/1860		
Charakteristická pevnosť predpínacej ocele v ťahu	$f_{pk}$ [ MPa ]	1860
Charakteristická dohodnutá medza 0,1 % predpínacej ocele	$f_{p0,1k}$ [ MPa ]	1640
Návrhová hodnota napätia v predpínacej oceli	$f_{pd}$ [ MPa ]	1420

#### 12.1.1 Stredná hodnota napätia v predpínacích jednotkách

Podľa STN EN 1992-2, čl. 7.2 pri charakteristickej kombinácii zaťaženia stredná hodnota napätia v predpínacích jednotkách nemá prekročiť hodnotu  $k_5 \cdot f_{pk}$ , pričom  $k_5 = 0,75$ .

$$P_m = k_5 \cdot f_{pk}$$

$$P_m = 0,75 \cdot 1860 \text{ MPa}$$

$$P_m = 1395,0 \text{ MPa}$$

Kontrola napätí v predpínacej výstuži pri predpínaní, po vnesení predpätia a overenie strednej hodnoty napätia v predpínacích jednotkách sú uvedené v nasledujúcich tabuľkách.



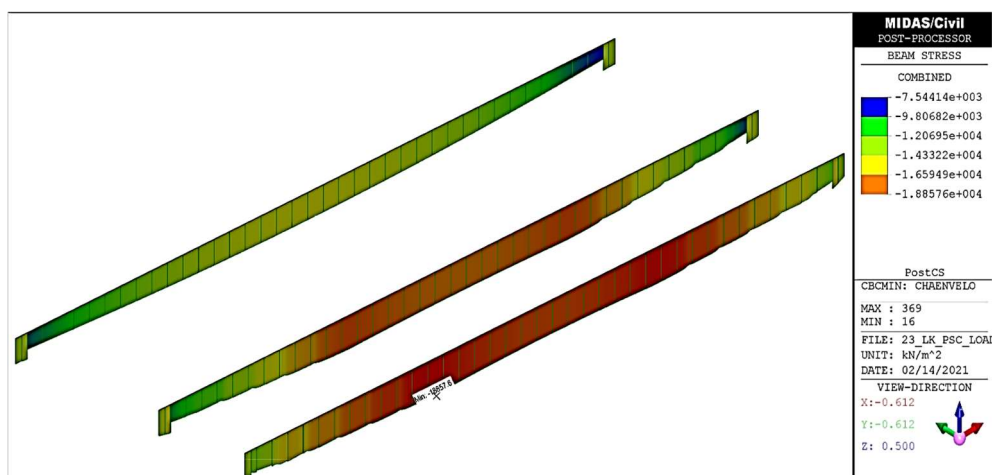
Nosník č.	Tendon	Tendon Stress			Tendon Stress Limit			$f_{p1} < P_{m0}$ (N/mm <sup>2</sup> )	$f_{p2} < P_{m0}$ (N/mm <sup>2</sup> )	$f_{pe} < P_m$ (N/mm <sup>2</sup> )
		$f_{p1}$ (N/mm <sup>2</sup> )	$f_{p2}$ (N/mm <sup>2</sup> )	$f_{pe}$ (N/mm <sup>2</sup> )	$P_{0,max}$ (N/mm <sup>2</sup> )	$P_{m0}$ (N/mm <sup>2</sup> )	$P_m$ (N/mm <sup>2</sup> )			
		Po vnesení napätia-kotva	Po vnesení napätia-kábel	Stredná hodnota napätia	$\min(0,8 \cdot f_{pk}; 0,9 \cdot f_{p0,1})$	$\min(0,75 \cdot f_{pk}; 0,85 \cdot f_{p0,1})$	$0,75 \cdot f_{pk}$			
17	01A1	-	-	1185,2767	-	-	1334,6577	-	-	VYHOVUJE
	01A2	-	-	1118,3488	-	-	1334,6577	-	-	VYHOVUJE
	01A3	-	-	1140,5183	-	-	1334,6577	-	-	VYHOVUJE
	01A4	-	-	1140,6282	-	-	1334,6577	-	-	VYHOVUJE
	01A5	-	-	1118,55	-	-	1334,6577	-	-	VYHOVUJE
	01A6	-	-	1187,3436	-	-	1334,6577	-	-	VYHOVUJE
	01B1	-	-	1189,3446	-	-	1334,6577	-	-	VYHOVUJE
	01B2	-	-	1108,805	-	-	1334,6577	-	-	VYHOVUJE
	01B3	-	-	1108,6385	-	-	1334,6577	-	-	VYHOVUJE
	01B4	-	-	1169,6756	-	-	1334,6577	-	-	VYHOVUJE
	01B5	-	-	1169,8657	-	-	1334,6577	-	-	VYHOVUJE
	01B6	-	-	1108,632	-	-	1334,6577	-	-	VYHOVUJE
	01B7	-	-	1108,7938	-	-	1334,6577	-	-	VYHOVUJE
	01B8	-	-	1192,1051	-	-	1334,6577	-	-	VYHOVUJE
	01C1	-	-	1258,2666	-	-	1334,6577	-	-	VYHOVUJE
	01C2	-	-	1258,4267	-	-	1334,6577	-	-	VYHOVUJE
	01D1	-	-	1194,0956	-	-	1334,6577	-	-	VYHOVUJE
	01D2	-	-	1195,3357	-	-	1334,6577	-	-	VYHOVUJE
14	04A1	-	-	1186,0206	-	-	1334,6577	-	-	VYHOVUJE
	04A2	-	-	1106,7454	-	-	1334,6577	-	-	VYHOVUJE
	04A3	-	-	1131,8123	-	-	1334,6577	-	-	VYHOVUJE
	04A4	-	-	1131,898	-	-	1334,6577	-	-	VYHOVUJE
	04A5	-	-	1107,0012	-	-	1334,6577	-	-	VYHOVUJE
	04A6	-	-	1186,0774	-	-	1334,6577	-	-	VYHOVUJE
	04B1	-	-	1190,1169	-	-	1334,6577	-	-	VYHOVUJE
	04B2	-	-	1094,349	-	-	1334,6577	-	-	VYHOVUJE
	04B3	-	-	1093,094	-	-	1334,6577	-	-	VYHOVUJE
	04B4	-	-	1164,9336	-	-	1334,6577	-	-	VYHOVUJE
	04B5	-	-	1165,001	-	-	1334,6577	-	-	VYHOVUJE
	04B6	-	-	1093,2663	-	-	1334,6577	-	-	VYHOVUJE
	04B7	-	-	1094,7531	-	-	1334,6577	-	-	VYHOVUJE
	04B8	-	-	1190,2576	-	-	1334,6577	-	-	VYHOVUJE
	04C1	-	-	1258,0803	-	-	1334,6577	-	-	VYHOVUJE
	04C2	-	-	1258,3488	-	-	1334,6577	-	-	VYHOVUJE
	04D1	-	-	1193,9235	-	-	1334,6577	-	-	VYHOVUJE
	04D2	-	-	1193,9562	-	-	1334,6577	-	-	VYHOVUJE

## 12.2 Kontrola tlakových napětí v betóne

Podľa STN EN 1992-2, čl. 7.2 pri charakteristickej kombinácii zaťažení nesmú tlakové napätia v betóne prekročiť hodnotu  $k_1 \cdot f_{ck}(t)$ , pričom  $k_1=0,6$ .

$$|\min. \sigma_{h,d}| < k_1 \cdot f_{ck}(t)$$

### 12.2.1 Kontrola tlakových napětí v betóne – nosník



Obr. 27 Obálka minimálnych tlakových napätí v nosníku od charakteristických kombinácií zaťažení

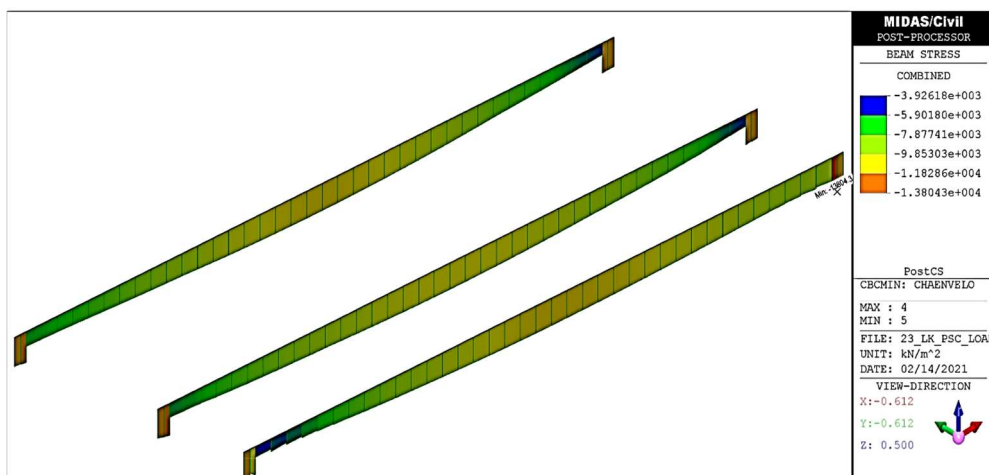
$$|min. \sigma_{h,d}| < k_1 \cdot f_{ck}(t)$$

$$|min. \sigma_{h,d}| < 0,650 MPa$$

$$|-18,857| < 30,0 MPa$$

VYHOVUJE

### 12.2.2 Kontrola tlakových napětí v betóne – spriahajúca doska



Obr. 28 Obálka minimálnych tlakových napätí v doske od charakteristických kombinácií zaťaženia

$$|min. \sigma_{h,d}| < k_1 \cdot f_{ck}(t)$$

$$|min. \sigma_{h,d}| < 0,635 MPa$$

$$|-13,804| < 21,0 MPa$$

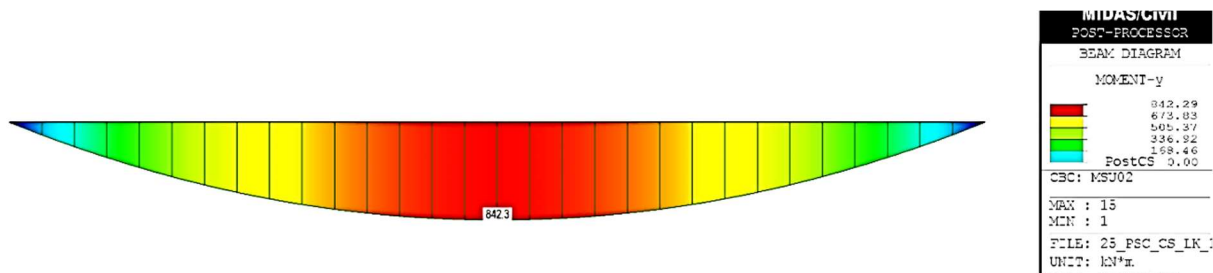
VYHOVUJE

## 13. MEDZNÉ STAVY ÚNOSNOSTI

$M_{Rd} = 1942,21 \text{ kNm}$	$M_{Rd} = 3497,00 \text{ kNm}$
$V_{Rd} = 521,33 \text{ kN}$	$V_{Rd} = 637,18 \text{ kN}$

## 13.1 Štádium výstavby

Uvažované štádium zohľadňuje zaťaženie pri výstavbe (vlastná tiaž, mokrý betón a podobne)

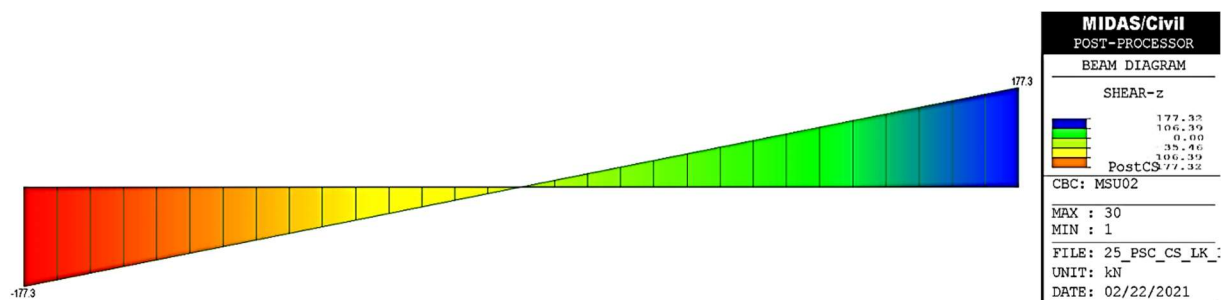


Obr. 29 Obálka ohybových momentov pri výstavbe (kNm)

$$M_{Ed} \leq M_{Rd}$$

$$842,3 \text{ kNm} \leq 1942,21 \text{ kNm}$$

**VYHOVUJE**



Obr. 30 Obálka posúvajúcich síl pri výstavbe (kN)

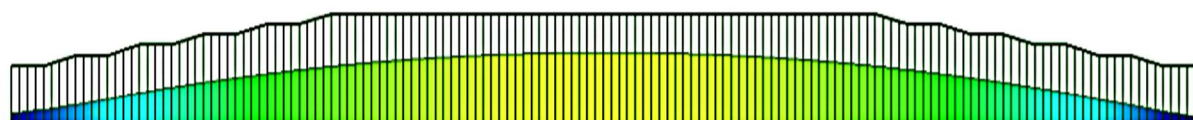
$$V_{Ed} \leq V_{Rd}$$

$$177,3 \text{ kNm} \leq 521,33 \text{ kNm}$$

**VYHOVUJE**

## 13.2 Koniec životnosti

### 13.2.1 Ohybový moment



Obr. 31 Obálka ohybových momentov od msu kombinácie zaťaženi a obálka únosnosti

$$M_{Ed} \leq M_{Rd}$$

$$2256 \text{ kNm} \leq 3497 \text{ kNm}$$

**VYHOVUJE**

### 13.2.2 Posúvajúca sila



$$V_{Ed} \leq V_{Rd}$$

$$498 \text{ kNm} \leq 637 \text{ kNm}$$

**VYHOVUJE**

### 13.2.3 Krútenie



Obr. 32 Obálka torzných momentov a obálka torznej únosnosti

$$T_{Ed} \leq T_{Rd}$$

$$77 \text{ kNm} \leq 701 \text{ kNm}$$

**VYHOVUJE**

### 13.2.4 Krútenie a posúvajúca sila



Obr. 33 Obálka kombinácie torzných momentov a posúvajúcich síl a obálka torznej únosnosti

$$T_{Ed} \leq T_{Rd}$$

$$86 \text{ kNm} \leq 749 \text{ kNm}$$

**VYHOVUJE**

## 14. STANOVENIE ZAŤAŽITEĽNOSTI

		MEd			VEd		
		/max./	/max./	/max./	/max./	/max./	/max./
		(kNm)	(kNm)	(kNm)	(kN)	(kN)	(kN)
MSU	MSU 6.10b/01	2271,11	2541,82	2608,32	452,47	532,89	440,11
	MSU 6.10a/01	2267,50	2775,10	2884,90	557,57	678,02	539,85
	MSU 6.10a/02	1660,54	2088,76	2332,62	415,42	539,64	429,96
	MSU 6.10a/03	2449,35	2068,24	2099,47	658,55	391,41	404,85
	MSU 6.10a/04	1573,74	1890,45	2112,70	384,10	342,68	395,94
	<b>MSU  max. </b>	<b>2449,35</b>	<b>2775,10</b>	<b>2884,90</b>	<b>658,55</b>	<b>678,02</b>	<b>539,85</b>
	<b>MGd</b>	<b>1256,67</b>	<b>1603,62</b>	<b>1884,87</b>	<b>164,57</b>	<b>187,38</b>	<b>259,56</b>

MSP	Charakteristická 01	1678,50	2045,40	2122,65	292,90	436,50	354,20
	Charakteristická 02	1228,90	1537,00	1713,55	187,60	334,00	272,80
	Charakteristická 03	1813,20	1277,90	1540,85	367,70	224,20	254,20
	Charakteristická 04	1164,60	1390,10	1550,65	164,40	188,10	247,60
	<b>Charakteristická  max. </b>	<b>1813,20</b>	<b>2045,40</b>	<b>2122,65</b>	<b>367,70</b>	<b>436,50</b>	<b>354,20</b>

MSP	Častá 01	1380,20	1750,00	1871,00	393,30	422,60	334,50
	<b>Častá  max. </b>	<b>1380,2</b>	<b>1750</b>	<b>1871</b>	<b>393,3</b>	<b>422,6</b>	<b>334,5</b>
	Kvází - stála 01	919,50	1194,70	1411,20	283,6	223,9	245,6
	<b>Kvází - stála  max. </b>	<b>919,50</b>	<b>1194,70</b>	<b>1411,20</b>	<b>283,6</b>	<b>223,9</b>	<b>245,6</b>

Mimoriadna návrhová		MEd			VEd		
		No. 9	No. 14	No. 17	No. 9	No. 14	No. 17
		(kNm)	(kNm)	(kNm)	(kN)	(kN)	(kN)
	Mimoriadna 01	1598,60	2028,70	2405,90	438,50	484,50	463,90
	Mimoriadna 02	1597,80	2028,80	2401,10	438,40	484,50	461,70
	<b>Mimoriadna  max. </b>	<b>1598,60</b>	<b>2028,80</b>	<b>2405,90</b>	<b>438,50</b>	<b>484,50</b>	<b>463,90</b>

### 14.1 Normálna zaťažiteľnosť

Zaťažiteľnosť stanovená z ohybovej odolnosti

$$W_{n,rep} = 320 \text{ kN}$$

$$F_z = \frac{(M_{Rd} - M_{Gd})}{M_{EdWn}} = 1,67$$

$$W_n = F_z \cdot W_{n,rep} = 535,1 \text{ kN} \quad \mathbf{v_n = 53 \text{ t}}$$

Zaťažiteľnosť stanovená zo šmykovej odolnosti

$$W_{n,rep} = 320 \text{ kN}$$

$$F_z = \frac{(V_{Rd} - V_{Gd})}{V_{EdWn}} = 1,16$$

$$W_n = F_z \cdot W_{n,rep} = 371,0 \text{ kN} \quad \mathbf{v_n = 37 \text{ t}}$$

#### 14.1.1 Výhradná zaťažiteľnosť

Zaťažiteľnosť stanovená z ohybovej odolnosti

$$W_{r,rep} = 900 \text{ kN}$$

$$W_{r1} = \frac{W_{r,rep}}{\varphi} = 661,76 \text{ kN}$$

$$K_{z,r} = \frac{(M_{Rd} - M_{Gd})}{M_{EdWr}} = 2,19$$

$$W_r = K_{z,r} \cdot W_{r1} = 1449,0 \text{ kN} \quad \mathbf{v_n = 145 \text{ t}}$$

*Zaťažiteľnosť stanovená zo šmykovej odolnosti*

$$W_{r,rep} = 900 \text{ kN}$$

$$W_{r1} = \frac{W_{r,rep}}{\varphi} = 661,76 \text{ kN}$$

$$K_{z,r} = \frac{(V_{Rd} - V_{Gd})}{V_{EdWr}} = 2,01$$

$$W_r = K_{z,r} \cdot W_{r1} = 1330,9 \text{ kN} \quad \mathbf{v_n = 133 \text{ t}}$$

#### 14.1.2 Výnimočná zaťažiteľnosť

*Zaťažiteľnosť stanovená z ohybovej odolnosti*

$$W_{e,rep} = 3000 \text{ kN}$$

$$W_{e1} = W_{e,rep} = 3000 \text{ kN}$$

$$K_{z,e} = \frac{(M_{Rd} - M_{Gd})}{M_{EdWe}} = 1,96$$

$$W_r = K_{z,e} \cdot W_{e1} = 5888,2 \text{ kN} \quad \mathbf{v_n = 588 \text{ t}}$$

*Zaťažiteľnosť stanovená zo šmykovej odolnosti*

$$W_{e,rep} = 3000 \text{ kN}$$

$$W_{e1} = W_{e,rep} = 3000 \text{ kN}$$

$$K_{z,e} = \frac{(V_{Rd} - V_{Gd})}{V_{EdWe}} = 1,43$$

$$W_r = K_{z,e} \cdot W_{e1} = 4293,9 \text{ kN} \quad \mathbf{v_n = 429 \text{ t}}$$

Zaťažiteľnosť	MEd			VEd			min.]
	No. 9	No. 14	No. 17	No. 9	No. 14	No. 17	
	(kNm)	(kNm)	(kNm)	(kN)	(kN)	(kN)	(t)
RRd Únosnosť prierezov	3497,00	3497,00	3497,00	637,00	637,00	637,00	
RGd	1256,67	1603,62	1884,87	164,57	187,38	259,56	
MEdWn	959,58	1130,76	964,04	229,10	387,86	186,44	
Fz	2,33	1,67	1,67	2,06	1,16	2,02	
<b>Wn / Normálna zaťažiteľnosť</b>	74,71	53,58	53,51	65,99	37,10	64,78	<b>37</b>



MEdWr	562,01	617,22	736,29	162,95	223,56	167,00	
Kz,r	3,99	3,07	2,19	2,90	2,01	2,26	
Wr,1	661,76	661,76	661,76	661,76	661,76	661,76	
φ	1,36	1,36	1,36	1,36	1,36	1,36	
<b>Wr / Výhradná zaťažiteľnosť</b>	263,80	203,00	144,90	191,87	133,09	149,57	<b>133</b>

Me,rep	1141,43	423,90	178,61	330,08	101,25	51,44	
Kz,e	1,96	4,47	9,03	1,43	4,44	7,34	
<b>We / Výnimočná zaťažiteľnosť</b>	588,82	1339,97	2707,87	429,39	1332,21	2201,46	<b>429</b>

## 14.2 Posúdenie na únavu

Posúdenie na únavu sa vyhotovilo na prierez po rekonštrukcii

### 14.2.1 Medzipodperový prierez

$$k_1 = 0,85$$

$$\beta_{cc} = 1,272$$

$$f_{cd,fat} = k_1 \cdot \beta_{cc}(t_0) \cdot f_{cd} \cdot \left(1 - \frac{f_{ck}}{250}\right)$$

$$\sigma_{c,max} = \frac{M_{ed}}{I_{ir}} \cdot y$$

$$\sigma_{c,min} = \frac{M_{g,s}}{I_{ir}} \cdot y$$

$$\frac{\sigma_{c,max}}{f_{cd,fat}} \leq 0,5 + 0,45 \frac{\sigma_{c,min}}{f_{cd,fat}}; \leq 0,9 \text{ pre } f_{ck} \leq 50 \text{ MPa}$$

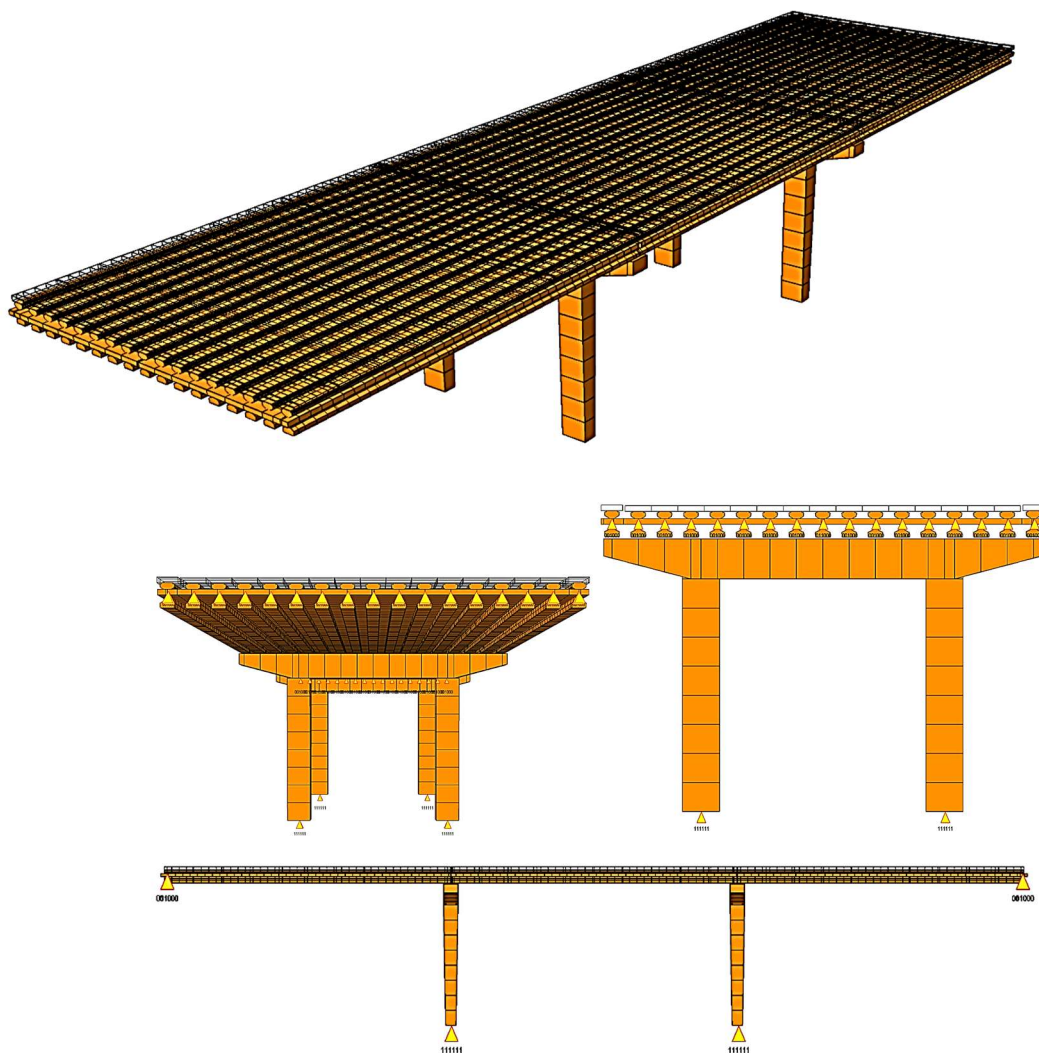
Nosník 17	k1	Bcc	fck (MPa)	fcd (MPa)	fcd,fat (MPa)	σc,max (MPa)	σc,min (MPa)	σc,max / fcd,fat	≤	0,5+0,45.(σc,min / fcd,fat)	≤	0,9	
Doska	0,85	1,275	35	19,83	18,482	7,036	5,538	0,3807	≤	0,6348	≤	0,9	VYHOVUJE
Nosník	0,85	1,214	50	28,33	23,387	4,253	3,378	0,1819	≤	0,5650	≤	0,9	VYHOVUJE

**VYHOVUJE**

## 15. POSÚDENIE SPODNEJ STAVBY

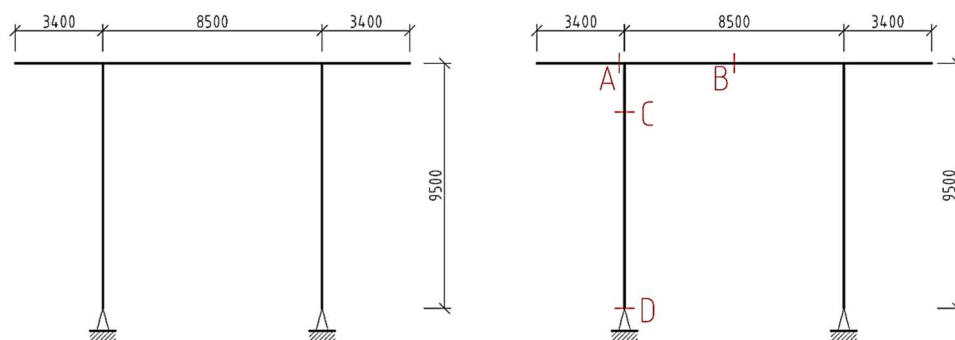
### 15.1 Model spodnej stavby

Model spodnej stavby mosta bol vyhotovený na základe diagnostiky mosta. Z dôvodu opakovateľnosti polí boli namodelované len tri polia so spodnou stavbou.



Obr. 34 Model spodnej stavby mosta

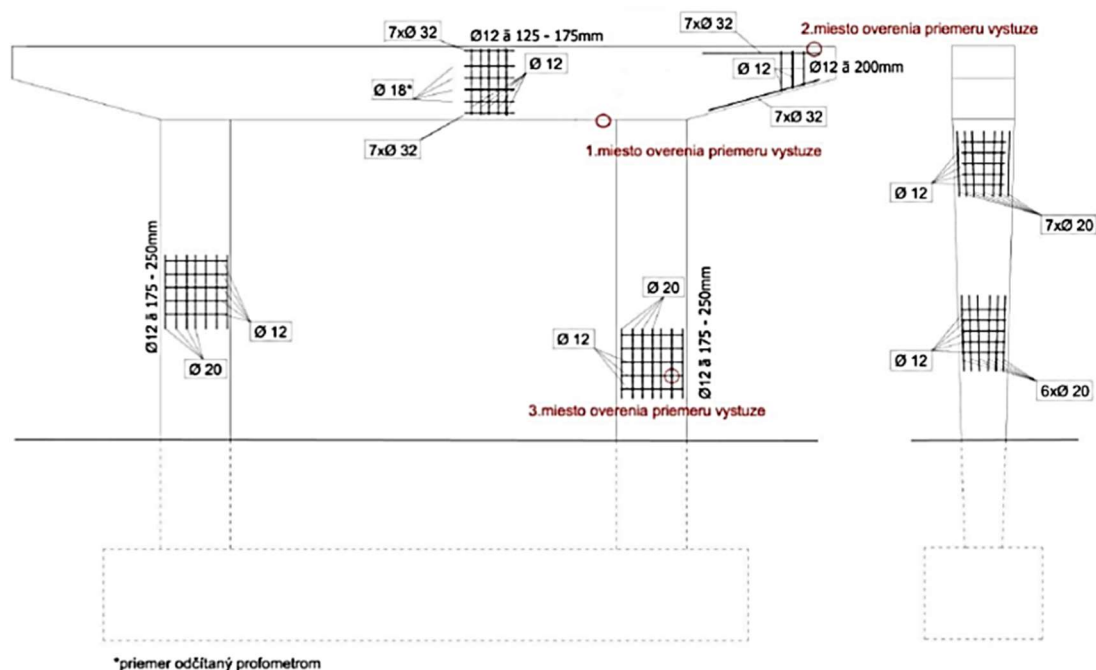
### 15.2 Statická schéma



Obr. 35 Statická schéma spodnej stavby a sledované rezy

### 15.3 Diagnostika spodnej stavby

Diagnostiku spodnej stavby mosta bola vyhotovená Centrom výskumu a inovácií v stavebníctve na Stavebnej fakulte Technickej univerzity v Košiciach.

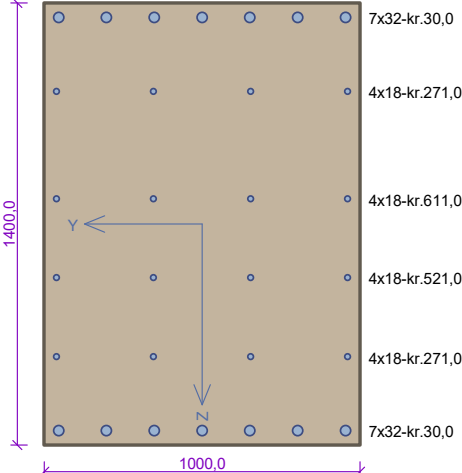


Obr. 36 Výstup z diagnostiky spodnej stavby mosta

## 15.4 Posúdenie spodnej stavby

### 15.4.1 Rez: A-A

**A-A**



Typ prvku: nosník  
 Prostředí: XC1, XD1, XF1

**Beton: C 30/37**  
 $f_{ck} = 30,0 \text{ MPa}$ ;  $f_{ctm} = 2,9 \text{ MPa}$ ;  $E_{cm} = 33000 \text{ MPa}$

**Ocel podélná: B500B** ( $f_{yk} = 500,0 \text{ MPa}$ ;  $E_s = 200000 \text{ MPa}$ )

**Ocel příčná: B500** ( $f_{yk} = 500,0 \text{ MPa}$ ;  $E_s = 200000 \text{ MPa}$ )

**Vzpěr**  
 Vzpěr není uvažován

S tlačnou výztuží je počítáno.

**Obvodové třmínky**  
 Profil: 12 mm; Vzdálenost: 150,0 mm

**Spony, vnitřní třmínky svislé**  
 Profil: 12 mm; Vzdálenost: 150,0 mm; Střihy: 2

#### Posouzení min. a max. stupně výztužení

Nosník (tažená výztuž - minimum, celková výztuž - maximum):

$$\rho_{s,t} = 0,00615 \geq \rho_{s,min} = 0,00151 \Rightarrow \text{Vyhovuje}$$

$$\rho_s = 0,011 \leq \rho_{s,max} = 0,04 \Rightarrow \text{Vyhovuje}$$

#### Stupeň výztužení smykovou výztuží

$$\rho_{w,min} = 0,000876 \leq \rho_w = 0,00302 \Rightarrow \text{Vyhovuje}$$

Maximální vzdálenost třmínků

$$s_{l,max} = 400,0 \text{ mm} \Rightarrow \text{Vyhovuje}$$

Maximální vzdálenost větví třmínků

$$s_{t,max} = 600,0 \text{ mm}$$

#### Posouzení mezního stavu únosnosti

č.	Název	$N_{Ed}$ $N_{Rd}$ [kN]	$M_{Edy}$ $M_{Rdy}$ [kNm]	$M_{Edz}$ $M_{Rdz}$ [kNm]	$V_{Edz}$ $V_{Rdz}$ [kN]	$V_{Edy}$ $V_{Rdy}$ [kN]	Využití [%]	Posouzení
1	msu01	0,00	-3731,60	0,00	2552,00	0,00	83,4	Vyhovuje
		0,00	-4476,35	0,00	3789,39	0,00		

Mezní stav únosnosti **VYHOVUJE - 83,4 %**

#### Posouzení mezního stavu použitelnosti

##### Mezní stav omezení napětí

č.	Název	$N_{Ed}$ [kN]	$M_{Edy}$ [kNm]	$M_{Edz}$ [kNm]	$\sigma_c$ [MPa]	$\sigma_{s,max}$ [MPa]	$\sigma_{s,min}$ [MPa]	Využití [%]	Posouzení
1	cha	0,00	-2764,00	0,00	14,02	328,78	70,91	82,2	Vyhovuje
Limitní hodnoty $k_1 \times f_{ck} / k_3 \times f_{yk}$					18,00	400,00			

##### Mezní stav omezení šířky trhlin

č.	Název	$N_{Ed}$ [kN]	$M_{Edy}$ [kNm]	$M_{Edz}$ [kNm]	$\Delta\epsilon$ [-]	$s_{r,max}$ [m]	w [mm]	Využití [%]	Posouzení
1	kvazi-stala	0,00	-1398,60	0,00	$586 \cdot 10^{-6}$	0,251	0,147	49,0	Vyhovuje
Maximální povolená šířka $w_{max}$							0,300		

Mezní stav použitelnosti **VYHOVUJE - 82,2 %**

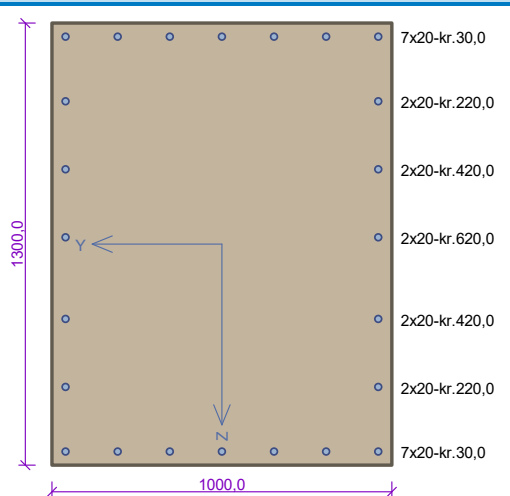
Využití: 83,4 %

**83,4 % VYHOVUJE**



### 15.4.3 Rez: C-C

**C-C**



Typ prvku: sloup  
 Prostředí: XC1, XD1, XF1

**Beton: C 30/37**  
 $f_{ck} = 30,0 \text{ MPa}$ ;  $f_{ctm} = 2,9 \text{ MPa}$ ;  $E_{cm} = 33000 \text{ MPa}$

**Ocel podélná: B500B** ( $f_{yk} = 500,0 \text{ MPa}$ ;  $E_s = 200000 \text{ MPa}$ )  
**Ocel příčná: B500** ( $f_{yk} = 500,0 \text{ MPa}$ ;  $E_s = 200000 \text{ MPa}$ )

**Vzpěr**  
 Vzpěr není uvažován  
 S tlačnou výztuží je počítáno.

**Obvodové třmínky**  
 Profil: 12 mm; Vzdálenost: 150,0 mm

**Spony, vnitřní třmínky svislé**  
 Profil: 12 mm; Vzdálenost: 150,0 mm; Střihy: 2

**Posouzení min. a max. stupně vyztužení**

Sloup (celková výztuž):  
 $\rho_s = 0,0058 \geq \rho_{s,min} = 0,002 \Rightarrow$  **Vyhovuje**  
 $\rho_s = 0,0058 \leq \rho_{s,max} = 0,04 \Rightarrow$  **Vyhovuje**

**Posouzení konstrukčních zásad třmínků**

Minimální průměr třmínků  $d = 6 \text{ mm} \Rightarrow$  **Vyhovuje**  
 Maximální vzdálenost třmínků  $s_{cl,max} = 300,0 \text{ mm} \Rightarrow$  **Vyhovuje**

**Posouzení mezního stavu únosnosti**

č.	Název	$N_{Ed}$ $N_{Rd}$ [kN]	$M_{Edy}$ $M_{Rdy}$ [kNm]	$M_{Edz}$ $M_{Rdz}$ [kNm]	$V_{Edz}$ $V_{Rdz}$ [kN]	$V_{Edy}$ $V_{Rdy}$ [kN]	Využití [%]	Posouzení
1	msu01	0,00	-1082,00	309,00	118,00	0,00	56,0	Vyhovuje
		0,00	-1931,32	551,55	3523,63	0,00		

**Mezní stav únosnosti VYHOVUJE - 56,0 %**

**Posouzení mezního stavu použitelnosti**

**Mezní stav omezení napětí**

č.	Název	$N_{Ed}$ [kN]	$M_{Edy}$ [kNm]	$M_{Edz}$ [kNm]	$\sigma_c$ [MPa]	$\sigma_{s,max}$ [MPa]	$\sigma_{s,min}$ [MPa]	Využití [%]	Posouzení
1	cha	0,00	-801,40	229,40	11,50	249,21	58,98	63,9	Vyhovuje
Limitní hodnoty $k_1 \times f_{ck} / k_3 \times f_{yk}$					18,00	400,00			

**Mezní stav omezení šířky trhlin**

č.	Název	$N_{Ed}$ [kN]	$M_{Edy}$ [kNm]	$M_{Edz}$ [kNm]	$\Delta\epsilon$ [-]	$s_{r,max}$ [m]	$w$ [mm]	Využití [%]	Posouzení
1	kvazi-stala	0,00	158,90	20,40	$122 \cdot 10^{-6}$	0,601	0,073	24,4	Vyhovuje
Maximální povolená šířka $w_{max}$							0,300		

**Mezní stav použitelnosti VYHOVUJE - 63,9 %**

Využití: 63,9 %

**63,9 % VYHOVUJE**



## 15.4.4 Rez: D-D

**D-D**

Typ prvku: sloup  
 Prostor: XC1, XD1, XF1

**Beton: C 30/37**  
 $f_{ck} = 30,0 \text{ MPa}$ ;  $f_{ctm} = 2,9 \text{ MPa}$ ;  $E_{cm} = 33000 \text{ MPa}$

**Ocel podélná: B500B** ( $f_{yk} = 500,0 \text{ MPa}$ ;  $E_s = 200000 \text{ MPa}$ )  
**Ocel příčná: B500** ( $f_{yk} = 500,0 \text{ MPa}$ ;  $E_s = 200000 \text{ MPa}$ )

**Vzpěr**  
 Vzpěrná délka kolmo na osu Y:  $l_{ef,y} = 8,00 \times 0,50 = 4,00 \text{ m}$   
 Vzpěrná délka kolmo na osu Z:  $l_{ef,z} = 8,00 \times 0,50 = 4,00 \text{ m}$

S tlačnou výztuží je počítáno.

**Obvodové třmínky**  
 Profil: 12 mm; Vzdálenost: 150,0 mm

**Spony, vnitřní třmínky svislé**  
 Profil: 12 mm; Vzdálenost: 150,0 mm; Střihy: 2

**Posouzení min. a max. stupně vyztužení**

Sloup (celková výztuž):  
 $\rho_s = 0,0076 \geq \rho_{s,min} = 0,002 \Rightarrow$  **Vyhovuje**  
 $\rho_s = 0,0076 \leq \rho_{s,max} = 0,04 \Rightarrow$  **Vyhovuje**

**Posouzení konstrukčních zásad třmínků**

Minimální průměr třmínků  $d = 6 \text{ mm} \Rightarrow$  **Vyhovuje**  
 Maximální vzdálenost třmínků  $s_{cl,max} = 300,0 \text{ mm} \Rightarrow$  **Vyhovuje**

**Posouzení mezního stavu únosnosti**

č.	Název	$N_{Ed}$ $N_{Rd}$ [kN]	$M_{Edy}$ $M_{Rdy}$ [kNm]	$M_{Edz}$ $M_{Rdz}$ [kNm]	$V_{Edz}$ $V_{Rdz}$ [kN]	$V_{Edy}$ $V_{Rdy}$ [kN]	$T_{Ed}$ $T_{Rd}$ [kNm]	Využití [%]	Posouzení
1	msu01	-6893,00 -18234,60	408,30 → 530,54 3021,79	211,90 → 130,12 743,21	183,00 2199,61	37,00 444,73	17,00 51,91	37,8	Vyhovuje

**Mezní stav únosnosti VYHOVUJE - 37,8 %**

**Posouzení mezního stavu použitelnosti**

**Mezní stav omezení napětí**

č.	Název	$N_{Ed}$ [kN]	$M_{Edy}$ [kNm]	$M_{Edz}$ [kNm]	$\sigma_c$ [MPa]	$\sigma_{s,max}$ [MPa]	$\sigma_{s,min}$ [MPa]	Využití [%]	Posouzení
1	cha	-5106,00	302,00 → 374,21	158,00 → 230,21	9,13	-11,71	53,31	50,7	Vyhovuje
Limitní hodnoty $k_1 \times f_{ck} / k_3 \times f_{yk}$					18,00	400,00			

**Mezní stav omezení šířky trhlin**

č.	Název	$N_{Ed}$ [kN]	$M_{Edy}$ [kNm]	$M_{Edz}$ [kNm]	$\Delta\epsilon$ [-]	$s_{r,max}$ [mm]	$w$ [mm]	Využití [%]	Posouzení
1	kvazi-stala	-3187,40	74,80 → 134,96	25,90 → 46,98	-	-	0,000	0,0	Vyhovuje
Maximální povolená šířka $w_{max}$							0,300		

**Mezní stav použitelnosti VYHOVUJE - 50,7 %**

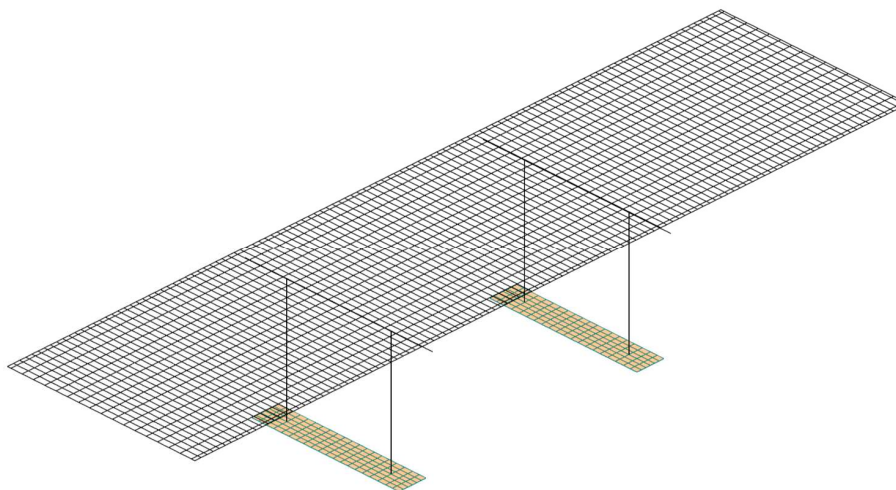
Využití: 50,7 %

**50,7 % VYHOVUJE**

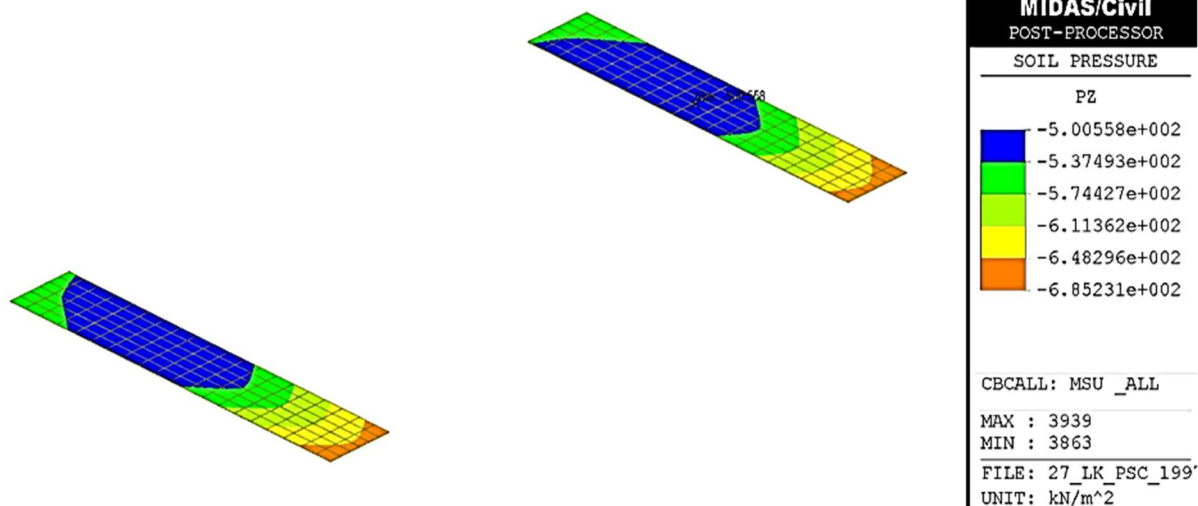
## 16. POSÚDENIE ZAKLADANIA MOSTA

V posúdení sa vychádzalo z predpokladu, že most je uložený plošne. Pre posúdenie základania mosta sa vyhotovil priestorový model v programe Midas civil spolu so spodnou stavbou uloženou na podloží. Posúdenie základania mosta sa posúdilo aj programe Geo 5. Z programu Geo 5 vyplynuli priaznivejšie účinky a preto je spomenutý vo výpočte iba nepriaznivejší stav z modelu v programe Midas civil.

Kombinácie zaťaženia boli vyhotovené v zmysle STN EN 1997.



Obr. 37 Model mosta spolu so základaním



Obr. 38 Obálka maximálnych kontaktných napätí v základovej škále od účinkov kombinácií vytvorených v zmysle STN EN 1997

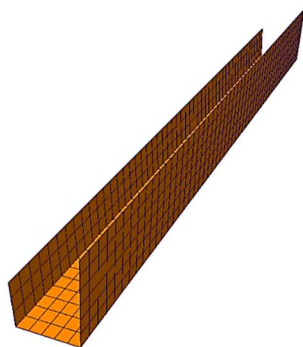
$$\sigma_{Ed,soil} \leq \sigma_{Rd,soil}$$

$$685,2 \text{ kPa} \leq 700,0 \text{ kPa}$$

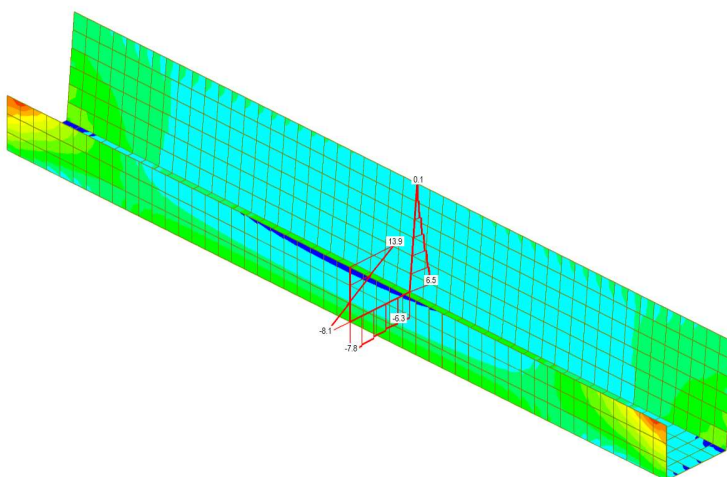
**VYHOVUJE**

## 17. POSÚDENIE ODVODŇUJÚCEHO ŽĽABU

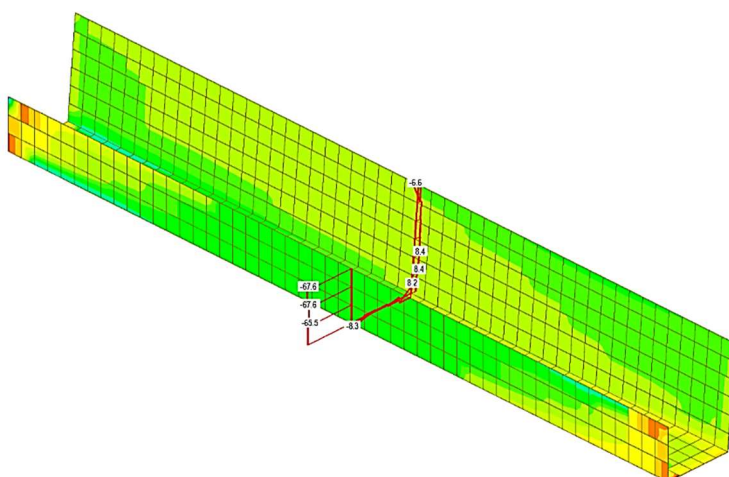
Pri návrhu žľabu bolo uvažovaný teplotný rozdiel medzi žľabom a spriahajúcou doskou 15°C.



Obr. 39 Doskový priestorový model žľabu

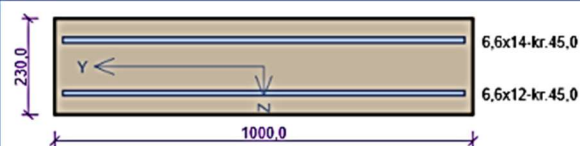


Obr. 40 Obálka ohybových momentov my od kombinácie zat'azení msu (kNm)



Obr. 41 Obálka posúvajúcich síl V<sub>yy</sub> od kombinácie zat'azení msu (kN/bm)

### spoj-doska-žlab



Typ prvku: nosník  
 Prostředí: XC3, XD1, XF2  
**Beton: C 30/37**  
 $f_{ck} = 30,0 \text{ MPa}$ ;  $f_{ctm} = 2,9 \text{ MPa}$ ;  $E_{cm} = 33000 \text{ MPa}$   
**Ocel podélná: B500B** ( $f_{yk} = 500,0 \text{ MPa}$ ;  $E_s = 200000 \text{ MPa}$ )  
**Ocel příčná: B500** ( $f_{yk} = 500,0 \text{ MPa}$ ;  $E_s = 200000 \text{ MPa}$ )  
**Vzpěr**  
 Vzpěr není uvažován  
 S tlačnou výztuží je počítáno.  
**Spony, vnitřní třmínky svislé**  
 Profil: 10 mm; Vzdálenost: 125,0 mm; Střihy: 3

### Posouzení min. a max. stupně výztužení

Nosník (tažená výztuž - minimum, celková výztuž - maximum):

$\rho_{s,t} = 0,00525 \geq \rho_{s,min} = 0,00151 \Rightarrow \text{Vyhovuje}$

$\rho_s = 0,00766 \leq \rho_{s,max} = 0,04 \Rightarrow \text{Vyhovuje}$

### Stupeň výztužení smykovou výztuží

$\rho_{w,min} = 0,000876 \leq \rho_w = 0,00188 \Rightarrow \text{Vyhovuje}$

Maximální vzdálenost třmínků  $s_{t,max} = 134,2 \text{ mm} \Rightarrow \text{Vyhovuje}$

Maximální vzdálenost větví třmínků  $s_{t,max} = 134,2 \text{ mm}$

### Posouzení mezního stavu únosnosti

č.	Název	$N_{Ed}$ $N_{Rd}$ [kN]	$M_{Edy}$ $M_{Rdy}$ [kNm]	$M_{Edz}$ $M_{Rdz}$ [kNm]	$V_{Edz}$ $V_{Rdz}$ [kN]	$V_{Edy}$ $V_{Rdy}$ [kN]	Posouzení
1	msu01	67,60 821,17	13,90 56,39	2,30 9,03	57,00 334,28	0,00 0,00	Vyhovuje

Mezní stav únosnosti VYHOVUJE

### Posouzení mezního stavu použitelnosti

#### Mezní stav omezení napětí

č.	Název	$N_{Ed}$ [kN]	$M_{Edy}$ [kNm]	$M_{Edz}$ [kNm]	$\sigma_c$ [MPa]	$\sigma_{s,max}$ [MPa]	$\sigma_{s,min}$ [MPa]	Posouzení
1	Zat. případ 2	74,50	17,20	2,90	6,71	191,26	-25,56	Vyhovuje
Limitní hodnoty $k_1 \times f_{ck} / k_3 \times f_{yk}$					18,00	400,00		

#### Mezní stav omezení šířky trhlin

č.	Název	$N_{Ed}$ [kN]	$M_{Edy}$ [kNm]	$M_{Edz}$ [kNm]	$\Delta\varepsilon$ [-]	$s_{r,max}$ [m]	$w$ [mm]	Posouzení
1	Zat. případ 3	74,50	17,30	2,90	$569 \cdot 10^{-6}$	0,491	0,277	Vyhovuje
Maximální povolená šířka $w_{max}$							0,300	

Mezní stav použitelnosti VYHOVUJE

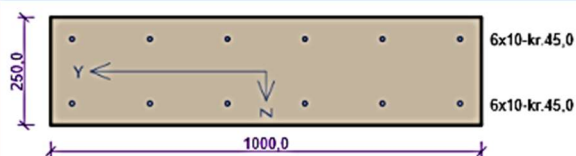
VYHOVUJE

1

Dno žlábu																																																																													
	<p>6x10-kr.45,0</p> <p>6x10-kr.45,0</p> <p>1000,0</p> <p>250,0</p>	<p>Typ prvku: nosník                      Prostředí: XC3, XD1, XF2</p> <p><b>Beton: C 30/37</b>  <math>f_{ck} = 30,0 \text{ MPa}</math>; <math>f_{ctm} = 2,9 \text{ MPa}</math>; <math>E_{cm} = 33000 \text{ MPa}</math></p> <p><b>Ocel podélná: B500B</b> (<math>f_{yk} = 500,0 \text{ MPa}</math>; <math>E_s = 200000 \text{ MPa}</math>)</p> <p><b>Ocel příčná: B500</b> (<math>f_{yk} = 500,0 \text{ MPa}</math>; <math>E_s = 200000 \text{ MPa}</math>)</p> <p><b>Vzpěr</b>                      Vzpěr není uvažován                      S tlačnou výztuží je počítáno.</p> <p><b>Spony, vnitřní třmínky svislé</b>                      Profil: 10 mm; Vzdálenost: 150,0 mm; Střihy: 6</p>																																																																											
<p><b>Posouzení min. a max. stupně vyztužení</b></p> <p>Nosník (tažená výztuž - minimum, celková výztuž - maximum):</p> <p><math>\rho_{s,l} = 0,00343 \geq \rho_{s,min} = 0,00151 \Rightarrow</math> <b>Vyhovuje</b></p> <p><math>\rho_s = 0,00377 \leq \rho_{s,max} = 0,04 \Rightarrow</math> <b>Vyhovuje</b></p> <p><b>Stupeň vyztužení smykovou výztuží</b></p> <p><math>\rho_{w,min} = 0,000876 \leq \rho_w = 0,00314 \Rightarrow</math> <b>Vyhovuje</b></p> <p>Maximální vzdálenost třmínků <math>s_{l,max} = 150,0 \text{ mm} \Rightarrow</math> <b>Vyhovuje</b></p> <p>Maximální vzdálenost větví třmínků <math>s_{t,max} = 150,0 \text{ mm}</math></p> <p><b>Posouzení mezního stavu únosnosti</b></p> <table border="1" style="width: 100%; border-collapse: collapse; text-align: center;"> <thead> <tr style="background-color: #e6f2ff;"> <th>č.</th> <th>Název</th> <th><math>N_{Ed}</math> <math>N_{Rd}</math> [kN]</th> <th><math>M_{Edy}</math> <math>M_{Rdy}</math> [kNm]</th> <th><math>M_{Edz}</math> <math>M_{Rdz}</math> [kNm]</th> <th><math>V_{Edz}</math> <math>V_{Rdz}</math> [kN]</th> <th><math>V_{Edy}</math> <math>V_{Rdy}</math> [kN]</th> <th>Posouzení</th> </tr> </thead> <tbody> <tr> <td>1</td> <td>msu01</td> <td>61,00 439,13</td> <td>7,80 40,31</td> <td>4,50 23,25</td> <td>8,20 609,94</td> <td>0,00 0,00</td> <td>Vyhovuje</td> </tr> </tbody> </table> <p><b>Mezní stav únosnosti VYHOVUJE</b></p> <p><b>Posouzení mezního stavu použitelnosti</b></p> <p><b>Mezní stav omezení napětí</b></p> <table border="1" style="width: 100%; border-collapse: collapse; text-align: center;"> <thead> <tr style="background-color: #e6f2ff;"> <th>č.</th> <th>Název</th> <th><math>N_{Ed}</math> [kN]</th> <th><math>M_{Edy}</math> [kNm]</th> <th><math>M_{Edz}</math> [kNm]</th> <th><math>\sigma_c</math> [MPa]</th> <th><math>\sigma_{s,max}</math> [MPa]</th> <th><math>\sigma_{s,min}</math> [MPa]</th> <th>Posouzení</th> </tr> </thead> <tbody> <tr> <td>1</td> <td>Zat. případ 2</td> <td>67,60</td> <td>7,10</td> <td>4,90</td> <td>3,63</td> <td>166,17</td> <td>-22,12</td> <td>Vyhovuje</td> </tr> <tr> <td colspan="5">Limitní hodnoty <math>k_1 \times f_{ck} / k_3 \times f_{yk}</math></td> <td>18,00</td> <td>400,00</td> <td></td> <td></td> </tr> </tbody> </table> <p><b>Mezní stav omezení šířky trhlin</b></p> <table border="1" style="width: 100%; border-collapse: collapse; text-align: center;"> <thead> <tr style="background-color: #e6f2ff;"> <th>č.</th> <th>Název</th> <th><math>N_{Ed}</math> [kN]</th> <th><math>M_{Edy}</math> [kNm]</th> <th><math>M_{Edz}</math> [kNm]</th> <th><math>\Delta \epsilon</math> [-]</th> <th><math>s_{r,max}</math> [m]</th> <th><math>w</math> [mm]</th> <th>Posouzení</th> </tr> </thead> <tbody> <tr> <td>1</td> <td>Zat. případ 3</td> <td>67,60</td> <td>7,00</td> <td>4,90</td> <td><math>474 \cdot 10^{-6}</math></td> <td>0,604</td> <td>0,286</td> <td>Vyhovuje</td> </tr> <tr> <td colspan="5">Maximální povolená šířka <math>w_{max}</math></td> <td></td> <td></td> <td>0,300</td> <td></td> </tr> </tbody> </table> <p><b>Mezní stav použitelnosti VYHOVUJE</b></p>								č.	Název	$N_{Ed}$ $N_{Rd}$ [kN]	$M_{Edy}$ $M_{Rdy}$ [kNm]	$M_{Edz}$ $M_{Rdz}$ [kNm]	$V_{Edz}$ $V_{Rdz}$ [kN]	$V_{Edy}$ $V_{Rdy}$ [kN]	Posouzení	1	msu01	61,00 439,13	7,80 40,31	4,50 23,25	8,20 609,94	0,00 0,00	Vyhovuje	č.	Název	$N_{Ed}$ [kN]	$M_{Edy}$ [kNm]	$M_{Edz}$ [kNm]	$\sigma_c$ [MPa]	$\sigma_{s,max}$ [MPa]	$\sigma_{s,min}$ [MPa]	Posouzení	1	Zat. případ 2	67,60	7,10	4,90	3,63	166,17	-22,12	Vyhovuje	Limitní hodnoty $k_1 \times f_{ck} / k_3 \times f_{yk}$					18,00	400,00			č.	Název	$N_{Ed}$ [kN]	$M_{Edy}$ [kNm]	$M_{Edz}$ [kNm]	$\Delta \epsilon$ [-]	$s_{r,max}$ [m]	$w$ [mm]	Posouzení	1	Zat. případ 3	67,60	7,00	4,90	$474 \cdot 10^{-6}$	0,604	0,286	Vyhovuje	Maximální povolená šířka $w_{max}$							0,300	
č.	Název	$N_{Ed}$ $N_{Rd}$ [kN]	$M_{Edy}$ $M_{Rdy}$ [kNm]	$M_{Edz}$ $M_{Rdz}$ [kNm]	$V_{Edz}$ $V_{Rdz}$ [kN]	$V_{Edy}$ $V_{Rdy}$ [kN]	Posouzení																																																																						
1	msu01	61,00 439,13	7,80 40,31	4,50 23,25	8,20 609,94	0,00 0,00	Vyhovuje																																																																						
č.	Název	$N_{Ed}$ [kN]	$M_{Edy}$ [kNm]	$M_{Edz}$ [kNm]	$\sigma_c$ [MPa]	$\sigma_{s,max}$ [MPa]	$\sigma_{s,min}$ [MPa]	Posouzení																																																																					
1	Zat. případ 2	67,60	7,10	4,90	3,63	166,17	-22,12	Vyhovuje																																																																					
Limitní hodnoty $k_1 \times f_{ck} / k_3 \times f_{yk}$					18,00	400,00																																																																							
č.	Název	$N_{Ed}$ [kN]	$M_{Edy}$ [kNm]	$M_{Edz}$ [kNm]	$\Delta \epsilon$ [-]	$s_{r,max}$ [m]	$w$ [mm]	Posouzení																																																																					
1	Zat. případ 3	67,60	7,00	4,90	$474 \cdot 10^{-6}$	0,604	0,286	Vyhovuje																																																																					
Maximální povolená šířka $w_{max}$							0,300																																																																						
<b>VYHOVUJE</b>																																																																													
2																																																																													



### vonkajšia stena žľabu



Typ prvku: nosník  
 Prostředí: XC3, XD1, XF2  
**Beton: C 30/37**  
 $f_{ck} = 30,0 \text{ MPa}$ ;  $f_{ctm} = 2,9 \text{ MPa}$ ;  $E_{cm} = 33000 \text{ MPa}$   
**Ocel podélná: B500B** ( $f_{yk} = 500,0 \text{ MPa}$ ;  $E_s = 200000 \text{ MPa}$ )  
**Ocel příčná: B500** ( $f_{yk} = 500,0 \text{ MPa}$ ;  $E_s = 200000 \text{ MPa}$ )  
**Vzpěr**  
 Vzpěr není uvažován.  
 S tlačnou výztuží je počítáno.  
**Spony, vnitřní třmínky svislé**  
 Profil: 10 mm; Vzdálenost: 150,0 mm; Střihy: 6

### Posouzení min. a max. stupně výztužení

Nosník (tažená výztuž - minimum, celková výztuž - maximum):

$\rho_{s,t} = 0,00291 \geq \rho_{s,min} = 0,00151 \Rightarrow$  **Vyhovuje**

$\rho_s = 0,00377 \leq \rho_{s,max} = 0,04 \Rightarrow$  **Vyhovuje**

### Stupeň výztužení smykovou výztuží

$\rho_{w,min} = 0,000876 \leq \rho_w = 0,00314 \Rightarrow$  **Vyhovuje**

Maximální vzdálenost třmínků  $s_{t,max} = 150,0 \text{ mm} \Rightarrow$  **Vyhovuje**

Maximální vzdálenost větví třmínků  $s_{t,max} = 150,0 \text{ mm}$

### Posouzení mezního stavu únosnosti

č.	Název	$N_{Ed}$ $N_{Rd}$ [kN]	$M_{Edy}$ $M_{Rdy}$ [kNm]	$M_{Edz}$ $M_{Rdz}$ [kNm]	$V_{Edz}$ $V_{Rdz}$ [kN]	$V_{Edy}$ $V_{Rdy}$ [kN]	Posouzení
1	msu01	5,00 439,13	6,50 46,28	1,10 7,83	8,40 605,08	0,00 0,00	Vyhovuje

Mezní stav únosnosti **VYHOVUJE**

### Posouzení mezního stavu použitelnosti

Mezní stav omezení napětí

č.	Název	$N_{Ed}$ [kN]	$M_{Edy}$ [kNm]	$M_{Edz}$ [kNm]	$\sigma_c$ [MPa]	$\sigma_{s,max}$ [MPa]	$\sigma_{s,min}$ [MPa]	Posouzení
1	Zat. případ 2	7,60	6,70	1,30	2,61	83,72	-8,58	Vyhovuje
Limitní hodnoty $k_1 \times f_{ck} / k_3 \times f_{yk}$					18,00	400,00		

Mezní stav omezení šířky trhlin

č.	Název	$N_{Ed}$ [kN]	$M_{Edy}$ [kNm]	$M_{Edz}$ [kNm]	$\Delta \epsilon$ [-]	$s_{r,max}$ [mm]	$w$ [mm]	Posouzení
1	Zat. případ 3	7,60	6,70	1,30	$248 \cdot 10^{-6}$	0,604	0,150	Vyhovuje
Maximální povolená šířka $w_{max}$							0,300	

Mezní stav použitelnosti **VYHOVUJE**

**VYHOVUJE**

3



## 18. STANOVENIE POSUNOV MOSTNÝCH LOŽÍSK

Betón			
tr.	C 45/55		
f <sub>ck</sub> =	45	MPa	Char. valcová pevnosť bet. v tlaku
f <sub>ck,cube</sub> =	55	MPa	Char. kocková pevnosť bet. v tlaku
f <sub>cm</sub> =	53	MPa	Stredná hod. valcovej pev. bet. v tlaku
f <sub>cm0</sub> =	10	MPa	Stredná hodnota pevnosti betónu
E <sub>cm</sub> =	36	Gpa	Sečnicový modul pružnosti

Prierez			
A <sub>c</sub> =	0,48	23,584	Plocha prierezu
u=	2,6	m	Obvod prvku v kontakte s atmosférou
RH0=	100	%	Relatívna vlhkosť 100%
RH=	80	%	80% mostly
t=	36500	dni	Vek bet. v uvažovanom čase
t <sub>0</sub> =	7	dni	Vek bet. pri zaťažení
t <sub>s</sub> =	7	dni	Vek bet. na začiatku zmrašťovania
σ <sub>c</sub> =	7,2	MPa	konšt. tlakové napätie od veku t <sub>0</sub>

Výpočet pomerného pretvorenia od dotvarovania betónu			
h <sub>0</sub> =	369,23		Náhradný rozmer prvku
k <sub>n</sub> =	0,733		Koeficient náhradnej výšky
α <sub>1</sub> =	0,748		Súč. Na uváženie vplyvu pevnosti betónu
α <sub>2</sub> =	0,920		
α <sub>3</sub> =	0,813		
φ <sub>RH</sub> =	1,112		Vplyv relatívnej vlhkosti
β <sub>(f<sub>cm</sub>)</sub> =	2,308		Vplyv pevnosti betónu na dotvarovanie
β <sub>(t<sub>0</sub>)</sub> =	0,635		Vplyv veku zaťaženia na dotvarovanie
φ <sub>0</sub> =	1,629		Základný súčiniteľ dotvarovania
β <sub>H</sub> =	1022,632		Vplyv nahradneho rozmeru a vlhkosti
β <sub>c(t-t<sub>0</sub>)</sub> =	0,992		Rozvoj dotvar. v čase od zaťaženia
φ(t-t <sub>0</sub> )=	1,615		Súčiniteľ dotvarovania
E <sub>c</sub> =	37800	MPa	Dotyčnicový modul pružnosti betónu
ε <sub>cc(t, t<sub>0</sub>)</sub> =	3,077E-04		Pretvorenie bet. od dotvar. v čase t=100 rokov

Výpočet pomerného pretvorenia zo zmršťovania z vysychania			
β <sub>ds(t,t<sub>s</sub>)</sub> =	0,992		
k <sub>n</sub> =	0,733		
α <sub>ds1</sub> =	6		
α <sub>ds2</sub> =	0,11		cement tr. R
β <sub>RH</sub> =	0,756		
ε <sub>cd0</sub> =	3,16E-04		Pomerné pretvorenie zo zmršťovania
ε <sub>cd(t)</sub> =	2,30E-04		Základné pomerné pretvorenie zo zmršťovania

Výpočet pomerného pretvorenia z autogénneho zmršťovania			
β <sub>as(t)</sub> =	1		
ε <sub>can</sub> =	8,75E-05		
ε <sub>can(t)</sub> =	8,75E-05		Pomerné pretvorenie zo zmršťovania
Celkové pomerné pretvorenie od zmršťovania			
ε <sub>cs(t)</sub> =	3,17E-04		

Vplyv rovnomernej teploty na pohyby nosnej konštrukcie			
T <sub>max</sub> =	41	°C	Max. teplota vzduchu-mapa NB
T <sub>min</sub> =	-28	°C	Min. teplota vzduchu-mapa NB
Typ 3			Typ nonsej konštrukcie
T <sub>e,max</sub> =	43	°C	Max. hodnota rovnomernej zložky
T <sub>e,min</sub> =	-20	°C	Min. hodnota rovnomernej zložky
T <sub>0</sub> =	10	°C	Začiatočná teplota mosta
ΔT=	10°C	°C	Prírastok teploty podľa STN EN 1991-1-5
ΔT <sub>Nexp</sub> =	43	°C	Maximálny rozsah
ΔT <sub>Ncon</sub> =	40	°C	Minimálny rozsah
αT=	0,000010	1/K	

Posuny v ložiskách			
L <sub>dil</sub> =	19	m	Dĺžka úseku NK pre ktorú sa počíta posun
ΔL <sub>TNexp</sub> =	8,2	mm	Posun od rovnomernej zložky teploty
ΔL <sub>TNcon</sub> =	-7,6	mm	Posun od rovnomernej zložky teploty
ΔL <sub>cc</sub> =	-5,8	mm	Posun od vplyvu dotvarovania
ΔL <sub>cs</sub> =	-6,0	mm	Posun od vplyvu zmršťovania

Súhrn posunov v ložisku			
L <sub>dil</sub> =	19,0	m	
Teplota ΔL <sub>TNexp</sub> =	8,2	mm	
Teplota ΔL <sub>TNcon</sub> =	-7,6	mm	
Dotvarovanie ΔL <sub>cc</sub> =	-5,8	mm	
Zmršťovanie ΔL <sub>cs</sub> =	-6,0	mm	
Posun (+η L)	8,2	mm	
spolu (-η L)	-19,5	mm	
Celkový posun	27,6	mm	

## 19. STANOVENIE POSUNOV MOSTNÝCH ZÁVEROV

Betón			
tr.	C 45/55		
$f_{ck}$ =	45	MPa	Char. valcová pevnosť bet. v tlaku
$f_{ck,cube}$ =	55	MPa	Char. kocková pevnosť bet. v tlaku
$f_{cm}$ =	53	MPa	Stredná hod. valcovej pev. bet. v tlaku
$f_{cmo}$ =	10	MPa	Stredná hodnota pevnosti betónu
$E_{cm}$ =	36	Gpa	Sečnicový modul pružnosti

Prierez			
$A_c$ =	0,48	23,584	Plocha prierezu
$u$ =	2,6	m	Obvod prvku v kontakte s atmosférou
$RH_0$ =	100	%	Relatívna vlhkosť 100%
$RH$ =	80	%	80% mosty
$t$ =	36500	dni	Vek bet. v uvažovanom čase
$t_0$ =	7	dni	Vek bet. pri zaťažení
$t_s$ =	7	dni	Vek bet. na začiatku zmršťovania
$\sigma_c$ =	7,2	MPa	konšt. tlakové napätie od veku $t_0$

Výpočet pomerného pretvorenia od dotvarovania betónu			
$h_0$ =	369,23		Náhradný rozmer prvku
$k_h$ =	0,733		Koeficient náhradnej výšky
$\alpha_1$ =	0,748		Súč. Na uvaženie vplyvu pevnosti betónu
$\alpha_2$ =	0,920		
$\alpha_3$ =	0,813		
$\varphi_{RH}$ =	1,112		Vplyv relatívnej vlhkosti
$\beta(f_{cm})$ =	2,308		Vplyv pevnosti betónu na dotvarovanie
$\beta(t_0)$ =	0,635		Vplyv veku zaťaženia na dotvarovanie
$\varphi_0$ =	1,629		Základný súčiniteľ dotvarovania
$\beta_H$ =	1022,632		Vplyv náhradného rozmeru a vlhkosti
$\beta_c(t-t_0)$ =	0,992		Rozvoj dotvar. v čase od zaťaženia
$\varphi(t-t_0)$ =	1,615		Súčiniteľ dotvarovania
$E_c$ =	37800	MPa	Dotčnicový modul pružnosti betónu
$\varepsilon_{cc}(t, t_0)$ =	3,077E-04		Pretvorenie bet. od dotvar. v čase $t-t_0$ rokov

Výpočet pomerného pretvorenia zo zmršťovania z vysychania			
$\beta_{ds}(t, t_s)$ =	0,992		
$k_n$ =	0,733		
$\alpha_{ds1}$ =	6		
$\alpha_{ds2}$ =	0,11		cement tr. R
$\beta_{RH}$ =	0,756		
$\varepsilon_{cd0}$ =	3,16E-04		Pomerné pretvorenie zo zmršťovania
$\varepsilon_{cd}(t)$ =	2,30E-04		Základné pomerné pretvorenie zo zmršťovania

Výpočet pomerného pretvorenia z autogénneho zmršťovania			
$\beta_{as}(t)$ =	1		
$\varepsilon_{can}$ =	8,75E-05		
$\varepsilon_{can}(t)$ =	8,75E-05		Pomerné pretvorenie zo zmršťovania
Celkové pomerné pretvorenie od zmršťovania			
$\varepsilon_{cs}(t)$ =	3,17E-04		

Vplyv rovnomernej teploty na pohyby nosnej konštrukcie			
$T_{max}$ =	41	°C	Max. teplota vzduchu-mapa NB
$T_{min}$ =	-28	°C	Min. teplota vzduchu-mapa NB
Typ 3			Typ nosnej konštrukcie
$T_{e,max}$ =	43	°C	Max. hodnota rovnomernej zložky
$T_{e,min}$ =	-20	°C	Min. hodnota rovnomernej zložky
$T_0$ =	10	°C	Začiatková teplota mosta
$\Delta T$ =	10°C	°C	Prírastok teploty podľa STN EN 1991-1-5
$\Delta T_{Nexp}$ =	43	°C	Maximálny rozsah
$\Delta T_{Ncon}$ =	40	°C	Minimálny rozsah
$\alpha_T$ =	0,000010	1/K	

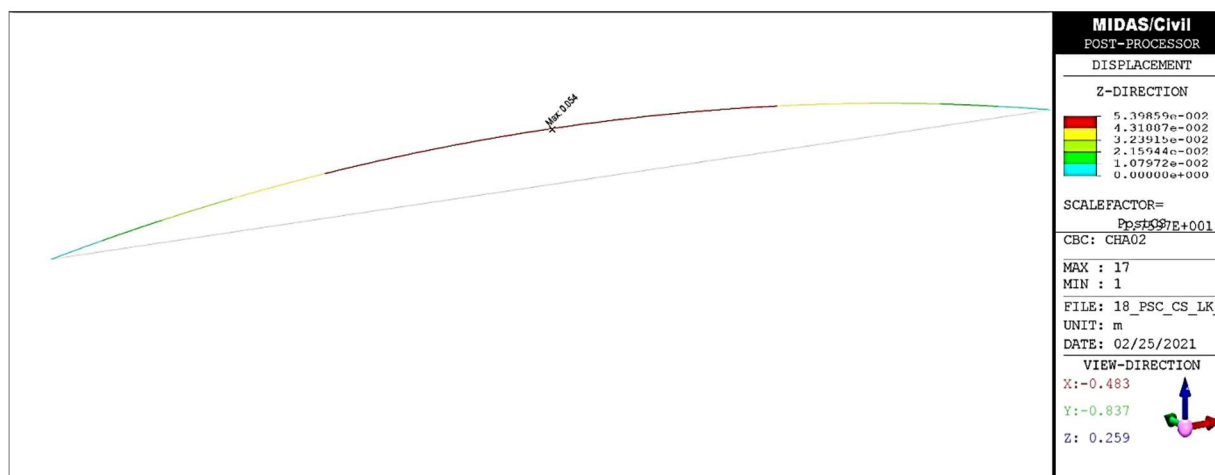
Mostný záver			
$L_{dil}$ =	19	m	Dilatačný úsek k opore s MZ
$L_1$ =	19	m	Rozpätie príslušného poľa
$H_{NK}$ =	1,1	m	Výška nosnej konštrukcie
$h_v$ =	0,09	m	Hrúbka vozovky
$l_k$ =	0,5	m	Dĺžka NK prečnievajúcej za krajné ložisko
$w_1$ =	0,038	m	Max. prieťah (odhad)
$tg\xi$ =	0,008		Pootočenie ohybovej čiary
$\Delta L_{wv}$ =	-9,5	mm	Vodorovný posun čela od prieťahu
$\Delta L_{wz}$ =	4	mm	Zvislý posun čela NK od prieťahu

Súhrn posunov mostného záveru			
$\Delta L_p$ =	8,2	mm	Predĺženie nosnej konštrukcie spolu
$\Delta L_s$ =	-29,0	mm	Skrátenie nosnej konštrukcie
$\Delta L_{c,zakl}$ =	37,2	mm	Charakteristický dilatačný pohyb
$\Delta L_c$ =	48	mm	Celkový dilatačný pohyb (zväčšený o 30%)

80			
$f_{min}$ =	150	mm	Minimálna šírka škáry
$f_{max}$ =	230	mm	Maximálna šírka škáry
$f_c$ =	80	mm	VYHOVUJE
Posúdenie mostného záveru pri - základná teplota $T_0=10^\circ\text{C}$			
$f_{c10}$ =	174	mm	
$f_{c10,min}$ =	166	mm	VYHOVUJE
$f_{c10,max}$ =	203	mm	VYHOVUJE

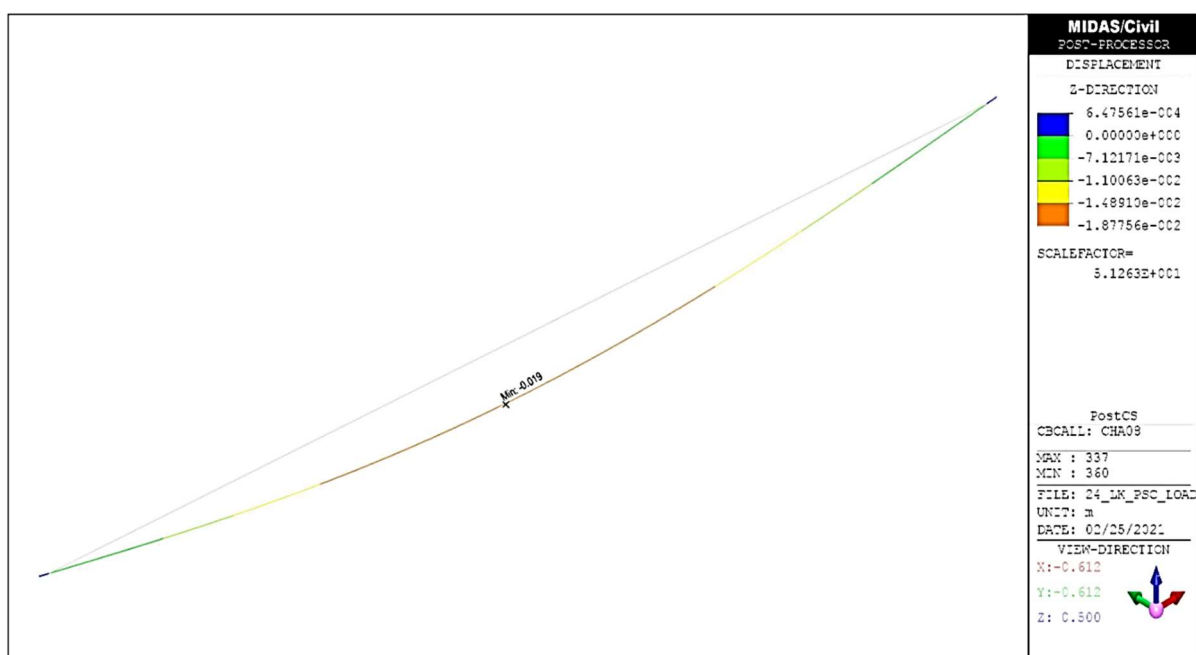
Prednastavenie šírky dilatačnej škáry pri zmene teploty o $5^\circ\text{C}$	
Teplota (°C)	Šírka škáry (mm)
5	175
10	174
15	173
20	172
25	171
30	170
35	169
40	168

## 20. NADVÝŠENIE NOSNÍKOV



Obr. 42 Nadvýšenie nosníkov v čase na skládke je max 54mm

Nadvýšenie nosníkov je nutné pocely čas na skládke monitorovať!



Obr. 43 Charakteristická deformácia pri 75% účinku dopravy LM1 je 19mm

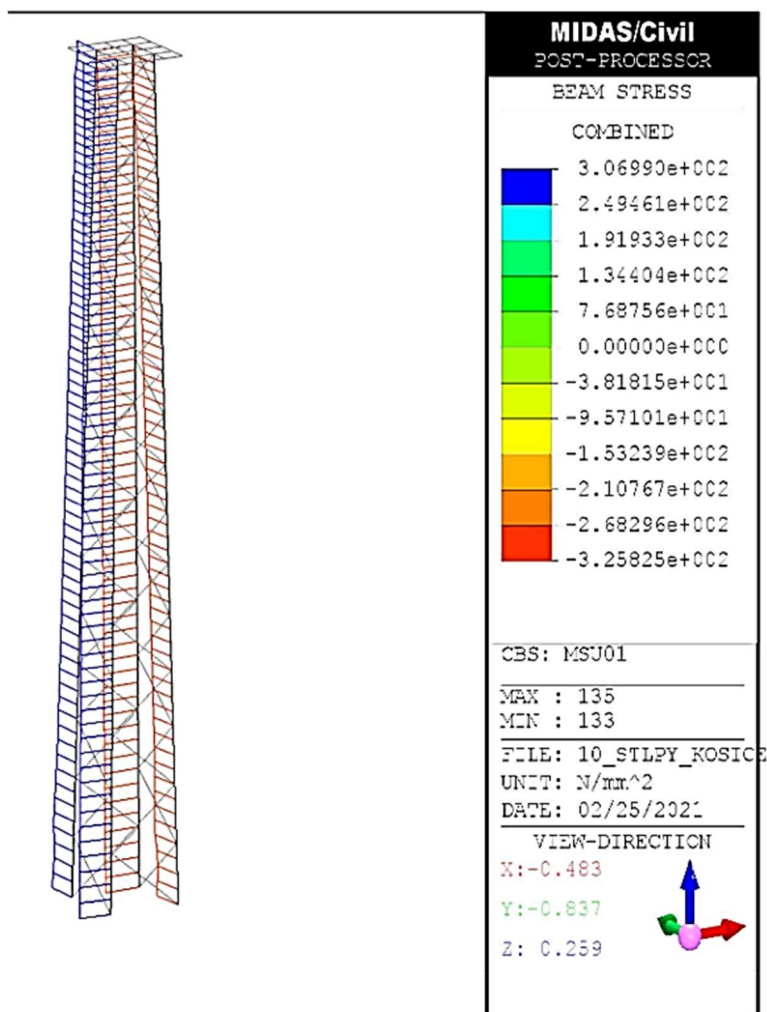
Pre potrebu stanovenia nadvýšenia sa vychádzalo z charakteristickej kombinácie zaťažení spolu so 75% účinkami LM 1. Pri výstavbe je nutné zohľadniť aj dlhodobý priebeh 19 mm.

## 21. POSÚDENIE ODVODNENIA MOSTA

Návrh žľabu		
s =	0,006	Pozdĺžny sklon
n =	0,015	Súčiniteľ drsnosti
Posúdenie podľa TP 11/2012, čl. 6.2.2		
<b>Predpokladá sa využitie 2/3 výšky vnútorného priemeru</b>		
A <sub>w,max</sub> =	0,04 m <sup>2</sup>	Max. účinná plocha žľabu
O <sub>w,max</sub> =	0,60 m	Max. účinný omočený obvod
R <sub>w,max</sub> =	0,067 m	Max. hydraulický polomer žľabu
C <sub>w,max</sub> =	42,452	Max. rýchlostný súčiniteľ žľabu
V <sub>w,max</sub> =	0,849 m/s	Max. rýchlosť na vtok žľabu
Q <sub>w,max</sub> =	33,96 l/s	Žlabom je možné prepraviť
Q <sub>w,prior</sub> =	0 l/s	Voda pritekajúca z predchádzajúcej plochy
l <sub>odv</sub> =	20 m	Dĺžka odvodňovanej plochy
š <sub>odv</sub> =	8 m	Šírka odvodňovacej plochy
A <sub>odv</sub> =	160 m <sup>2</sup>	Odvodňovaná plocha napr. mosta
i <sub>max</sub> =	0,02 l/(s.m <sup>2</sup> )	Maximálna intenzita dažďa
ø =	0,9	Súčiniteľ odtoku
Q <sub>odv</sub> =	2,88 l/s	Množstvo odvádzanej vody
S <sub>bez</sub> =	11,79	≥ 2 Posúdenie žľabu
Navrhované potrubie vyhovuje		

## 22. POSÚDENIE STĹPOV VEREJNÉHO OSVETLENIA

V modely boli zohľadnené aj korozívne úbytky na pôvodnej nosnej oceľovej konštrukcii.



$$\sigma_{Ed,global} \leq \sigma_{Rd}$$

$$328 \text{ MPa} \geq 235 \text{ MPa}$$

**NEVYHOVUJE!**

**Nové zaťaženie stĺpov verného osvetlenia vyvolá nadmerné zaťaženie pôvodnej nosnej konštrukcie, ktorú je potrebné rekonštruovať. Z tohto dôvodu sa celá pôvodná konštrukcia odstráni!**

## 23. PREHLAD ZAŤAŽITEĽNOSTI

Pre stanovenie zaťažiteľnosti posudzovaného mosta je rozhodujúca ohybová odolnosť prierezu. Zaťažiteľnosť celého mosta je vyhotovená v zmysle platných TP.

Zaťažiteľnosť mosta stanovuje najmenej vyhovujúci prvok.

Zaťažiteľnosť	Označenie	Hodnota
Faktor normálnej zaťažiteľnosti	Fz	1,16
<b>Normálna zaťažiteľnosť (t)</b>	Vn	<b>37</b>
<b>Výhradná zaťažiteľnosť (t)</b>	Vr	<b>133</b>
<b>Výnimočná zaťažiteľnosť (t)</b>	Ve	<b>429</b>

## 24. ZÁVER

Pre stanovenie zaťažiteľnosti posudzovaného mosta je rozhodujúca ohybová ako aj šmyková odolnosť prierezu. Zaťažiteľnosť celého mosta je vyhotovená v zmysle platných TP.

Statický výpočet svojím rozsahom a podrobnosťou zodpovedá danému stupňu projektovej dokumentácie – dokumentácia na stavebné povolenie (DSP) v podrobnosti dokumentácie na realizáciu stavby (DRS). Statický výpočet je vypracovaný v zmysle platných noriem a predpisov.

V Košiciach 11/2020

Ing. Ľubomír Kožlej